HAPOHOB AKAHEMUH HAYK Yacce

AND TEMPHATECHER AND THAT INTY UM.C.B. CTAPOHYEHEBA

AND

На правах рукописи

УДК 539.121.7

ХАРАКТЕРИСТИКИ СИЛЬНОИОНИЗУЮЩИХ ЧАСТИЦ И КОРРЕЛЯЦИОННЫЕ ЭФФЕКТЫ В АДРОН-ЯДЕРНЫХ СОУДАРЕНИЯХ В ЭМУЛЬСИИ В ИНТЕРВАЛЕ (20 - 400) ГЭВ

(01.04.16 - физика атомного ядра и элементарных частиц)

Диссертация на сойскание ученой степени физико-математических наук

> Научные руководители: Академик АН УЗССР С.А.АЗИМОВ Доктор физико-математических наук К.Г.ГУЛАМОВ

СОДЕРЖАНИЕ

BBSM	ЕНИЕ	4 стр.
	в І. ОСНОВНЫЕ ЭКСПЕРИМЕНТАЛЬНЫЕ И ТЕОРЕТИЧЕСКИЕ СВЕДЕ-	
	ния ов адрон-ядерных соударениях при высоких	
	HENRY OF THE STATE	7
T		
I.I.	Экспериментальные данные Множественности релятивистских частиц	7
I.2.	Угловые распределения ливневых частиц	TO
I.3.	Двухчастичные корреляции между ливневыми частицами	10
I.4.	0 составе вторичных медленных частиц	14
I.5.	Распределение по множественности сильноионизующих	97
	частиц	I5
I.6.	Энергия возбуждения ядра-мишени и одночастичные	
	распределения медленных частиц	
	Корреляции множественностей	17
1.0.	Зависимость угловых распределений релятивистских	W.
TQ	частиц от множественности медленных частиц	
	Угловые корреляции между разными типами частиц Теоретические подходы к высокоэнергичным	19
~.	взаимодействиям	22
2.I.	Коллективные модели и трудности при объяснении	~~
	экспериментальных данных	23
2.2.	Модели многократного перерассеяния и степень их	
	соответствия экспериментальным результатам	26
Глава	а 2. ЭКСПЕРИМЕНТАЛЬНЫЙ МАТЕРИАЛ И СВЕДЕНИЯ ОБ ИСПОЛЬ-	
	ЗУЕМЫХ ПАРАМЕТРИЗАЦИЯХ ДАННЫХ	30
T.	Условия эксперимента, просмотр и отбор событий	30
	0 количественном разделении заряженных частиц по ти-	00
	пам S, g, b, h и методика угловых измерений	32
3.	0 параметрах моделей многократного рассеяния на ядрах	
Глава	а 3. МНОЖЕСТВЕННОСТИ И УГЛОВЫЕ РАСПРЕДЕЛЕНИЯ СИЛЬНО-	
	ионизующих частиц	39
I.	Множественности	
	Средние множественности g, b и h -частиц	
I.2.	Распределения по множественности	43

I.3. Множественность g -частиц в передней и задней	
полусферах	44
2. Угловые распределения сильноионизующих частиц	48
2.1. Инклюзивные распределения	48
 Полуинклюзивные распределения Множественности и угловые распределения в hAсоуда- 	50
рениях с вылетом адронов в заднюю полусферу	52
3.1. О вкладе событий с вылетом и без вылета адронов	00.
"назад"	54
3.2. Множественности S - и g -частиц в событиях с выле-	oide
том адронов "назад"	54
3.3. Угловые распределения в событиях с вылетом адронов	
"назад"	
4. Обсуждение экспериментальных данных	62
Глава 4. ФЛУКТУАЦИИ МНОЖЕСТВЕННОСТЕЙ СИЛЬНОИОНИЗУЮЩИХ И	
РЕЛЯТИВИСТСКИХ ЧАСТИЦ В ПЕРЕДНЕЙ И ЗАДНЕЙ ПОЛУ-	
СФЕРАХ	72
I. О методе изучения длиннодействующих корреляций	
2. Корреляции "вперед-назад" для сильноионизующих частиц	
3.1. Распределения по множественности в передней и	
задней полусферах	80
3.2. Корреляции множественностей в передней и задней	
полусферах	
3.3. Обсуждение экспериментальных результатов	90
Глава 5. КОРРЕЛЯЦИОННЫЕ ЯВЛЕНИЯ МЕЖДУ РАЗЛИЧНЫМИ ТИПАМИ	
заряженных частиц hA взаимодействия	95
I. Используемые характеристики и их общие свойства	95
2. Ассоциированные множественности в h A соударениях	
3. Корреляции между полярными углами вылета частиц	
4. Азимутальные корреляции	107
5. Обсуждение результатов по угловым корреляциям	II2
ЗАКЛЮЧЕНИЕ	II7
литература	120

SECTION SECTION IN THE DESIGNATION OF THE PARTY OF THE PA

введение.

Интенсивное исследование адрон-адронных hh реакций при высоких энергиях в последние десять лет привело к накоплению большого количества данных о множественном рождении частиц. Однако, из-за отсутствия адекватной теории сильных взаимодействий представление о них ограничивалось феноменологическими модельными рассмотрениями. Несомненно, некоторые из этих модельных подходов сыграли большую роль в теоретическом осмыслении динамики взаимодействий в рамках недавно появившейся квантовой хромодинамики (КХД) и особенно в пока ещё немногочисленных попытках её распространения на область процессов с небольшими поперечными импульсами.

Одним из важных методов изучения элементарных процессов представляются широко исследуемые адрон-ядерные hA взаимодействия. Оптимизм в данном подходе был вызван следующими причинами: І) благодаря большим размерам ядерная мишень обеспечивает достаточную протяженность для пространственно-временного развития адронного вещества и, следовательно, может быть использована в качестве "инструмента" для уточнения всевозможных концепций элементарного акта; 2) изучение вопроса о влиянии на множественное рождение окружающей ядерной материи также порождало надежды выделить информацию о "фундаментальных" взаимодействиях частиц за очень короткое время после их формирования. По-видимому, одним из решающих доводов в пользу исследований hA взаимодействий оказался экспериментальный факт отсутствия (или сильной подавленности) каскадного размножения быстрых частиц и так называемая "прозрачность" ядерного вещества, которые доказывают, что эффекты, обусловленные неравенством нулю длин (и времен) формирования адронов конечного состояния, играют существенную роль в процессах множественного образования частиц при высоких энергиях.

Однако, интерес к исследованию hA взаимодействий последнего времени был необоснованно односторонним: главным образом занимались характеристиками вновь рожденных частиц, за исключением данных о кумулятивном рождении на ядрах, полученных, к сожалению, в области не очень высоких энергий (≤ 10 ГэВ). Сведения о свойствах медленных продуктов фрагментации ядра встречаются значительно реже и посвящены, в основном, их множественности. Но, поскольку эти процессы тесно связаны между собой и генетически взаимообусловленны, то, к примеру, продукты фрагментации ядра должны как-то отражать в своих характеристиках механизмы рождения новых частиц и "запоминать" историю развития реакции. Наиболее подходящим математическим аппаратом, адекватно отображающим суть этой взаимозависимости, оказался метод корреляционных исследований. Можно надеяться, что такое корреляционное исследование адрон-ядерных взаимодействий высоких энергий с использованием всей доступной информации о характеристиках частиц, образованных в различных кинематических областях соударения, окажется более чувствительным к модельным представлениям о механизме взаимодействия, чем анализ одних лишь характеристик рожденных частиц.

С другой стороны, исследование медленных вторичных частиц - продуктов фрагментации ядра в hA соударениях большой энергии (десятки и сотни ГэВ) имеет и самостоятельный интерес; речь идет не только о недостатке данных такого сорта, о чем говорилось выше, но и о поиске различных коллективных эффектов, типа, например, ядерных ударных волн, исследовании механизмов образования энергичных протонов и т.д.

По нашему мнению, довольно удобный и экономный путь проведения таких исследований заключается в изучении hA взаимодействий с использованием методики ядерных фотоэмульсий, к несомненным достоинствам которой относится и то, что она, наряду с очень быстрыми релятивистскими частицами, позволяет одинаково успешно в условиях 4П геометрии регистрировать и очень малоэнергичные продукты фрагментации ядер. Заметим также, что данная методика позволяет исследовать взаимодействия адронов с разными ядрами, достаточно удаленными по массовому числу и производить простран ственные измерения с очень высокой точностью.

Цель настоящей диссертационной работы состоит в следующем:

- I) получение новых и статистически обеспеченных экспериментальных данных о характеристиках (множественности, угловые распределения, корреляции) медленных частиц продуктов фрагментации ядер эмульсии в hA взаимодействиях в широком интервале первичных энергий (20-400 Гэв);
- 2) экспериментальное исследование в hA взаимодействиях высоких энергий корреляционных эффектов между частицами, образованными в различных кинематических областях соударения;
- 3) количественное сопоставление экспериментальных данных с предсказаниями современных моделей hA взаимодействий.

Работа, являющаяся в настоящее время самой представительной по объёму единообразно накопленного экспериментального материала с измерениями сильноионизующих частиц, выполнена в лаборатории высоких энергий Физико-технического института АН Узбекской ССР с 1976 г. по 1982 г.

ГЛАВАІ.

ОСНОВНЫЕ ЭКСПЕРИМЕНТАЛЬНЫЕ И ТЕОРЕТИЧЕСКИЕ СВЕДЕНИЯ ОБ АДРОН-ЯДЕРНЫХ СОУДАРЕНИЯХ ПРИ ВЫСОКИХ ЭНЕРГИЯХ.

Желание представить современную экспериментальную ситуацию в области hA взаимодействий непременно наталкивается на
практически непреодолимое препятствие – объять в разумно ограниченных пределах несоразмерно большой объём информации. Компромисс в этой ситуации состоит в отборе лишь тех экспериментальных результатов, которые представляют наибольшую значимость
и с которыми предполагается производить сравнение. Следуя этому
правилу, мы, в известной мере за счёт полноты описания, попытаемся изложить в этой главе данные по релятивистским и сильноионизующим частицам, а также дать некоторые современные модельные представления об hA взаимодействиях. Более подробная информация о затронутых в данной главе результатах может быть
получена из обзоров [I-II].

І. Экспериментальные данные.

В большей части исследований множественного рождения частиц на ядре экспериментальные данные обнаруживают неясность в вопросе о возможном "загрязнении" ливневых частиц протонами и сильноионизующих частиц медленными пионами. Поэтому предварим изложение сведений о различных характеристиках вторичных частиц сообщением результатов ряда работ по изучению их состава. Уже первые данные об hA взаимодействиях большой множественности [12-15] показали, что релятивистские $(cP \ge I \ PaB/c)$ протоны могут давать значительный вклад в множественность заряженных частиц. Хотя в настоящее время данные о характеристиках таких протонов крайне скудны для окончательных выводов,

результаты выполненных экспериментов [12-21] могут быть сумми-рованы следующим образом.

Вне зависимости от типа налетающего адрона в конечном состоянии hA соударения наблюдается избыток быстрых положительных частиц, обусловленный релятивистскими протонами из ядра мишени. Множественность таких протонов зависит от типа снаряда и возрастает с ростом массового числа ядра-мишени; при параметризации $\langle n_p \rangle \sim A^d$ величина $d \simeq 0.2 \div 0.3$, что значительно (приблизительно вдвое) меньше, чем соответствующая величина для множественности $d = 0.2 \div 0.3$ что отношение множественностей релятивистских протонов в $d = 0.2 \div 0.3$ что отношение множественностей релятивистских протонов в $d = 0.2 \div 0.3$ что отношение множественностей релятивистских протонов в $d = 0.2 \div 0.3$ что отношение множественностей релятивистских протонов в $d = 0.2 \div 0.3$ что отношение множественностей релятивистских протонов в $d = 0.2 \div 0.3$ что отношение множественностей релятивистских протонов в $d = 0.2 \div 0.3$ что отношение множественностей релятивистских протонов в $d = 0.2 \div 0.3$ что отношение множественностей релятивистских протонов в $d = 0.2 \div 0.3$ что отношение множественностей релятивистских протонов в $d = 0.2 \div 0.3$ что отношение множественностей релятивистских протонов в $d = 0.2 \div 0.3$ что отношение множественностей релятивистских протонов в $d = 0.2 \div 0.3$ что отношение множественностей релятивистских протонов в $d = 0.2 \div 0.3$ что отношение множественностей релятивистских протонов в $d = 0.2 \div 0.3$ что отношение множественностей релятивистских протонов в $d = 0.2 \div 0.3$ что отношение множественностей релятивистских протонов в $d = 0.2 \div 0.3$ что отношение множественностей релятивистских протонов в $d = 0.2 \div 0.3$ что отношение множественностей релятивистских протонов в $d = 0.2 \div 0.3$ что отношение множественностей в $d = 0.2 \div 0.3$ что отношение множественностей в $d = 0.2 \div 0.3$ что отношение $d = 0.2 \div 0.3$

Что касается вклада низкоэнергетических пионов, результаты экспериментов [2, I2-I5, 22] можно суммировать следующим образом:

- I) медленные пионы рождаются в сравнительно многолучевых hA взаимодействиях, для которых множественности $\langle N_s \rangle$, $\langle N_g \rangle$ и $\langle N_h \rangle$ возрастают соответственно на I6, 75 и 28 %;
- 2) вклад низкоэнергетических пионов в множественность медленных частиц сохраняется независимо от первичной энергии на уровне не более 10% от множественности g -частиц;
- 3) налетающий адрон последовательно взаимодействуя внутри ядра, даёт основной вклад в образование низкоэнергетических пионов, тогда как участие каскадирующих нуклонов из ядра в их образовании незначительно.

І.І. Множественности релятивистских частиц.

Напомним основные экспериментальные данные о множественностях релятивистских частиц в hA соударениях:

I) множественность во взаимодействии адрона с ядром (Ns(hA))

The state of the s

является приблизительно линейной функцией множественности в адрон-нуклонном соударении (\(\lambda_s \lambda_N \lambda_s \lambda_n \text{ характеристики степени} \)
мультипликации множественности в \(\lambda_s \lambda_s \lambda_s \text{ соударениях по сравнению с} \)
\(\lambda_N \)
взаимодействиями часто используется так называемая нормированная множественность

$$R = \frac{\langle n_s(hA) \rangle + \delta}{\langle n_s(hN) \rangle + \delta}$$
 (I.1)

где величины ∂_{s} и δ_{s} — небольшие поправки, численные значения которых выбираются разными авторами по разному (см., например [23-25]). В зависимости от выбора ∂_{s} и ∂_{s} нормированная множественность ∂_{s} может либо иметь слабую энергетическую зависимость, либо наблюдается её факторизация $\partial_{s}(hA) = R(hA) \partial_{s}(hN_{s})$, где $\partial_{s}(hA) = R(hA) \partial_{s}(hN_{s})$, где $\partial_{s}(hA) \partial_{s}(hN_{s})$, где $\partial_{s}(hA) \partial_{s}(hN_{s})$, где $\partial_{s}(hA) \partial_{s}(hA)$ недиси в системе центра масс $\partial_{s}(hA) \partial_{s}(hN_{s})$ нения. Коэффициент $\partial_{s}(hA) \partial_{s}(hA)$ является медленно изменяющейся функцией массового числа ядра-мишени; при степенной аппроксимации $\partial_{s}(hA) \partial_{s}(hA) \partial_{s}(hA)$ величина $\partial_{s}(hA) \partial_{s}(hA) \partial_{s}(hA)$ величина $\partial_{s}(hA) \partial_{s}(hA) \partial_{s}(hA)$ неличина $\partial_{s}(hA) \partial_{s}(hA)$ величина $\partial_{s}(hA) \partial_{s}(hA)$ величина $\partial_{s}(hA) \partial_{s}(hA)$ величина $\partial_{s}(hA) \partial_{s}(hA)$ неличина $\partial_{s}(hA) \partial_{s}(hA)$ величина $\partial_{s}(hA) \partial_{s}(hA)$ неличина $\partial_{s}(hA) \partial_{s}(hA)$ величина $\partial_{s}(hA) \partial_{s}(hA)$ ней зависит от области изменения $\partial_{s}(hA) \partial_{s}(hA)$ ней зависит от области изменения $\partial_{s}(hA) \partial_{s}(hA)$ ней зависит от области изменения $\partial_{s}(hA) \partial_{s}(hA)$ ней зависит от области

2) более предпочтительной является параметризация множественности выражением

$$R = (a + b \langle V \rangle), \qquad (1.2)$$

преимуществом которого является приближённое выполнение так называемого "У-скейлинга": величина R определяется только значением <У>, независимо от типа снаряда. В недавней работе [27] была предложена обобщённая формула

$$\langle n_s(hA) \rangle = 1.53 + \langle n_{ch}(hN) \times (0.12 + 0.90 < V) - 2.29 < V \rangle$$
 (1.3)

с хорошей точностью воспроизводящая все экспериментальные данные по РА и ПА соударениям в интервале I-400 ГэВ и 50-200 ГэВ, со-

ответственно;

The state of the s

- 3) изучение в hA взаимодействиях отношения Врублевского DKN>, которое обнаруживает удивительное постоянство (≈0.6) в широком диапазоне первичных энергий для различных снарядов и мещеней [28–30], накладывает существенные ограничения на модельные представления: к примеру, в классе моделей с независими повторными внутриядерными соударениями (о моделях см.ниме) отношение D/⟨N⟩ должно по мере достижения однородности ансамбля по У и уменьшения ⟨У⟩ убывать, а в коллективных моделях (например, модель когерентной трубки) оставаться постоянным [7]. Эксперимент [21] обнаруживает медленный спад D/⟨N⟩с увеличением числа идентифицированных медленных протонов №, которые являются хорошей мерой У. Часто указывается [31] на совпадение в пределах экспериментальных ошибок величины отношения D/⟨N⟩в hA и hN процессах;
- 4) в hA соударениях [27,32-37], так же как и в hN взаимодействиях [38-40] распределения по множественности удовлетворяют КНО скейлингу. Однако, сопоставление данных в hA и hN соударениях обнаруживает наличие расхождения, обусловленного Азависимостью формы КНО функции [41,42]. Это подтверждается и исследованием нормированных моментов распределения по множественности в hA взаимодействиях [20,42].

І.2. Угловые распределения ливневых частиц.

Для исследования угловых распределений ливневых частиц часто используют переменную псевдобыстроты

где Θ - лабораторный угол вылета релятивистской частицы относительно направления пучка. По определению, быстрота

$$y = \frac{1}{2} \ln[(E + P_{\parallel})/(E - P_{\parallel})]$$
 (1.5)

и в случае $E \gg M$ (масса покоя адрона) имеем $y \approx \eta$. Т. к. псевдобыстрота – приблизительно лоренц-инвариантная переменная, для перехода в систему покоя снаряда достаточно использовать преобразование $\gamma \approx \gamma - \ln(s/m)$, где s-k вадрат энергии столкновения в системе центра масс. Можно считать надёжно установленными следующие свойства $\gamma-k$ спектров:

- для 2 -распределений в hA взаимодействиях наблюдается предельное поведение в областях фрагментации снаряда и мишени [27,32-34];
- 2) энергетическая зависимость спектров по псевдобыстроте заключена в так называемой центральной части [43,44];
- 3) интересным представляется возможность приблизительно универсального описания инклюзивного распределения параметризацией вида [45]

 $\frac{1}{N} \frac{dN_s}{dQ} = a(\eta, E) + b(\eta, E) \cdot N_{slow}$, $N_{slow} = N_h \cdot N_b \cdot N_g \cdot (1.6)$ где коэффициенты a и b для выбранного параметра N_{slow} не зависят от массового числа A ядра-мишени, но различаются для различных типов первичных частиц;

- 4) в РА взаимодействиях наблюдаемый в области малых углов избыток положительных частиц в сравнении с отрицательными объясняется испусканием протонов, коллимированных вдоль направления пучка [13–15,21];
- 5) в ПА опытах [46] с измерением инклюзивных и полуинклюзивных χ -спектров, по-видимому, наблюдается бимодальность их формы, хотя в ряде случаев [14,37] она статистически слабо обеспечена;
- 6) часто при изучении одночастичных спектров пользуются нормированными плотностями

$$\Gamma(\mathfrak{P}) = 3^{hA}(\mathfrak{P})/3^{hN}(\mathfrak{P}) \tag{1.7}$$

что позволяет избежать эффектов, связанных с ферми-движением внутриядерных нуклонов и с использованием псевдобыстрот γ вместо истинной быстроты γ в доступной области ускорительных энергий γ ависимость отношения γ уменьшается с увеличением γ равномерно и непрерывно. Есть точка γ в которой γ в которой γ в её положение на шкале быстрот слабо зависит от γ при γ с γ и чем больше γ тем сильнее данное неравенство; при γ с γ напротив, γ в предельного поведения γ при больших псевдобыстротах не наблюдается. Присутствие ядерной мишени приводит к заметному уменьшению числа наиболее быстрых и существенному увеличению числа относительно медленных рожденных частиц;

7) с ростом толщины ядерной материи γ -распределения деформируются таким образом, что центры распределений смещаются к меньшим γ , а ширины (дисперсии) γ -распределений слабо зависят от γ и γ и медленно уменьшаются с γ .

І.З. Двухчастичные корреляции между ливневыми частицами.

Рассмотрим корреляционные характеристики hA соударений (37,48-60):

а) стандартный аппарат корреляционных функций, применяемый к анализу двухчастичных инклюзивных и полуинклюзивных распределений

$$C_{2}(\eta_{1},\eta_{2}) = \frac{1}{G_{in}} \frac{d^{2}G}{d\eta_{1}d\eta_{2}} - \frac{1}{G_{in}^{2}} \cdot \frac{dG}{d\eta_{1}} \cdot \frac{dG}{d\eta_{2}}$$
 (a)

(I.8)

$$R_{2}(\eta_{1},\eta_{2}) = \left(\frac{1}{G_{in}} \cdot \frac{d^{2}G}{d\eta_{1} d\eta_{2}} / \frac{1}{G_{in}^{2}} \cdot \frac{dG}{d\eta_{1}} \cdot \frac{dG}{d\eta_{2}} \right) - 1 \tag{6}$$

где Gin - полное неупругое сечение рождения на ядре. Для правильного учёта псевдокорреляционных эффектов, обусловленных

неоднородностью событий по числу внутриядерных соударений V и тривиальных кинематических корреляций, обычно используют способ оценки величин $C_2(\eta_1,\eta_2)$ и $R_2(\eta_1,\eta_2)$ в простой модели независимых испусканий (IEM); б) коэффициенты азимутальной асимметрии и коллинеарности для E -распределений (E_{ij} = $arccos(\overline{\Gamma_i\Gamma_i}/|\overline{\Gamma_i}\cdot\overline{\Gamma_i}|)$, $\overline{\Gamma}$ - поперечный импульс); в) удельная ассоциативная множественность

$$\delta = (\langle n_2 \rangle_{\epsilon_{12} > \pi/2} - \langle n_2 \rangle_{\epsilon_{12} < \pi/2}) / (\langle n_2 \rangle_{\epsilon_{12} > \pi/2} + \langle n_2 \rangle_{\epsilon_{12} < \pi/2})$$
 (I.9)

частиц-"партнёров" типа 2, сопутствующих вылету инклюзивной ("триггерной") частицы I в дважды инклюзивной реакции

$$a + b - 1 + 2 + x$$
 (1.10)

Физический смысл δ - средняя доля поперечного импульса $\overline{\zeta}$ частицы I, компенсируемая одной частицей-"партнёром".

Основные экспериментальные результаты, полученные из анализа двухчастичных корреляций между рожденными частицами в hA соударениях, следующие:

- I) значения и форма функций (I.8) в hA и hN взаимодействиях при одинаковых E_{o} существенно отличаются. $R_{2}(\eta_{1},\eta_{2})$ слабо зависит от типа первичной частицы и её энергии;
- 2) в hA взаимодействиях существуют корреляции, "короткодействующего" по быстротной шкале характера, несводимые к простейшим псевдо- и кинематическим эффектам и их величина возрастает с Е,;
- 3) в hA взаимодействиях корреляции между пионами существенно зависят от знака заряда пионов (П+П-, П-П-, П+П+, ch ch). Корреляции в системах П+П+ и П-П- в области фрагментации мишени различны;
 - 4) корреляционные функции зависят от массового числа яд-

ра-мишени A; при этом с ростом N_g (или $\langle V \rangle$) $R(N_1,N_2)$ уменьвается. При анализе N_g и/или V -зависимости корреляционных
ункций R_2 в hA взаимодействиях обнаружены компенсационные
эффекты, связанные с наличием двух вкладов в величину $R_2(hA)$,
первый из которых имеет отношение к величине R_2 во внутриядерених hN соударениях, а второй – к дисперсии N_g и/или V -распределения. Наличие таких эффектов предсказывается в моделях
ногократного рассеяния. Показано также в рамках этих моделей,
что ограничения, связанные с сохранением энергии-импульса в
перерассеяниях, существенно сказываются на величине как быстротных, так и азимутальных корреляций [61];

5) азимутальные корреляции в hA соударениях слабее, чем bN при одинаковых E_{o} и множественностях N_{s} и являются, в основном, дальнодействующими.

І.4. О составе вторичных медленных частиц.

Прежде чем изложить закономерности общих характеристик медленных фрагментов расщепляемого ядра, конкретизируем на основании данных ряда работ [13,22,62-69] их природу:

- I) частоты выхода "серых" протонов (Р), дейтонов (d), тритонов (t), ядер гелия (Не) и П-мезонов на звезду в мно-голучевых PAgBr взаимодействиях при энергии столкновения 24 гзВ находятся приблизительно в отношении P:d:t:He:П≈9:3:I:I:I;
- 2) каких-либо существенных изменений в соотношении поперечных сечений выхода P, d, t с ростом энергии налетающего адрона от 20 до 400 ГэВ не наблюдается;
- 3) по данным работы [65] отношения выходов дейтонов к протонам с приблизительно 20% точностью не зависят от углов вылета частиц.

I.5. Распределение по множественности сильноионизующих частиц.

0 распределениях по числу h -, b -, g -частиц в hA взаимодействиях известно следующее:

- 2) N_b -распределения испарительных фрагментов ядра не зависят от природы налетающей частицы ни своей формой, ни средним значением, тогда как N_g -распределения для N_g > I в случае первичного пиона лежат систематически ниже, чем для протонного пучка, а в точках N_g =0, I наблюдается обратная картина;
- 4) компиляция "мировых" данных [7I] о η_h -распределении в виде квадратичной экспоненты в области η_h 8

$$F(>n_h) \sim \exp[-n_h^2/n_o^2]$$
 (1.11)

дает для $E \le 25$ ГэВ знчение $N_o=14.8\pm0.1$, а для $E_o=25\pm200$ ГэВ $N_o=16.1\pm0.3$ [72]. В области $N_h \le 8$ распределение удается описать добавлением экспоненты вида (I.II) с наклоном $N_o=4.6\pm0.2$;

5) средние значения $\langle n_h \rangle$, $\langle n_b \rangle$, $\langle n_g \rangle$ в области энергий налетающей частицы 6-20 ГэВ увеличиваются с ростом E_o . В работах [12,72] наблюдалось слабое падение n_h , n_g в области энергий E_o = 20÷200 ГэВ;

6) аппроксимация зависимости средних множественностей женных частиц $\langle n_g \rangle$, $\langle n_b \rangle$ от массового числа A ядра-мищени женной функцией $\sim A^d$ показывает [21,45,66,73], что для PA. ТА соударений в эмульсии у "серых" частиц d различаются, черных" – совпадают.

I.6. Энергия возбуждения ядра-мишени и одночастичные распределения медленных частиц.

- 1) Средняя энергия ядерного возбуждения пропорциональна враметру $\langle N_h \rangle$: в области $E_o \leq 25$ ГэВ для многолучевых M_gBr оударений справедливо примерное соотношение $E_{603\delta} = 124$ $N_h + 30$ (МэВ). В работах [14,15] при предположении, что кинематические характеристики протонов и нейтронов в области фрагентации ядра являются схожими, была оценена энергия, уносимая унастицами на уровне 10–12% от E_o (≤ 25 ГэВ). Оценки для E_o от E_o (E_o от E_o от
- 2) угловое распределение "серых" треков совпадает [27,65] по виду с зависимостью

$$dN/d\cos\theta_{L} \sim \exp(0.96\cos\theta_{L})$$
 (1.12)

для которой (F/B) = 2.28 $^{\pm}$ 0.3I (здесь (F/B) -асимметрия углового распределения) и остается неизменным в области 2– 10^4 ГэВ [2,74–76]. Средний угод испускания возрастает с A и составляет, к примеру, для мишени AgBr (Θ_g) \simeq 68 градусов. Одно- и многозарядные фрагменты ядра, оставляющие в Em "черные" треки (частицы "испарения"), показывают почти изотропное угловое распределение [77]. В работе [75] асимметрию углового спектра h частиц связывают с движением возбужденного ядра в направлении пучка (экспериментальное значение отношения (F/B) отвечает, по их утверждению, скорости остаточного ядра около 0.015с);

3) установлено [22], что импульсные распределения g-протонов и пионов хорошо воспроизводятся соответственно выражениями

$$N(P)dP \sim \exp(-dP^2)dP$$
 (a)

(I.I3)

$$N(P)dP \sim \exp(-\beta^2(P^2-\langle P_{\overline{n}}\rangle))dP$$
 (6)

где $d = 5.99 \cdot 10^{-6} \text{ (MaB/c)}^{-2}, \beta = 0.037 \text{ (MaB/c)}^{-1}, \langle P_{\pi} \rangle = (98^{\pm}12)$ МаВ/с.

4) дифференциальное энергетическое распределение g-протонов и дейтонов подчиняется закону [65,77]

$$N(E) dE \sim E^{-8} dE$$
 (1.14)

где $\chi_{P,d}$ =1.34 \pm 0.07, 1.36 \pm 0.13 соответственно.

І.7. Корредяции множественностей.

I) В обзоре [5] отмечалось, что в области энергий 20-200 ГэВ монотонные зависимости $\langle n_i(n_i) \rangle$ удовлетворительно аппроксимируются прямыми

 $\langle n_i(n_i) \rangle = a_{ij} n_i + b_{ij}$, $i,j \equiv g,b,h,s$, $a_{ij} > 0$ (1.15) за исключением $\langle n_i(n_g) \rangle$, которые при больших $n_g > 0$ имеют теңденцию к выполаживанию;

- 2) в случае, когда рассматриваются комбинации ij=gb,gh,bh, bg,hg,hb (т.е. составленные из одних медленных частиц), обнаруживается устойчивость их характеристик к изменению энергии столкновения и независимость от природы налетающего снаряда. Характер корреляций вида⟨N;(Ng)⟩ зависит от массового числа ядрамишени: увеличивается с ростом A;
 - 3) корреляции в комбинациях ij = sg , sb, sh существенно

зависят от E_o , что есть прямое следствие энергетической зависимости N_s -распределения (нетрудно догадаться, что $a_s(E_o) > a_s(E_o)$), если $E_o' > E_o''$). При фиксированном значении E_o зависимости $n_s(n_i) > m_i$ "насыщаются" в M_o соударениях раньше, чем в PA;

4) корреляции наблюдаются в hA соударениях и для моментов распределений по множественности более высокого порядка: так, величина $D_s/\langle N_s \rangle$ убывает с ростом N_g , а интегральный корреляционный параметр

$$f_2 = D^2(\eta_g) - \langle \eta_g \rangle \tag{1.16}$$

приблизительно линейно растёт с 1, ..

I.8. Зависимость угловых распределений релятивистских частиц от множественности медленных частиц.

Анализ данных нескольких имеющихся работ [27,37,43,72,78, 79], в которых рассмотрены угловые распределения ливневых частиц в группах hA взаимодействий с фиксированным числом медленных частиц, приводит к следующим выводам:

- наблюдается сильная зависимость от множественности
 педленных частиц \(\begin{align} \begin{align} \be
- 2) граничные значения псевдобыстрот, разделяющих области рагментации мишени и снаряда и центральную область, сдвигаются влево, к меньшим значениям псевдобыстрот, с ростом множестенности медленных частиц $\mathcal{N}_h(\mathcal{N}_g)$;
- 3) угловое распределение S -частиц в области энергий FNAL зависит от числа медленных частиц П_h (для не очень больших значений) таким образом, что для множественности в широких уг-

ловых интервалах выполняется соотношение

$$\langle n_s(\Delta \eta) \rangle = 3,10 + 0,16 n_h + \Delta \eta (2,00 + 0,19 n_h)$$
 (1.17)

где $\Delta \eta = \ln (s/m^2) - 3$. Очевидно, что это выражение не факторизуется на отдельные η_h и $\Delta \eta$ зависимые части ;

4) среднее число ливневых частиц на единицу быстроты (плотность) в центральной части остается, для событий с фиксированным n_h , постоянным при увеличении E_o .

І.9. Угловые корреляции между разными типами частиц.

К настоящему времени объем информации о корреляционных свойствах углов испускания медленных продуктов фрагментации и релятивистских частиц весьма незначителен. На наш взгляд естественным было бы раздельное рассмотрение внутригрупповых угловых корреляций, между вторичными частицами одного типа -hh, sg,b, SS и межгрупповых - для частиц разного типа-Sg,Sb, Sh,gb. Из перечисленного набора возможных корреляций в hA взаимодействиях нам известно лишь несколько работ,где в какойномере можно почерпнуть сведения по bb-,gg- и Sg- группам (исключение составляют двухчастичные корреляции внутри группы релятивистских (SS) частиц, подробную информацию о которых можно найти в разделе 1.3. и в цитируемой к нему литературе).

В работе [80] исходя из предположения, что распределение углу разлета между парой частиц, вылетевших под углом θ =90[±] 10 градусов к первичному пучку, должно быть симметричным при взависимом и изотропном испускании, осуществляется модельно взависимый поиск так называемых "нуклидных струй" (случаев оррелированного испускания вторичных частиц в небольщой телестор угол — корреляции в группе bb) в PA взаимодействиях при E 1 ГэВ. Авторы сравнивают число пар частиц при "параллельном"

испускании (\(\bar{n}_{\pm}\)), с числом пар частиц при их "антипараллельном" испускании (\(\bar{n}_{\pm}\)) и приходят к выводу о существовании "нуклидных струй" от распада нестабильных фрагментов (примерно двухкратное превышение). Сопоставление целого ряда характеристик расщеплений с "нуклидными струями" и взаимодействий, содержащих среди вторичных продуктов фрагменты с зарядами Z ≥ 3, привело авторов к выводу об их сходстве и, следовательно, о взаимосвязанности коррелированного испускания частиц с явлением фрагментации ядра. В работе сделана попытка описать появление "нуклидных" корреляций и фрагментов в результате "слипания" случайно распределённых независимо испущенных нуклонов (механизм Батлера-Пирсона [81]), которая обнаружила его непригодность для описания процесса образования сложных частиц и угловых корреляций типа "нуклидных струй".

Другой вывод был получен [82] при исследовании отношения числа "корреляций" и "антикорреляций" в дейтон-ядерных (dA) и альфа-ядерных (dA) взаимодействиях при импульсе 4.2 ГэВ/с на нуклон. Изучались распределения по углу разлёта между b -частицами (bb -корреляции) с сопоставлением их с результатами расчёта, проведённого в предположении независимого изотропного испускания частиц. В этом случае отношение близко к единичному значению и, если коррелированные пары вторичных медленных частиц и образуются, то с сечением, не превышающим 10 % уровень от сечения неупругого взаимодействия.

Пример изучения корреляций в gg и sg группах на языке углов разлёта между "триггерной" частицей, летящей назад (лабораторная система) и протоном или пионом, вылетающими в различных направлениях, можно найти в исследовании [83]. Здесь экспериментальное распределение сравнивается с фоновым, которое конструируется на основании одночастичных распределений по по-

дярному углу ("триггерной" частицы I и частицы "партнёра" 2) следующим образом:

$$V_{b}(X) = \int W_{1}(X_{1})W_{2}(X_{2})S(\hat{X}-X)dX_{1}d\phi_{1}dX_{2}d\phi_{2}, \qquad (a)$$

$$\hat{X} = \overline{N}_{1}\overline{N}_{2} = X_{1}X_{2} \pm \sqrt{(1-X_{1}^{2})(1-X_{2}^{2})}\cos(\phi_{1}-\phi_{2}), \qquad (b)$$

 $\P_{\bullet}(\P_{\bullet})$ — единичный вектор в направлении испускания частицы I (2); X_{L} , ψ_{L} — соответственно косинус полярного угла и азимутальный угол L —ой частицы ($\mathsf{L}=\mathsf{I},2$); $W_{\mathsf{L}}(W_{\mathsf{L}})$ — одночастичный инклюный спектр частицы I(2); X — косинус угла разлёта двух часниц. В работе обнаружено существенное превышение экспериментаньного распределения над фоновым (как для $\mathsf{g}\,\mathsf{g}$, так и для $\mathsf{g}\,\mathsf{g}$ групп) в области $-\mathsf{I} \leqslant \mathsf{X} \leqslant \mathsf{0}$ (особенно в точке $\mathsf{X}=\mathsf{I}$), что, по мнению авторов, может быть следствием квазиупругого столкновения налетающего I —мезона с массивной когерентной флуктуацией стерного вещества ("флуктон") в мишени (объяснение $\mathsf{g}\,\mathsf{g}$ — корреляций) и кумулятивного механизма рождения протонов назад (объяснение $\mathsf{g}\,\mathsf{g}$ —корреляций).

Нам знакома единственная работа [84] по изучению межгрупповых (только Sg) корреляций азимутальных углов испускания в
h Взаимодействиях (случай ядро-ядерных взаимодействий при
высоких энергиях был исследован в [85,86]), где рассматривается вопрос о взаимной ориентации направлений преимущественного
испускания групп частиц (S -группы и g -группы) с помощью угпа Ф, определяемого как

$$\cos \Phi_{sg} = \frac{a_s a_g + b_s b_g}{[(a_s^2 + b_s^2)(a_g^2 + b_g^2)]^{1/2}}, \quad (I.19)$$

$$a_s = \sum_{i=1}^{n_s} \cos \psi_i, \quad b_s = \sum_{i=1}^{n_s} \sin \psi_i,$$

$$a_g = \sum_{i=1}^{n_g} \cos \psi_i, \quad b_g = \sum_{i=1}^{n_g} \sin \psi_i.$$

тачи в противоположных в азимутальной плоскости направлениях, по мнению авторов, может быть следствием несимметричности соударения (большие прицельные параметры), в котором внутриядерный каскад в направлении большей длины пути внутри ядра-мишени должен сопровождаться поглощением ливневых и мультиплика-

Для полноты обзора укажем ещё на две работы [87,88], в торых предложены и применены оригинальные методы изучения торреляций между углами испускания вторичных частиц (подробнее методах см. ниже).

Отсутствие теории сильных взаимодействий в ощутимой мере сложняет теоретическое изучение hA соударений. А изобилие модельных представлений, предназначенных для описания определёной особенностей hA взаимодействия, затрудняет выбор правильной пространственно-временной картины протекающего в ядре провеса. Поэтому совокупность существующих и разрабатываемых монелей нуждается в такой же систематизации и обобщениях, как и испериментальная информация. Примером подобного подхода являнся работы [7,8], в которых выполнен критический анализ монелей высокоэнергичных hA взаимодействий. Авторы условно делят их на две группы: а) коллективные модели, в которых снаряд сталкивается с бесструктурной ядерной материей (гидродинаминальная модель Ландау (LHM)*), модель котерентной трубки (Стально) и б) модели многократного перерассеяния с учётом и без

в скобках указаны начальные буквы названия модели на английском языке.

составной структуры снаряда (составная модель Капеллы – мвицкого (СКМ), аддитивная кварковая модель (АОМ) и пр.).

жином разделе мы не предполагаем подробно излагать содержамоделей (ознакомиться можно по работам [7,8,48,89,90] и цимодельм в них источникам), а лишь коротко напоминаем основные идеи.

2.I. Коллективные модели и трудности при объяснении экспериментальных данных.

Гидродинамическая модель Ландау (LHM) представляет соколлективный подход, предполагая, что в результате высоко--- ргичного взаимодействия в лоренцовски сжатом диске высвобоватся значительное количество энергии. Образованный адронный " находится в локальном статистическом равновесии и харавтеризуется плотностью энергии, давлением и распределением 4воростей, а его движение описывается уравнениями релятивистспидродинамики. Затем адронный кластер подвергается гидропределяется как выбором уравнения состояния адронного вещества, так и теничными условиями. В такой гидродинамической картине время моментами образования адронного вещества и его "материав свободные частицы очень большое. В случае 🗚 взаподействий снаряд коллективно взаимодействует со всеми нуклона своём пути (т.е. в трубке с сечением Съм), а реальные **дроны** формируются вне ядра. Строго говоря, простого соотношевыя между характеристиками hN и hA взаимодействий при одинавовых начальных энергиях снаряда нет. Двояко в модели решается вопрос о лидирующих частицах: либо характеристики "лидера" явтотся подгоночными параметрами при расчётах в рамках LHM [91],

либо лидирующие частицы рождаются из гидродинамической систеы [92] (в последнем случае возникают трудности с сохранением квантовых чисел).

В ряде случаев гидродинамический подход, с целью расширить область применимости до промежуточных энергий (5 - 300
ГэВ), подвергается модификации - модель эффективной мишени [93],
- в которой снаряд взаимодействует лишь с передней частью
трубки массы

$$M_{eff} = m_N n G_{hN} L$$
, (2.1)

где \mathbb{N} – ядерная плотность, \mathbb{L} – меньшее из двух величин $\mathbb{L}_{\xi} = \mathbb{C}_{\xi} \mathbb{E}_{0}^{1/2}$ ($\mathbb{C}_{\xi} = 2.4$ ферми $\mathbb{C}_{\theta} = \mathbb{C}_{\theta} \mathbb{E}_{\theta}^{-1}$) и геометрической длины трубки $\mathbb{L}_{g} = 2(\mathbb{R}^{2} - \mathbb{b}^{2})^{1/2}$ (\mathbb{b} – прицельный параметр соударения) и получают следующие оценки

$$\langle N(M_{eff}, E) \rangle = \langle N_{PP}(E_o) \rangle (M_{eff}/M_N)^d$$
 (2.2)

$$dn/dy = \langle n \rangle \exp[-(y-y_0(M_{eff}))^2/20(M_{eff})]/\sqrt{211}0(M_{eff})$$
 (2.3)

тде & =0.65÷0.75. При использовании этих формул авторы истичают лидирующую частицу. В области малых энергий (<5 ГэВ) одель переходит в каскадную, при высоких энергиях(≥300 ГэВ) в гидродинамическую.

(S)(S)(H)

Модель когерентной трубки (СТМ) в своей основной версии предполагает коллективное взаимодействие снаряда со всеми тутриядерными нуклонами некоторой бесструктурной трубки, растатриваемой как элементарная частица [94,95]. Для трубки из нуклонов

$$S(i) \simeq 2im E_o = iS$$
, (2.4)

тра масс для hA (hN) взаимодействия. Кроме того считают,

то те из характеристик hN взаимодействия, которые не зависят от квантовых чисел сталкивающихся частиц не чувствительк ним и в hA взаимодействиях, т.е. столкновение "адронтрубка" подобно hN соударению с соответствующей энергией в
истеме центра масс (в /С раз большей) - налицо простота в
всчётах множественных и одночастичных инклюзивных распредетений.

Сопоставление предсказаний коллективных моделей с экстериментальными данными указывает на ряд существенных трудтериментальными данными указывает на ряд существенных труд-

- Тов является отсутствие надёжных количественных расчётов частиц области фрагментации снаряда (хотя в LHM, где "лидер", удаётся качественно воспроизвести "вымирание" рующих частиц с ростом A, но возникает проблема с сохнием квантовых чисел и с ростом поперечного импульса"лив hA взаимодействиях в сравнении с hN;
- 2) логарифмический рост ширины γ -спектра с энергией в столкновениях приводит в рамках СТМ к логарифмическому ширины с A в hA взаимодействиях, что противоречит экриментальным данным (СТМ является единственной моделью, граспределения с растущими при увеличении A массы трубки) дисперсиями);
- 3) в коллективных подходах, где игнорируется низкоэнерческий каскад, не может быть объяснена слишком сильная —зависимость инклюзивных распределений при малых ?;
- 4) величины двухчастичных и трёхчастичных корреляционфункций в коллективных моделях (например, в СТМ) в центельной области не зависят от V (или A), что противоречит экспериментальным данным (см. раздел I.3.), в которых для hA

валичием различных вкладов в величину корреляционных функ-

5) в чисто коллективных моделях единственной причиной причиной меньшения азимутальных корреляций в hA соударениях по сражению с hN может быть рост полной множественности вторичих частиц, однако, степень убывания корреляций на эксперименте всё же значительно более сильная.

2.2. Модели многократного перерассеяния и степень их соответствия экспериментальным результатам.

Модель Капеллы-Крживицкого (СКМ) [96] является квазиклассическим приближением, предполагающим, что налетающий
зарон имеет много (в принципе, бесконечное число) конституентов, каждый из которых содержит мультипериферическую лесенку партонов. В hN столкновении основной вклад в сечение
даёт взаимодействие одного конституента с нуклоном. При переходе к h A соударению возникают дополнительные вклады из-за
взаимодействий нескольких конституентов с внутриядерными нукпонами вдоль направления движения снаряда, т.е.величина, контролирующая вероятность, что Y конституентов примут участие
во взаимодействии с ядром, совпадает с P(V), определяемой в
рамках модели Глаубера. Основной результат СКМ для инклюзивного h A рождения состоит в следующем правиле суммирования
спектров элементарного акта

 $\frac{dn^{hA}(y;E_o)}{dy} = \sum_{v=1}^{A} vP(v) \int P(E',E_o,v) \frac{dn(y-y_o(E');E')}{dy} dE$ (2.5)

эдесь dn(У-У₀(E');E)/dУ - инклюзивная плотность распределения по быстроте У в hN столкновениях; P(E',E₀,V) - величивоторая отвечает за соответствие доли уносимой энергии между конститувыерному распределению первичной энергии между конститувыерному распределению первичной энергии между конститувыерному распределению первичной об одновременном взаимовыетнии снаряда, посредством обмена реджеонами, с коллективуклонов вдоль пути в мишени. Однако, следует отметить,
такой тип коллективности не имеет ничего общего с рассвыетные при обсуждении коллективных моделей "трубки".

В аддитивной кварковой модели (АОМ) [48,49,90,97] быадрон, рассматривается как композиция пространственно велённых составляющих кварков, каждый из которых, являясь проноподобным объектом, состоит из валентного кварка, моря пар. В высокоэнергичных столкновениях предполатеся, что составляющие кварки имеют мультипериферическую тертонную структуру. Адрон-адронные столкновения обусловлены варк-кварковым столкновением, которое в свою очередь есть температи взаимодействия наиболее мягких (Wee) партонов мии снаряда. Невзаимодействующие составляющие кварки снаиграют роль спектаторов, с наличием которых связано образование частиц в области фрагментации снаряда. Многократрассеяния внутри ядра возникают только в результате одвовременных и/или последовательных соударений нескольких составляющих кварков (т.е. вклад многореджионных обменов предполагается маленьким). Вторичные частицы также могут принять участие во взаимодействии с мишенью, но на расстояниях, превышающих длины формирования $\ell_f = K/m_o^2$, здесь $m_o^2 \approx m_s^2$ (m_s масса **Р** -мезона), **К** - импульс рожденной частицы. Эти взаимодействия принимают каскадный характер, описываемый уравненисы переноса, модифицированным длинами формирования адрона

 $\frac{dN}{d\varepsilon} = \frac{dN(\varepsilon - \varepsilon)}{d\varepsilon} \exp\left(-\frac{t - \ell(\varepsilon)}{\varepsilon}\right) \Theta(t - \ell(\varepsilon)) + \frac{1}{\varepsilon} \int dx \exp\left(-\frac{t - x - \ell(\varepsilon)}{\varepsilon}\right) \int dw \frac{dN}{dw} \frac{dN(W - \varepsilon)}{d\varepsilon}$ (2.6)

первичной энергией E, $\ell=1/C_{in}$: S_A — длина поглощения поставляющего кварка, C_{in} — поперечное сечение поглощения, S_A — потность вещества мишени, t — глубина от места поглощения. Потность вещества мишени, t — глубина от места поглощения. Потность вещества мишени, t — глубина от места поглощения. Потность вещества мишени, t — глубина от места поглощения. Потность вещественен за форминование и поглощение рожденных частиц, а второй — за их кастиные взаимодействия. Таким образом, рождение на ядре в t — учётом каскада низкоэнергетических вторичных частиц должно пределяться вкладами от одно—, двух— и трёхкварковых взаимо— пределяться вкладами от одно—, двух— и трёхкварковых взаимо— пределяться вкладом низкоэнергетической каскадной мультиликации. В модели предполагается, что перерассеяния составляющих кварков в ядре несущественны (см. обсуждение в [9]).

Изложенную выше картину hA соударения воспроизводит детально разработанный алгоритм Монте-Карловского розыгрыша с
тётом законов сохранения энергии, импульса, электрического
варионного зарядов и т.д., реализованный в работе [90].

Из всех величин, одной из наиболее чувствительных к каскадной мультипликации является множественность "серых" протонов, выбитых из ядра с импульсами, превышающими ферми- имтульсы внутриядерных нуклонов. Протоны, летящие назад, появтеотся вследствии многократного рассеяния или ферми-движения
мутриядерных нуклонов. Однако, этих двух источников в модеим недостаточно для описания экспериментально наблюдаемой
можественности протонов назад. Расхождение преодолевается
три учёте короткодействующих многонуклонных корреляций, существование которых обсуждалось Франкфуртом и Стрикманом (подробнее об этом см. ниже). В АОМ модель многонуклонных корреляций используют лишь для того, чтобы описать экспериментальные данные о выходе кумулятивных протонов в заднюю полустеру. В описываемой в работе [90] модификации АОМ расшире-

7 1 --

до прямого эксклюзивного описания многочастичного рождена ядрах. Следует отметить, авторы этой модели придерживытся точки зрения, что цветовые степени свободы слабо влина процессы множественного рождения с нормальными поперечными импульсами ("мягкие" процессы).

0 соответствии моделей многократного перерассеяния экспериментальным результатам можно сказать следующее:

- I) в тех моделях, в которых, в первом приближении, флуктуации N_s обусловлены флуктуациями множественности во внутрижерных hN соударениях и флуктуациями V, все основные особенности N_s -распределений во всей изучаемой области E опижениях хорошо;
- 2) спектры лицирующих частиц в пределах экспериментальошибок могут быть описаны в аддитивной кварковой модели;
- 3) в рамках СКМ возможно количественное описание N_g , $V_{\mathbf{z}}$ зависимости инклюзивных корреляционных функций $R_{\mathbf{z}}$ в центральной области быстрот;
- 4) в моделях многократного рассеяния, в отличии от коллективных моделей, появляется дополнительная возможность ослабления азимутальных корреляционных связей вторичных частиц в hA взаимодействиях по сравнению с hN - рождение частиц в процессах перерассеяния.

Soparoper successment marks marchiae no hit of he coveres-

THE SECTION SERVICE OF ELECTRICAL ..

ГЛАВА2.

ЭКСПЕРИМЕНТАЛЬНЫЙ МАТЕРИАЛ И СВЕДЕНИЯ ОБ ИСПОЛЬЗУЕМЫХ .
ПАРАМЕТРИЗАЦИЯХ ДАННЫХ .

1. Условия эксперимента, просмотр и отбор событий.

Анализируемые в настоящей работе адрон-ядерные взаимовствия были зарегистрированы и измерены в стопках ядерных встоэмульсий типа НИИХИМФОТОПРОЕКТ – BR 2, облучённых на успрителях ЦЕРНа, ИФВЭ (Серпухов) и FNAL (Батавия) протонами встоями P₀ = 24, 50, 200 и 400 ГэВ/с и пионами с импульвстоями P₀ = 50 и 200 ГэВ/с.

Просмотр "вдоль следа" при всех P_0 проводился нами на мероскопах МЕИ – 9 при увеличении 900°. Взятый трек смотрася слева направо с большой скоростью (о методике быстрого росмотра см. [98]), что полностю исключало какую-либо возрысть дискриминации по числу сильноионизующих частиц N_h . В меторые сводные данные о просмотровой и измерительной расоте в этих стопках приведены в таблице I (эксперименты при P_0 (AIMT), 400 P_0 (AIMT) в протонном пучке и 50 P_0 (AIMT), 200 (AIMT) в пионном пучке выполнялись в рамуказанных сотрудничеств . Для обсуждения характеристик мы используем также весь имеющийся в нашей воратории экспериментальный материал по P_0 и P_0 соудареми, характеризуемый таблицей 2.

Полная статистика эксперимента составила около 5500 сотий. Для измерений использовались ансамбли hA взаимодей-

всем коллегам по сотрудничеству за совместную работу по набору экспериментального материала.

Таблица І.

водные данные об используемом экспериментальном материале.

h, E. (FaB)	Уско- ритель		φφε π (MO)	Ичлр	Иког	N _{p-f-p}	N _{анал.}
P, 24	ЦЕРН .	436	37.I ± I.I	5	9	43	III8
P, 50	ИФВЭ	416	34.9 ± I.0	29	18	42	IIO2
P,200	FNAL	208	35.3 ± I.5	4	17	2I	548
P,400	FNAL	375	35.2 ± I.I	II	37	40	978
T, 50 T,200	FNAL.	3 59 479	45.3 ± I.6 43.6 ± I.3	II 9	I6 45	3I 38	734 1006

ечания: Сэфф - эффективная длина просмотренного следа, = N/N', N(N') - число измеренных (найденных) взаи ействий, Хэфф средний свободный пробег, N_{UNP} - число тенных упругих взаимодействий, N_{KOL} - число удалённых ко-

Таблица 2.

жерениями только для треков релятивистских частиц.

Снаряд	Е (ГэВ)	NH	NhA
P	21	729	288
P	24	MUNICIPAL STREET	I373
P	50	1021	1391
P	67	III9	1633
P	200	2093	2743
P	400	I064	3353
97-	50	1147	III4
T	200	I333	4853

ствий [46,47,73,99-101], количественные измерения в которых проводились при участии автора диссертации лишь для релятимстских частиц. Рассматриваемые ансамбли, как и ранее, не содержат: І) события с одной релятивистской частицей при угте отклонения от первичного следа меньше θ_{el} (θ_{el} -угол, соответствующий условной верхней границе упругого рассеяния на вычислялся при каждом Ро); 2)события с иссканием б -электрона; 3) случаи электромагнитного образовымя ete- - пар частицей первичного пучка; 4) когерентных взаподействий с ядрами (т.е. реакций типа hA - ns+ ns+ ns+ A , $n_s^{\pm}=1,3,5,...$ -число заряженных, а n_s° - число нейтральрелятивистских частиц, удовлетворяющих критериям отбора терентных взаимодействий с ядрами эмульсии; иначе, реакции, вета ядро учавствует во взаимодействии как целое, не проявсвоей структуры, подробнее см. [102]; 5) события на своводороде эмульсии (звёзды типа "P-free P"), удаление производилось статистически с учётом ядерного соста-🔤 экульсии и распределения по числу заряженных частиц 🐧 🛦 .

2. 0 количественном разделении заряженных частиц по типам S, g, b, h и методика угловых измерений.

Во всех событиях анализируемого экспериментального группала было выполнено количественное разделение вторичных женных частиц по различным типам треков с помощью точных грений ионизаций, когда определяется величина относительмонизации $g^* = g/g_* (g - плотность зёрен на вторичном измонизации <math>g^* = g/g_* (g - плотность зёрен на вторичном измонизации <math>g^* = g/g_* (g - плотность зёрен на вторичном измонизации <math>g^* = g/g_* (g - плотность зёрен на вторичном измонизации <math>g^* = g/g_* (g - плотность зёрен на вторичном измонизации <math>g^* = g/g_* (g - плотность зёрен на вторичном измонизация <math>g^* = g/g_* (g - плотность зёрен на вторичном измонизация <math>g^* = g/g_* (g - плотность зёрен на вторичном измонизация <math>g^* = g/g_* (g - плотность зёрен на вторичном измонизация <math>g^* = g/g_* (g - плотность зёрен на вторичном измонизация <math>g^* = g/g_* (g - плотность зёрен на вторичном измонизация <math>g^* = g/g_* (g - плотность зёрен на вторичном измонизация <math>g^* = g/g_* (g - плотность зёрен на вторичном измонизация <math>g^* = g/g_* (g - плотность зёрен на вторичном измонизация <math>g^* = g/g_* (g - плотность зёрен на вторичном измонизация <math>g^* = g/g_* (g - плотность зёрен на вторичном измонизация <math>g^* = g/g_* (g - плотность зёрен на вторичном измонизация <math>g^* = g/g_* (g - плотность зёрен на вторичном измонизация <math>g^* = g/g_* (g - плотность зёрен на вторичном измонизация <math>g^* = g/g_* (g - плотность зёрен на вторичном измонизация <math>g^* = g/g_* (g - плотность зёрен на вторичном измонизация <math>g^* = g/g_* (g - плотность зёрен на вторичном измонизация <math>g^* = g/g_* (g - плотность зёрен на вторичном измонизация <math>g^* = g/g_* (g - плотность зёрен на вторичном измонизация <math>g^* = g/g_* (g - плотность зёрен на вторичном измонизация <math>g^* = g/g_* (g - плотность зёрен на вторичном измонизация <math>g^* = g/g_* (g - плотность зёрен на вторичном измонизация <math>g^* = g/g_* (g - плотность зерен на вторичном измонизация <math>g^* = g/g_* (g - плотность зерен на вторичном измонизация <math>g^* = g/g_* (g - плотность зерен на вторичном измонизация <math>g^* = g/g_* (g - плотность зерен на втор$

- протоны с импульсом Р ≤ 0.22 ГэВ/с (кине ическая энергия
 № МэВ) и фрагменты ядра с пробегом R ≤ 3 мм;
- 2) "серые" (g тип) заряженные частицы с пробегом R > мм и относительной ионизацией g*> I.4, состоят, в основном, протонов с импульсом 0.22 < P ≤ I.0 ГэВ/с (примесь "серых" тонов (см. Главу I) с импульсами 60 < P ≤ I70 МэВ/с очень ма-
- 3) ливневые или релятивистские (S- тип) однозарядные $g^* < I.4$ и со скоростью $\beta > 0.7$. Часто $g^* = 0.4$ и со скоростью $g^* = 0.7$. Часто $g^* = 0.7$. Скорость которых $g^* = 0.7$.

Измерение и расчёт полярных и азимутальных углов вторичзаряженных частиц производились с помощью обычной, разратанной в нашей лаборатории методики [103], в которой исвызуется трёхмерная система координат Х'У'Z'. Начало координа трека первичной частицы на плоскость стола микроскопа,
оУ направлена "вверх" в поле зрения, перпендикулярно оси
и лежит в плоскости стола (правовинтовая система), ось ОХ
правлена вверх (к поверхности эмульсии). Различные углы втонах частиц вычислялись, используя координаты измеряемого
в другой системе координат ХУZ, ось ОХ которой направтся точно по продолжению первичного трека, путём разворота
темы Х'У'Zвокруг оси ОУ на угол Хо, определяемый по форму-

a)
$$t_g \gamma_o = \frac{K_\Delta Z}{X_z^o}$$
 или 6) $cos \gamma_o = \frac{\chi_z^o}{\sqrt{(K_\Delta Z_o)^2 + (\chi_z^o)^2}}$ (2.1)

— AZ- отклонение первичного следа события от плоскости сто-

жироскопа на длине X°.

Т.к. в нашем эксперименте, как мы уже отмечали выше, исзовались ансамбли hA взаимодействий с измеренными углами
тивистских частиц и нам было необходимо провести угловые
рения сильноионизующих треков методикой "широкого конуса",
соответственно этому приведём сводку формул перехода от сисХ'У'Z'к ХУZв "широком конусе" (аналогичные формулы для
ого" и "сверхузкого" конусов можно найти в методичес к их
АГМТ- сотрудничества в ТА взаимодействиях при 200

$$X = \frac{r \cos d}{b}$$
, $Y' = \frac{r \sin d}{b}$, $Z' = K_{\Delta}Z$, (2.2)

теме д – плоский угол измеряемого трека в системе X'У'Z', г – ма котором измеряется ΔZ погружение трека. После повона на χ

$$X = \cos \chi_0 \left(\frac{\Gamma}{b} \cos \lambda_0 - K_{\Delta} Z \log \chi_0 \right), \quad Y = -\frac{\Gamma}{b} \sin \lambda,$$

$$Z = \cos \chi_0 \left(\frac{\Gamma}{b} \cos \lambda \log \chi_0 + K_{\Delta} Z \right)$$
(2.3)

же координаты X, У, Z легко определить следующие угловые жеристики измеряемого трека в системе координат XУZ:

а) направляющие косинусы

$$= \frac{X}{\sqrt{X^2 + y^2 + Z^2}}, \cos \lambda_y = \frac{y}{\sqrt{X^2 + y^2 + Z^2}}, \cos \lambda_z = \frac{Z}{\sqrt{X^2 + y^2 + Z^2}}$$
(2.4)

б) пространственный угол

$$tg\theta = \frac{\sqrt{y^2 + Z^2}}{X}$$
, $sin\theta = \frac{\sqrt{y^2 + Z^2}}{\sqrt{X^2 + y^2 + Z^2}}$, (2.5)

в) азимутальный угол

$$tg \Psi = Z/Y, \qquad (2.6)$$

г) плоский угол

$$tg \Psi = Y/X, \qquad (2.7)$$

д) "глубинный" угол

$$tg \gamma = Z/\sqrt{\chi^2 + y^2}$$
 (2.8)

Серии специальных контрольных измерений звёзд, проведёнпомощью этой методики, показали, что относительная точизмерения пространственных углов во всей области (кроме
гадусов) составляет около 5%, а для азимутальных углов
зградуса погрешность не хуже нескольких градусов, при
зградуса погрешность не хуже нескольких градусов, при

завершение раздела уместно отметить, что как получение, анализ всех использованных в работе ансамблей hA взаи-

3. О параметрах моделей многократного рассеяния на ядрах.

экспериментальные данные настоящей работы будут в той мере сопоставляться с количественными и качественныредсказаниями различных моделей многократного рассеяния.

вышнстве рассмотренных нами моделей характеристики hA
рений связываются с характеристиками взаимодействий на
рений связываются с характеристиками взаимодействий при прорений связываются с характеристиками взаимодействий при прорений связываются с характеристиками взаимодействий принимающих участие во взаимодействии.

р, [104], для обсуждения приближений, которые при этом этом

$$P(V) = \frac{\frac{1}{V!} [G(hN)T(b)]^{V} exp[-G(hN)T(b)] d^{2}b}{G(hA)}$$
(2.9)

G(hN), G(hA) - сечения неупругого hN и hA взаимодейточнее, G(hA) - сечение рождения) соответственно, функ-

$$T(b) = A \int g(b, Z) dZ,$$
 (2.10)

(b,Z) - распределение плотности ядерной материи. Сечение взаимодействия в этом приближении есть

$$G(hA) = \sum_{v=1}^{A} (\frac{1}{v!}) [G(hN)T(b)]^{v} \exp[-G(hN)T(b)] d^{2}b$$

$$= \int (1 - \exp[-G(hN)T(b)]) d^{2}b$$
(2.11)

толда имеем для среднего числа внутриядерных соударений

$$\langle V \rangle = \sum_{v=1}^{A} VP(v) = \frac{\int \sigma(hN)T(b)d^2b}{\sigma(hA)} = A \frac{\sigma(hN)}{\sigma(hA)}$$
(2.12)

выбиралась нами либо в виде распредемя Гаусса (для ядер C, N, O)

$$S(r) = (\pi R)^{3/2} \exp(-r^2/R^2)$$
 (2.13)

в виде распределения Саксона-Вудса

$$g(r) = g_{o}/[1 + \exp((r-c)/a)]$$

$$g_{o} = \left[\frac{4}{3} \pi c^{3} (1 + \pi^{2} a^{2}/c^{2})\right]^{-1}$$
(2.14)

метры этого распределения выбирались [105,106] равными С = 1.07 А³и & = 0.545 фм. При проведении расчётов можно убедить—

то с помощью выражения (2.14) удаётся вполне удовлетво—

тельно (с точностью ≈ 10%) воспроизвести экспериментальные

тальных значений сечений hN и hA взаимодействия.

107] по сечениям неупругого взаимодействия адронов с рами. Это, в частности, означает, что значения ⟨у⟩, полушене при расчёте, совпадают с экспериментальными, получене из правой части выражения (2.12) подстановкой эксперинальных значений сечений hN и hA взаимодействия.

Все расчёты проводились нами для разных ядер и затем сумровались в соответствии с составом эмульсии. На рис. I предвлены распределения по V для ПА и РА соударений в эмульСледует заметить, что, поскольку сечения hN и hA взаределения изменяются в интервале 20 – 400 ГэВ незначительно,
пределения по V также будут изменяться слабо.

При проведении расчётов мы предполагали, что в hN соу-

$$\langle n_{ch} \rangle = a + b ln s + c s^{-1/2}$$
 (2.15)

значениями параметров, определёнными в работе [108]. Считось, что множественность в hN соударениях удовлетворяет

— скейлингу, а КНО — функция выбиралась в виде, предложенв работе [109]. Для описания быстротных спектров вториччастиц в hN соударениях использовались параметризации,

теанные в работе [110]. При анализе результатов расчёта учив фотоэмульсионной методике.

Очевидно, что при анализе данных в рамках рассматриваемоделей характеристики hA соударений (особенно это касакорреляционных эффектов) должны быть чувствительны к ряактов во "вводимых" (из hN соударений) данных, таких как
мение резонансов и возможных кластеров, примесь релятивискоррений протонов отдачи и т.д. Это обстоятельство приводит к
модимости использовать возможно более точные параметриза-

одно- и двухчастичных инклюзивных распределений из hN соврений. Поэтому, при анализе корреляций между релятивистскичастицами в PA соударениях мы использовали метод расчёта .

1.III], основанный на суммировании (с соответствующим взвеванием) эмпирических плотностей из PN соударений соответсвих энергий. Этот метод позволяет принимать в расчёт все
видих эффекты и проверять технику суммирования инклюзивплотностей, постулируемую в различных моделях многократвассеяния.

Его применение было возможным, так как в нашей лаборатоимеется значительный экспериментальный материал по PN
дарениям в широкой области первичных энергий от 2.3 до 400
всего 8 экспериментальных ансамблей PN взаимодействий).
празумеется, отметить, что при проведении расчётов мы
небрегли малыми поправками, возникающими из-за флуктуаций
прим в перерассеяниях и неучёта передачи импульса между
рерассеяниями, которая, как полагают, должна играть незначиную роль для обсуждаемых нами процессов с небольшими по-

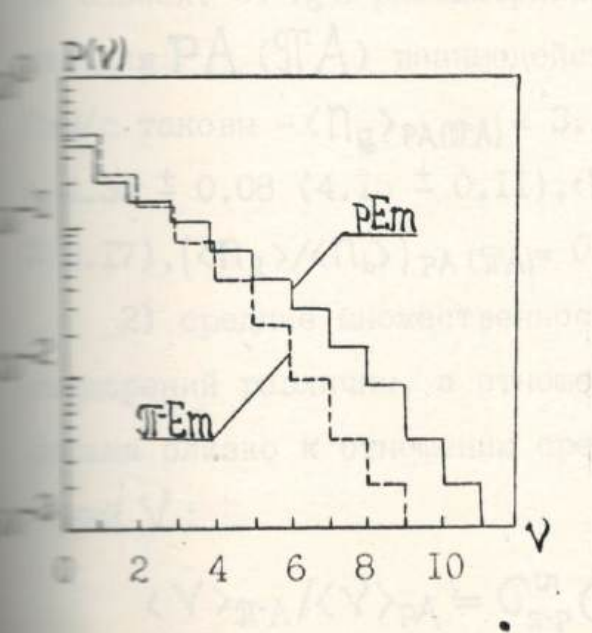


Рис. I Распределения по V для ПА и РА соударений в эмульсии.

постулируемую в различных моделях многократ-

жение было возможным, так как в нашей лаборатожительный экспериментальный материал по PN
жирокой области первичных энергий от 2.3 до 400
жипериментальных ансамблей PN взаимодействий).

жипериментальных ансамблей PN взаимодействий).
жипериментальных ансамблей PN взаимодействий).
жипериментальных ансамблей PN взаимодействий).
жипериментальных ансамблей PN взаимодействий).
жипериментальных ансамблей PN взаимодействий).
жипериментальных ансамблей PN взаимодействий).
жипериментальных ансамблей PN взаимодействий).
жипериментальных ансамблей PN взаимодействий).
жипериментальных ансамблей PN взаимодействий).
жипериментальных ансамблей PN взаимодействий).
жипериментальных ансамблей PN взаимодействий).
жипериментальных ансамблей PN взаимодействий).
жипериментальных ансамблей PN взаимодействий).
жипериментальных ансамблей PN взаимодействий).
жипериментальных ансамблей PN взаимодействий).
жипериментальных ансамблей PN взаимодействий).
жипериментальных ансамблей PN взаимодействий).
жипериментальных ансамблей PN взаимодействий).
жипериментальных ансамблей PN взаимодействий).
жипериментальных ансамблей PN взаимодействий).

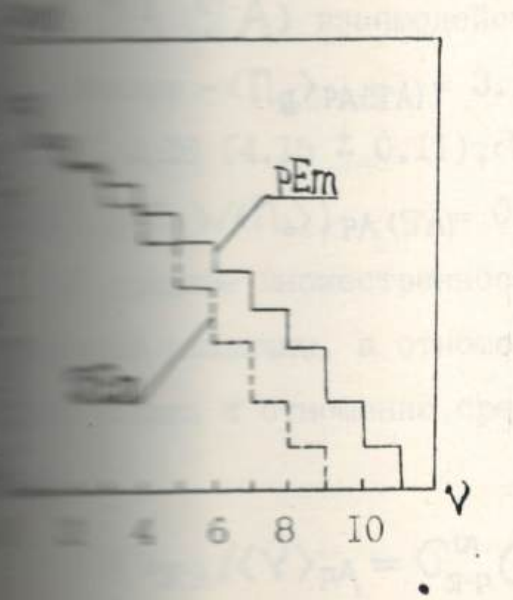


Рис. I Распределения по V для ПА и РА соударений в эмульсии.

ГЛАВАЗ.

множественности и угловые распределения сильноионизующих частиц.

І. Множественности.

Рассмотрим некоторые наиболее общие характеристики расшеделений по множественности сильноионизующих частиц в иссшемых нами h A взаимодействиях. Более детальное рассмотреразличных характеристик этих частиц и корреляционных свяшежду рождёнными частицами и продуктами фрагментации мибудет проведено в последующих параграфах.

I.I. Средние множественности g , b и h -частиц.

Средние множественности $\langle n_g \rangle$, $\langle n_b \rangle$, $\langle n_h \rangle$ и отношения $\langle n_b \rangle$ в hA соударениях приведены в таблице 3. Из этих можно заключить:

I) средние множественности всех типов сильноионизующих и отношение $\langle N_g \rangle / \langle N_b \rangle$ в пределах ошибок эксперимента зависят от P_0 в рассматриваемой области. Усреднённые значеная $P_0 = 20 \div 400(50 \div 200)$ для $P_0 = 20 \div 400(50 \div 200)$ гаковы $-\langle N_g \rangle_{PA(TA)} = 3.13 \pm 0.06 (2.75 \pm 0.08), \langle N_b \rangle_{PA(TA)} = 3.0 \pm 0.08 (4.15 \pm 0.11), \langle N_h \rangle_{PA}(TA) = 7.43 \pm 0.12 (6.90 \pm 0.07), (\langle N_g \rangle / \langle N_b \rangle)_{PA}(TA) = 0.73 \pm 0.02 (0.66 \pm 0.03);$

2) средние множественности "серых" частиц для РА и ПА прений различны, а отношение (Ng)пА (Ng)рА = 0.88 ± 0.03 близко к отношению средних чисел внутриядерных соудатия V:

$$\langle Y \rangle_{\pi-A} / \langle Y \rangle_{PA} = G_{\pi-P}^{in} G_{PA}^{in} / G_{PP}^{in} G_{\pi A}^{in} \simeq 0.85$$
 (3.1)

b-частиц величина отношения средних множественностей $(N_b)_{PA} = 0.97 \pm 0.03$, что заметно отличается от отношение $(N_g)(N_b)$ для (M_b) взаимодействий несколько, чем для (M_b) для (M_b) для (M_b) несколько

Первое утверждение согласуется с хорошо известным из бото числа работ фактом замечательной устойчивости средней
вственности сильноионизующих частиц (\(\bar{N}_h\)). Оно не подтверт, однако, обнаруженной в работах [72,99,100] " тенденции
вения (\(\bar{N}_g\))с увеличением Po ". Причина появления такой "теии" состояла в использовании экспериментального материасодержащего противоречащие друг другу по (\(\bar{N}_g\)) и (\(\bar{N}_b\)) вклады
миных лабораторий и, кроме того, в значительной их части
тирикация по типам g - и b -частиц выполнялась "визуальтак что вывод о Po -зависимости (\(\bar{N}_g\)) в исследуемой обласжергий нельзя признать верным.

Второе утверждение представляет несомненный интерес: оно метро. Опредставляет несомненный интерес: оно метро. Опредставляет несомненный интерес: оно метро. Опредставляет интерес: оно метрой числа внутриядерных столкновений у. Опредставляет интереставение от метро. Опредставляет интереставение от метро. Опредставляет интереставение интереставение от метро. Опредставляет интереставение интереставия интереста

Для определения A - зависимости средних множественностей воспользовались разделением hA взаимодействий на поданм, соответствующие соударениям с легкими(C, N, O-A=14) вельми (Ag, Br - A=95) ядрами эмульсии в соотношении 27%

Таблица 3. Средние значения множественностей 3 h -частиц и отношения < ng > / < nь>

(Leg), hA	hA	< Ns>>	< Ng/	<up></up>	<un></un>	<n> / < BU > / < U ></n>
	PEm	·0 +1	+ 9I	45 ± 0.	.60 + 09	71 ± 0.
	PEm	0+1	19 ±	34 ± 0.	.52 ± 0.	74 ± 0.
	pFm pFm	0+1	+ 96	0 + 60	.05 ± 0.	72 ± 0.
400,	PEm.	I6.9 ± 0.4	3.14 ± 0.14	4.22 ± 0.16	7.36 ± 0.28	0.74 ± 0.04
•	M-F-m	0+1	± 19	02 ± 0.	0+1	65 ± 0.
	J.Em	0 +1	+1 98	25 ± 0.	IO + 0.	.67 ± 0.

таблица 4. Средние значения $\langle n_g \rangle$, $\langle n_b \rangle$, $\langle n_h \rangle$ и $\langle n_g \rangle / \langle n_b \rangle$ для взаимодействий протонов и пионов с группами легких и тяжелых ядер эмульсии.

Ансамбль	< ng/>	< Nb>	< N _b >	< ng>/ <ne></ne>
PCNO	+	++	2.50 ± 0.05	0.61 ± 0.02
PAGB	+1	5.22 ± 0.09	9.07 ± 0.12	0.74 ± 0.02
CIND-II	+1	+1	2.39 ± 0.06	0.57 ± 0.03
AL ARBY	3.32 ± 0.09	4.95 ± 0.II	8.26 ± 0.18	0.67 ± 0.02

и 73% (74%) для первичных протонов (пионов) соответстно. Это разделение проводилось при всех Р единым образом, пользуя статистический метод, описанный в [72] **! Так же, для полных ансамблей hA соударений, средние множественсти всех типов медленных частиц оказались в hCNOи hAgBrco-тиях независящими от Р, поэтому ниже мы рассмотрим усредные по рассматриваемой области первичных энергий характестики протон- и пион-ядерных взаимодействий (таблица 4). Из

I) различие в средних множественностях g - u b - частиц РА и π событий более чётко выражено для тяжёлых ядереней. Отношения $\langle n \rangle_{\pi cno} / \langle n \rangle_{PCNO} u \langle n \rangle_{\pi A_g B_r} / \langle n \rangle_{PA_g B_r}$ равны сотственно 0.90 \pm 0.04 (0.95 \pm 0.04) и 0.86 \pm 0.03 (0.95 \pm 0.03) для g - (b -) частиц.

2) отношение $\langle n_g \rangle / \langle n_b \rangle$ и доля g -частиц среди всех силь
вмонизующих $\langle n_g \rangle / \langle n_h \rangle$) слабо, но обеспеченно увеличивает
с ростом A как в PA, так и в πA соударениях. Если $n_g / n_h A$ вобоих случаях;

3) из последнего свойства следует, что A-зависимости средних множественностей $\langle N_g \rangle_{\text{и}} \langle N_b \rangle_{\text{должны}}$ различаться. предполагая степенную зависимость $\langle N \rangle \sim A^{\alpha}$, из соот-

$$A_{gBr}/\langle \Omega \rangle_{CN0} = \left(\sum_{A_g,Br} N_i G_i A_i / \sum_{A_g,Br} N_i G_i \right) / \left(\sum_{C,N,0} N_i G_i A_i / \sum_{C,N,0} N_i G_i \right)$$
(3.2)

такое разделение использовалось, в основном, для иллюстра — такое разделение в Большинство заключений об А — зависимостях ха— рактеристик соударения были получены в работе внемодельным тём, без использования этого разделения: различные гипо— тезы о виде этих зависимостей проверялись с помощью метода

 $n = n_g, n_b$, N_i — число ядер с данным A в I см³ эмульсии, — неупругое сечение взаимодействия адрона с данным ядром, — $d_g = 0.72 \pm 0.02$ (0.70 ± 0.02), $d_b = 0.64 \pm 0.02$ (0.62 ± 0.02) для протон— (пион—) ядерных взаимодействий.

1.2. Распределения по множественности.

Анализ распределений множественности сильноионизующих чатиц для всех ансамблей hA взаимодействий, перечисленных в блице I, показал, что они не зависят от Po, но зависят от адрона-снаряда. Поэтому мы снова просуммировали PA иЛА

На рис.2 в качестве примера представлены интегральные рашеделения W(≥ N²) и W(≥ Ng)для РА и ПА соударений, для шеорых можно отметить следующие эмпирические закономерности:

- 1) интегральное распределение по \mathbb{N}_h при $\mathbb{N}_h > 8$ хорошо аппесимируется экспоненциальной функцией (I.II) с \mathbb{N}_e =I6.3 \pm 0.2 РА соударений и $\mathbb{N}_o = 15.1 \pm 0.3$ для \mathbb{N} А. Отметим, что енные значения \mathbb{N}_o удовлетворительно согласуются с компией "мировых" данных (см. Главу I раздел I.5). Наши данные инворечат утверждению работы [78] об изменении формы \mathbb{N}_h -раеделения (уменьшение \mathbb{N}_o в (I.II)) с увеличением \mathbb{N}_o для РЕМ врений в области $\mathbb{N}_o \in \mathbb{N}_o$ Сотметим, что для приведёнврений в области $\mathbb{N}_o \in \mathbb{N}_o$ необходимостью должно было бы наблюваю заметное уменьшение $\mathbb{N}_h(\mathbb{N}_o)$, чего не наблюдается на экрименте, в том числе и в данных, использованных в [78];
- 2) аналогичной зависимостью (типа (I.II)) хорошо аппрокруются и П_b-распределения для РА и ПА взаимодействий П_b>4 (не проиллюстрировано). Соответствующие константы

выте-Карло, с учётом ядерного состава эмульсии.

"наклоны") в зависимости (I.II) для $\mathfrak b$ -частиц равны соответственно 8.9 \pm 0.1 и 8.6 \pm 0.1 для $\mathsf PA$ и $\mathsf TA$ взаимодействий.

При $\mathsf N_{\mathsf b} \leqslant 4$ налицо отступления от (I.II) благодаря вкладу от
соударений с ядрами $\mathsf C$, $\mathsf N$, $\mathsf O$;

3) в отличии от распределений по Π_h и Π_b , распределение Π_g не описывается зависимостью (I.II), но хорошо аппрокси—

— уруется "линейно-экспоненциальной" формой

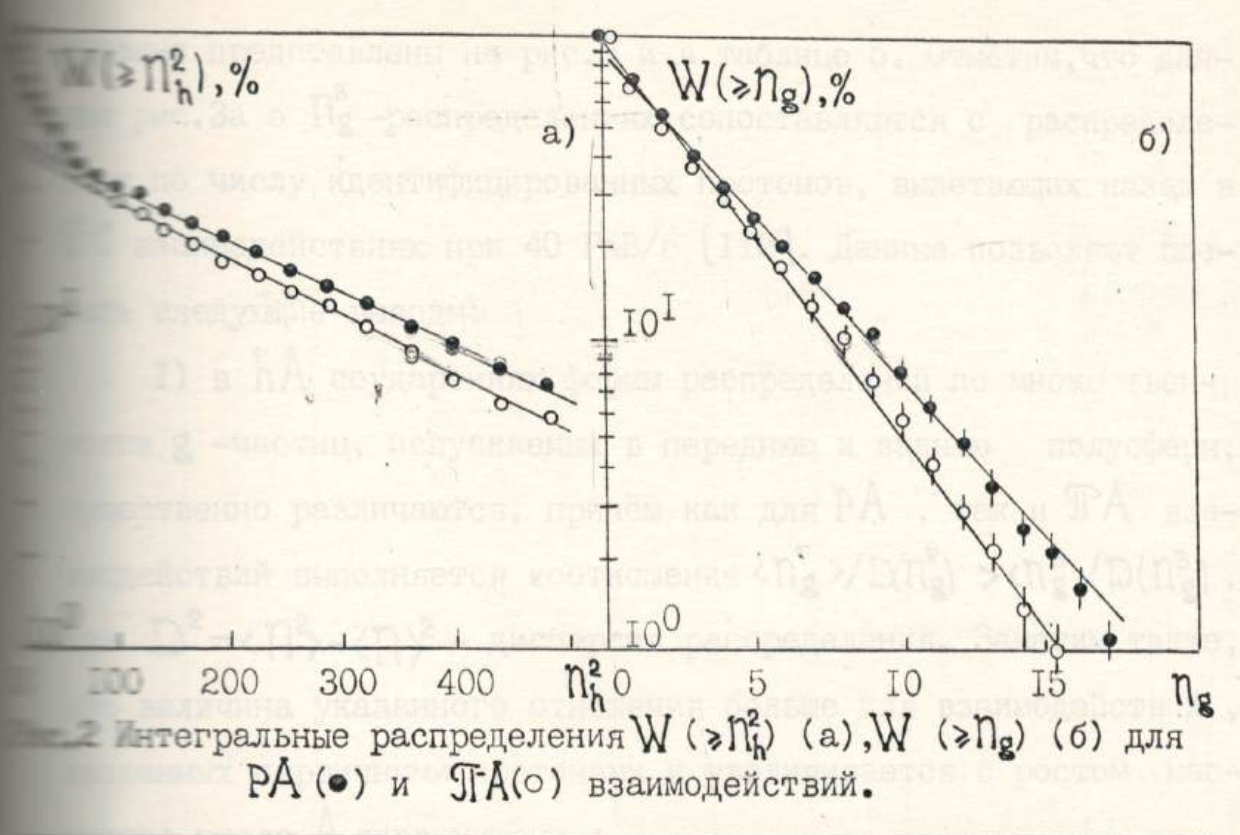
 $W(>n_g) \sim \exp(-n_g/n_o)$ (3.3)

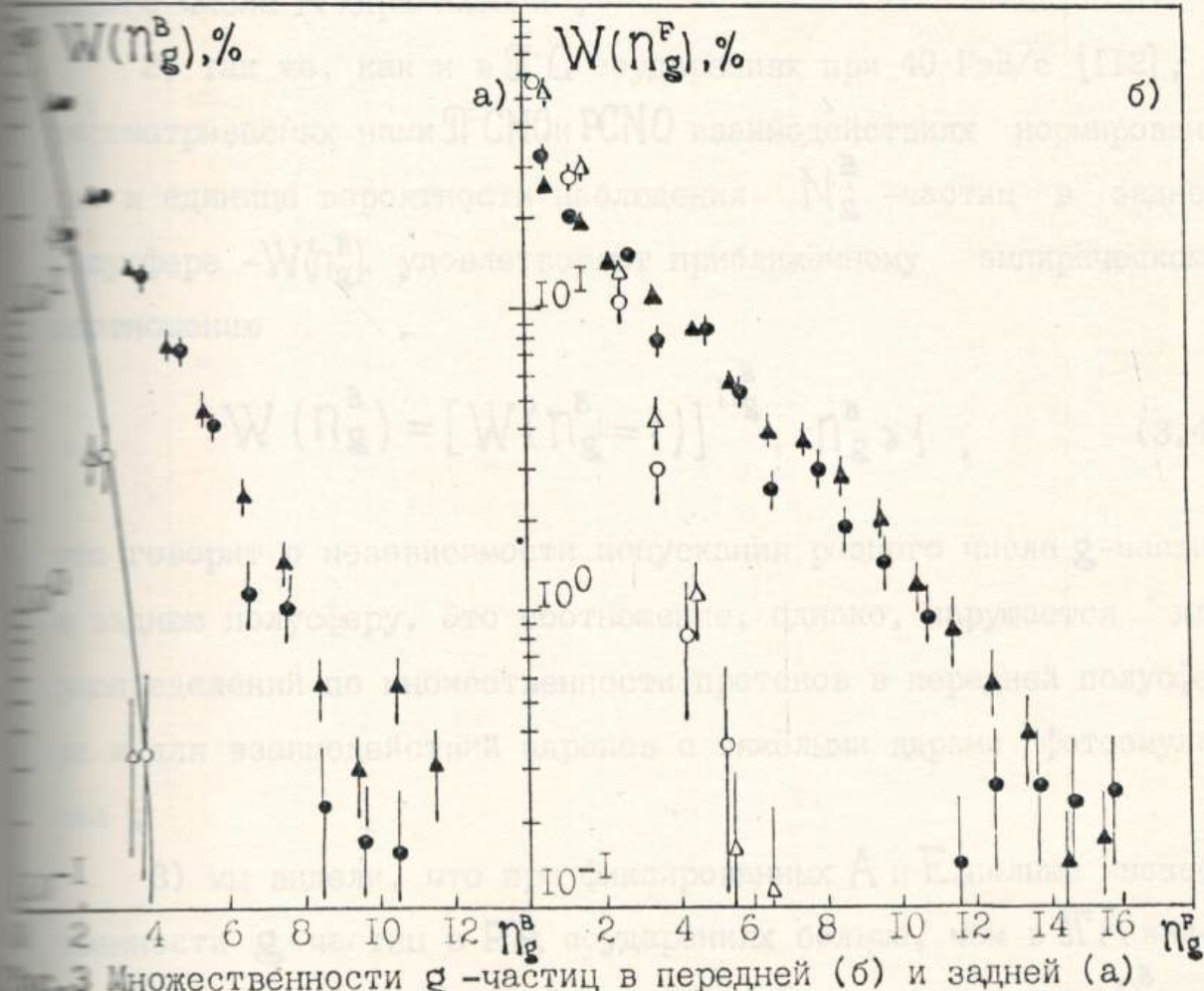
вачиная с N_g =0. Вначение N_o в (3.3) для РА и \Im -А соударений заметно различны (4.2 \pm 0.1 и 3.3 \pm 0.1 соответственно).

Таким образом и форма N_g -распределения отлична от формы спределений N_b и N_h , что, несомненно, является отражением вызличия в механизмах образования g – и b –частиц. Отметим так
, что наибольшее различие в распределениях для PA и A ваимодействий наблюдается для A –частиц – наиболее быстрых группы сильноионизующих.

I.3. Множественность g -частиц в передней и задней полусферах.

Подобно тому, как полная множественность **g** -частиц обнаживает замечательную устойчивость к изменению энергии соурения, наши данные показывают, что распределения множестенности **g** -частиц, образованных в передней и задней полусфене зависят от **E** в интервале 20-400 ГэВ (граница между пееней и задней полусферами для **g** -частиц определяется углом = \$\mathbf{T}/2\$). Поэтому мы просуммировали эти распределения для чаемых PA и \$\mathbf{T}A\$ соударений.





Множественности g -частиц в передней (б) и задней (а) полусферах. Кривая - множественности протонов из Л-С соударений при 40 ГэВ/с [108] (о, △, • и ▲ -Л-СNО, РСПО, ЛАдВг и РАдВгсоударения соответственно).

рис. За о $\Pi_{\mathbf{g}}^{\mathbf{B}}$ -распределениях сопоставляются с распределениях протонов, вылетающих назад в взаимодействиях при 40 ГэВ/с [II2]. Данные позволяют сдеследующие выводы:

- в hA соударениях формы распределений по множественшети g -частиц, испускаемых в переднюю и заднюю полусферы,
 шественно различаются, причём как для PA, так и TA взашействий выполняется соотношение ⟨Ng >/D(Ng) >⟨Ng >/D(Ng),

 D² =⟨N²>-⟨N²² дисперсия распределения. Заметим также,
 величина указанного отношения больше для взаимодействий,
 ванных первичными протонами и увеличивается с ростом масшето числа A ядра-мишени;
- 2) так же, как и в ТС соударениях при 40 ГэВ/с [II2], в сматриваемых нами ТСО РСО взаимодействиях нормирован-к единице вероятности наблюдения N_g^B -частиц в задней трефере $W(n_g^B)$, удовлетворяют приближённому эмпирическому

$$W(n_g^B) = [W(n_g^B = I)]^{n_g^B}, n_g^B \ge I,$$
 (3.4)

говорит о независимости испускания разного числа **g**-частиц заднюю полусферу. Это соотношение, однако, нарушается для пределений по множественности протонов в передней полусфедля взаимодействий адронов с тяжёлыми ядрами фотоэмуль-

3) мы видели, что при фиксированных A и E_{\circ} полные множесмности g-частиц в PA соударениях больше, чем в πA взаействиях. Данные рис.3 и таблицы 5 показывают, что n_g^B -раеделения для соударений с легкими ядрами эмульсии в преде-

в передней и задней полусферах.

Ансамбль	< ng >F	(D ^F) ²	< ng>B	(DB)2
PCNO	0.74 ± 0.02	0.91 ± 0.03	0.25 ± 0.0I	0.27 ± 0.01
PAgBr	2.75 ± 0.05	8.46 ± 0.20	I.19 ± 0.02	2.45 ± 0.06
SI-CNO	0.62 ± 0.03	0.80 ± 0.03	0.25 ± 0.02	0.28 ± 0.0I
SITA gBr	2.29 ± 0.06	7.10 ± 0.24	I.03 ± 0.03	2.06 ± 0.07

Коэффициенты асимметрии угловых распределений g - и b -частиц Таблица 6.

hA взаимодействиях.

	: As	As
PEm	33	
PCNO	55	
PAgBr	32	
ST-Em	2.23 ± 0.07	I.12 ± 0.03
SI-CNO	52	
9FAgBr	21	

ошибок эксперимента не зависят от типа налетающей части, что касается PAgBrи TAgBrвзаимодействий, здесь Ng - расределения различаются как в передней, так и задней полусфеторичём наиболее сильно это различие выражено для мновственности протонов в передней полусфере.

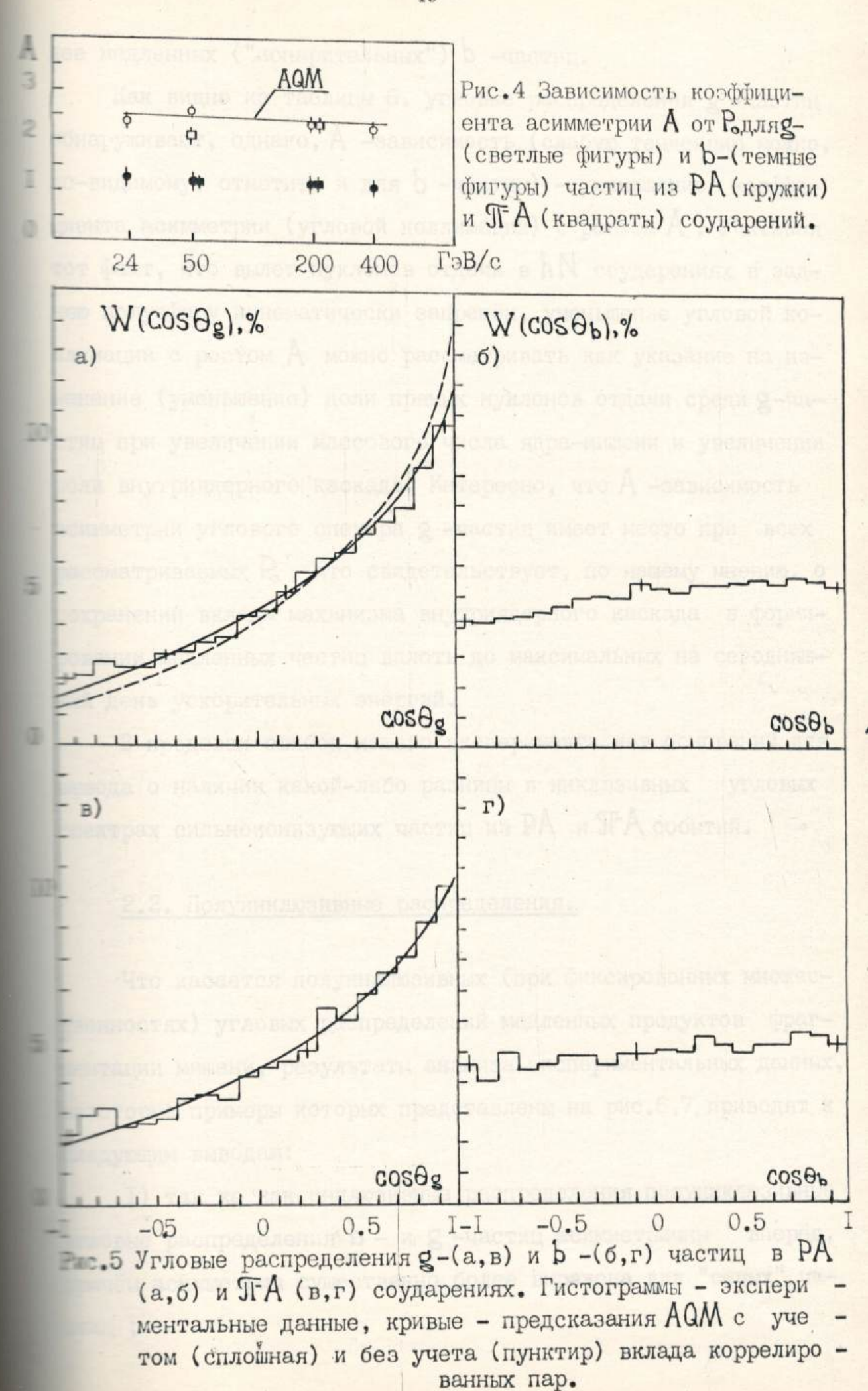
2. Угловые распределения сильноионизующих частиц.

2.1. Инклюзивные распределения.

Наиболее замечательным свойством угловых распределений живноионизующих частиц является устойчивость к изменению жергии соударения, хорошо известная из данных широкой области Е. от ~5 до ~10⁴ ГэВ [76](см. Главу I раздел I.6). Наши жиные не показывают сколько-нибудь заметного изменения формугловых распределений g - и b -частиц при всех рассматри-жемых в настоящей работе энергиях; см., для примера, рис.4, котором представлена энергетическая зависимость коэффици-жтов асимметрии

$$A = N_1 / N_2 \tag{3.5}$$

№ №2- число частиц с $\theta \ge \pi/2$) угловых распределений разтипов сильноионизующих частиц в изучаемых hA соударенипоэтому в дальнейшем мы просуммировали эти распределения РА и ПА взаимодействий.



лее медленных ("испарительных") b -частиц.

Как видно из таблицы 6, угловые распределения g -частиц обнаруживают, однако, A -зависимость (слабую тенденцию можно, по-видимому, отметить и для b -частиц) - уменьшение коэффициента асимметрии (угловой коллимации) с ростом A. Учитывая тот факт, что вылет нуклонов отдачи в hN соударениях в задного полусферу кинематически запрещён, уменьшение угловой комимации с ростом A можно рассматривать как указание на изменение (уменьшение) доли прямых нуклонов отдачи среди g-частиц при увеличении массового числа ядра-мишени и увеличении роли внутриядерного каскада. Интересно, что A -зависимость всех рассматриваемых A, что свидетельствует, по нашему мнению, о сохранении вклада механизма внутриядерного каскада в формировании медленных частиц вплоть до максимальных на сегодняшеми день ускорительных энергий.

В пределах ошибок нашего эксперимента нет оснований для вода о наличии какой-либо разницы в инклюзивных угловых тектрах сильноионизующих частиц из РА и ТА событий.

2.2. Полуинклюзивные распределения.

Что касается полуинклюзивных (при фиксированных множестенностях) угловых распределений медленных продуктов фрагтации мишени, результаты анализа экспериментальных данных, торые примеры которых представлены на рис.6,7, приводят к

так же как инклюзивные распределения, полуинклюзивные распределения b - и g -частиц асимметричны вперёд,
 так же как инклюзивные распределения, полуинклюзивные распределения b - и g -частиц асимметричны вперёд,
 так же как инклюзивные распределения, полуинклюзивные распределения вперёд,
 так же как инклюзивные распределения, полуинклюзивные распределения вперёд,
 так же как инклюзивные распределения, полуинклюзивные распределения вперёд,
 так же как инклюзивные распределения вперей,
 так же как инклюзивания вперей,
 так же как инключения вперей,
 так же как инключения вперей,
 так же как инключения вперей,
 так как как инклю

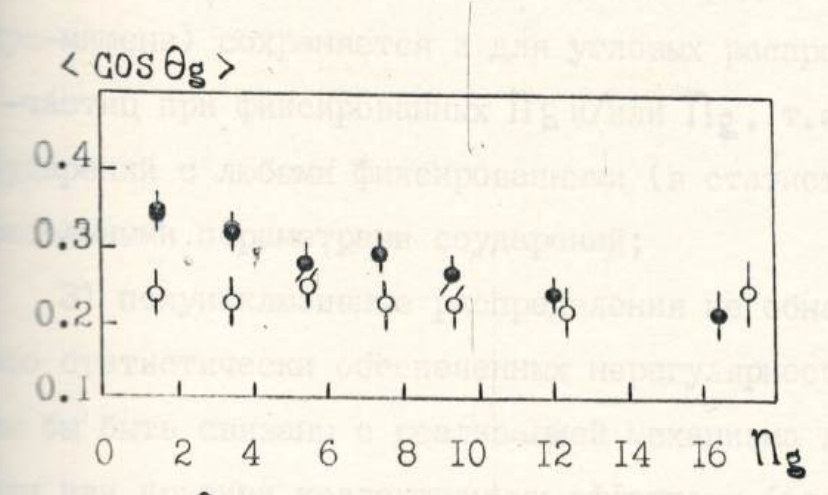


Рис.6 < СОЅОд как функция множественности д -частиц в ЛА (о) и РА (●) взаимодействиях при импульсе первичной частицы 50 ГэВ/с.

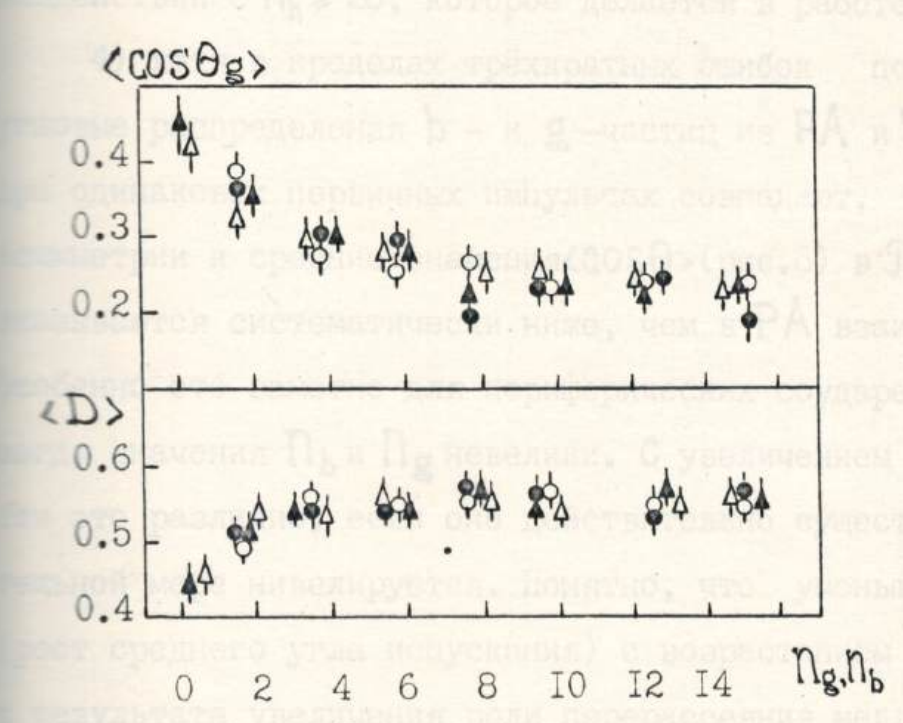


Рис.7 < COSOg>и < D> как функция множественностей g -(•,•) и b -(▲,△) частиц в РА взаимодействиях при импульсах первичной частицы 24 (•,▲) и 400(•,△) ГэВ/с.

- 2) предельное поведение инклюзивных угловых распределешій сильноионизующих частиц (явление предельной фрагментации
 пра-мишени) сохраняется и для угловых распределений b и
 з-частиц при фиксированных N b и/или Ng, т.е. в ансамблях h A
 соударений с любыми фиксированными (в статистическом смысле)
 прицельными параметрами соударений;
- 3) полуинклюзивные распределения не обнаруживают какихто статистически обеспеченных нерегулярностей, которые мото бы быть связаны с реализацией механизма ядерных ударных
 волн или другими коллективными эффектами (это, в известной
 ере, противоречит утверждению о наличии в угловом распредетении b -частиц пика в районе 90 градусов для группы hA взаодействий с \(\hat{h} \brace \gamma \gamma \rightarrow \text{которое делается в работе [II3]) ;
- 4) хотя в пределах трёхкратных ошибок полуинклюзивные товые распределения b - и g -частиц из PA и TA соударений одинаковых первичных импульсах совпадают, коэффициенты этметрии и средние значения (COSO) (рис. 6) в ЛА соударениях вазываются систематически ниже, чем в РА взаимодействиях. с ядрами, та значения Пь и Пg невелики. С увеличением множественноэто различие, если оно действительно существует, в значительной мере нивелируется. Понятно, что уменьшение (COS 0) с возрастанием Пепроисходит в результате увеличения роли перерассеяния медленных g -часв ядре. В работе [66] на экспериментальном материале по взаимодействиям с достаточно представительной статистиисследуется зависимость асимметрии (Г/В) полуинклюзивугловых распределений в РА и ЛА взаимодействиях. Привев работе данные обнаруживают более крутой спад зависти (F/B) от Пддля T-A соударений в сравнении с РА и

ваимодействиях при малых N_g . Легко убедиться, что эти дан-прямо противоположны нашим;

- 5) в пределах точности настоящего эксперимента угловые эспределения b - и g -частиц не зависят от множественностей эссоциированных релятивистских (S) частиц;
- 6) угловые распределения b-u g- -частиц существенно зажеят от множественности см. рис.7, на котором для примера
 редставлены данные об N_b-u N_g- зависимостях средних значеи дисперсий $cos\theta$ -распределения g- частиц в pA соударенипри 24 и 400 $rac{1}{2}$ Видно, что с ростом множественности $cos\theta$ гакже коэффициенты асимметрии) убывают, а дисперсии слабо
 гакже коэффициенты асимметрии) убывают, а дисперсии слабо
 растают. Интересно отметить, что обе эти зависимости навыстся очень быстро при n_b , $n_g coler 7$, т.е. при тех же
 начениях множественности, при которых происходит насыщение
 различных корреляций по множественности сильноионизующих чатиц $sole n_b coler + cole$

3. Множественности и угловые распределения в hA соудатерениях с вылетом адронов в заднюю полусферу.

Рассмотрим множественности и угловые распределения раз
ж типов заряженных частиц в соударениях с вылетом и без вы
тета адронов в заднюю полусферу в лабораторной системе коор
динат. Следует заметить, что такой отбор событий был стиму
тирован широко ведущимися исследованиями hAсоударений с об
заованием адронов в области, кинематически запрещённой для

свободного hN взаимодействия (подробнее об этом см. в сле
дующей главе) и стремлением выявить различия в их общих ха
рактеристиках.

3.1. 0 вкладе событий с вылетом и без вылета адронов "назад".

Прежде всего отметим, что, как показывают наши данные, доля hA соударений в эмульсии, сопровождающихся вылетом назад адронов в пределах ошибок опыта не зависит от энергии и типа налетающей частицы (для первичных протонов и пионов в интервале 20 – 400 ГэВ) и составляет для релятивистских и g-частиц соответственно (19.7 ± 1.5)% и (43.5 ± 2.2)% от сечений неупругого взаимодействия. Вклад таких событий, однако, существенно зависит от массового числа ядра-мишени. Так, до-частий с вылетом назад А-частиц равна (10.2 ± 2.0) % и (22.7 ± 1.8)% от Сы для hCNO и hAgBr взаимодействий, а доля событий с вылетом назад g-частиц, соответственно – (20.7 ± 2.8)% и (51.5 ± 2.6)%.

3.2. Множественности S - и g - частиц в событиях с вылетом адронов "назад".

Рассмотрим характеристики распределений по множествен
ости разных типов частиц в hA соударениях, сопровождающихвылетом g-частиц "назад". Основные экспериментальные да
представлены на рис.8,9,10 и в таблице?. В таблице?

речислены значения с в параметризации (n; > A d, для сред
множественностей S - и g -частиц, полученные из данных

hCNO и hAgbr соударениям при всех рассматриваемых E, дан
о средних значениях и стандартах Ns-распределений в ис
едуемых hA соударениях с вылетом и без вылета g - частиц

зад показаны на рис.8 в виде зависимости D(ns). На рис.9

едставлены, как пример, данные о зависимости (Ns) от числа

-частиц в задней полусфере для PAgbr соударений и, наконец,

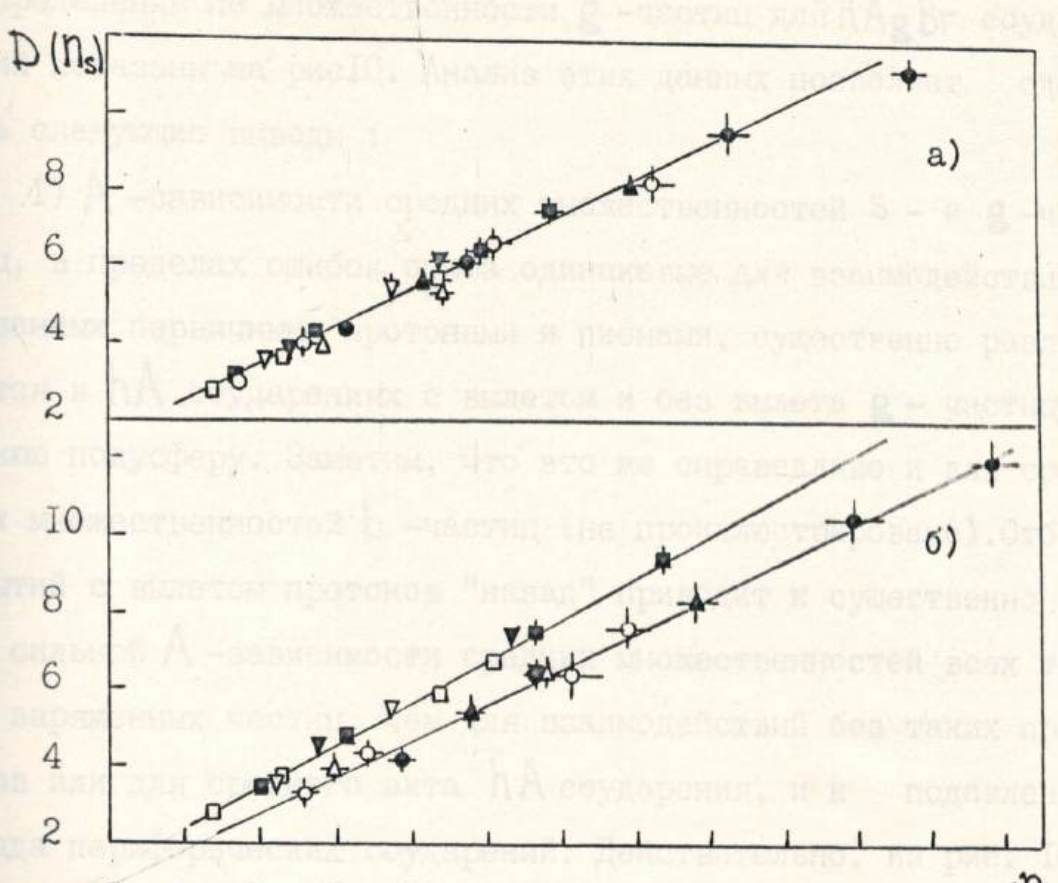


Рис.8 D(Ns) как функция ⟨Ns⟩для событий с вылетом и без вылета g (а) и S (б) частиц "назад".Прямые— аппроксимации экспериментальных данных. Точки о, •, △ и ▲ относятся к PCNO, PAgBr, TCNO и TAgBr соударениям с вылетом и □, ■, ▽, ▼ - к таким же соударениям без вылета g, S - частиц "назад".

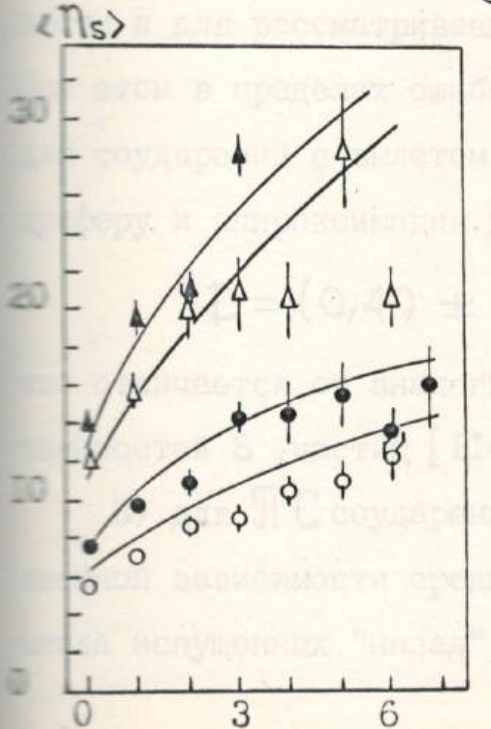


Рис.9

Зависимость ⟨N_s⟩ от числа g — частиц в задней полусфере для PÅgBr соударений при 24(0),50 (•), 200(△) и 400(△) ГэВ/с. Кривые линии-предсказания АQМ.

епределения по множественности g -частиц для hAgBr соударений показаны на рис10. Анализ этих данных позволяет сдеследующие выводы :

- 1) А -зависимости средних множественностей S и g чатщ, в пределах ошибок опыта одинаковые для взаимодействий,
 ванных первичными протонами и пионами, существенно разлится в hA соударениях с вылетом и без вылета g частиц в
 нюю полусферу. Заметим, что это же справедливо и для срем множественностей b частиц (не проиллюстрировано). Отбор
 тий с вылетом протонов "назад" приводит к существенно босильной A зависимости средних множественностей всех тизаряженных частиц, чем для взаимодействий без таких провов или для среднего акта hA соударения, и к подавлению
 подавлению что в таких взаимодействиях вклад событий с малыми
 чениями полной множественности g частиц оказывается резподавленным. При этом также подавляется вклад с мальми Пь;
- 2) так же как и в средних актах hA соударений стандар-— n_s -распределений линейно зависят от средней множествен -— и для рассматриваемых нами взаимодействий (см. рис.8). — этом в пределах ошибок опыта эта зависимость одинакова — соударений с вылетом и без вылета g -частиц в заднюю по-— еру и аппроксимация дает

 $D = (0.49 \pm 0.01) \langle N_s \rangle + (0.59 \pm 0.09), (3.6)$

отличается от аналогичной зависимости для полных множестенностей S -частиц [II4];

3) для ПС соударений при 40 ГэВ/с не отмечалось сущесшенной зависимости средних множественностей П[±]- мезонов от шела испущенных "назад" протонов [II2]. Для более тяжёлых тер-мишеней, как видно из рис.9, во всей области рассматривеных энергий наблюдаются положительные корреляции между редней множественностью S-частиц и множественностью g-пров задней полусфере.

Перейдём теперь к распределениям множественностей в дарениях с вылетом "назад" релятивистских частиц. Экспешентальные данные, некоторые примеры которых представлены рис.86 и II показывают, что :

- такой существенной разницы в А -зависимостях средних рественностей b и g -частиц, как обсуждалось выше, для не тий с вылетом и без вылета S -частиц "назад" не наблюда-тем. Тем не менее, из А -зависимостей ⟨ №) (см. таблицу 3 моты [115]) и данных рис. П следует, что отбор взаимодейтий с вылетом "назад" релятивистских частиц также ведёт к вылению периферических соударений, хотя и не столь эффектому, как отбор взаимодействий с вылетом "назад" g -частиц;
- 2) рассматриваемые взаимодействия также, по видимому, вероят к линейной зависимости **D** от (\hat{\bar{N}}_S). Аппроксимация рис.86 линейными функциями показывает, что эти зависти, вероятно, различны для соударений с вылетом и без "назад" S -частиц

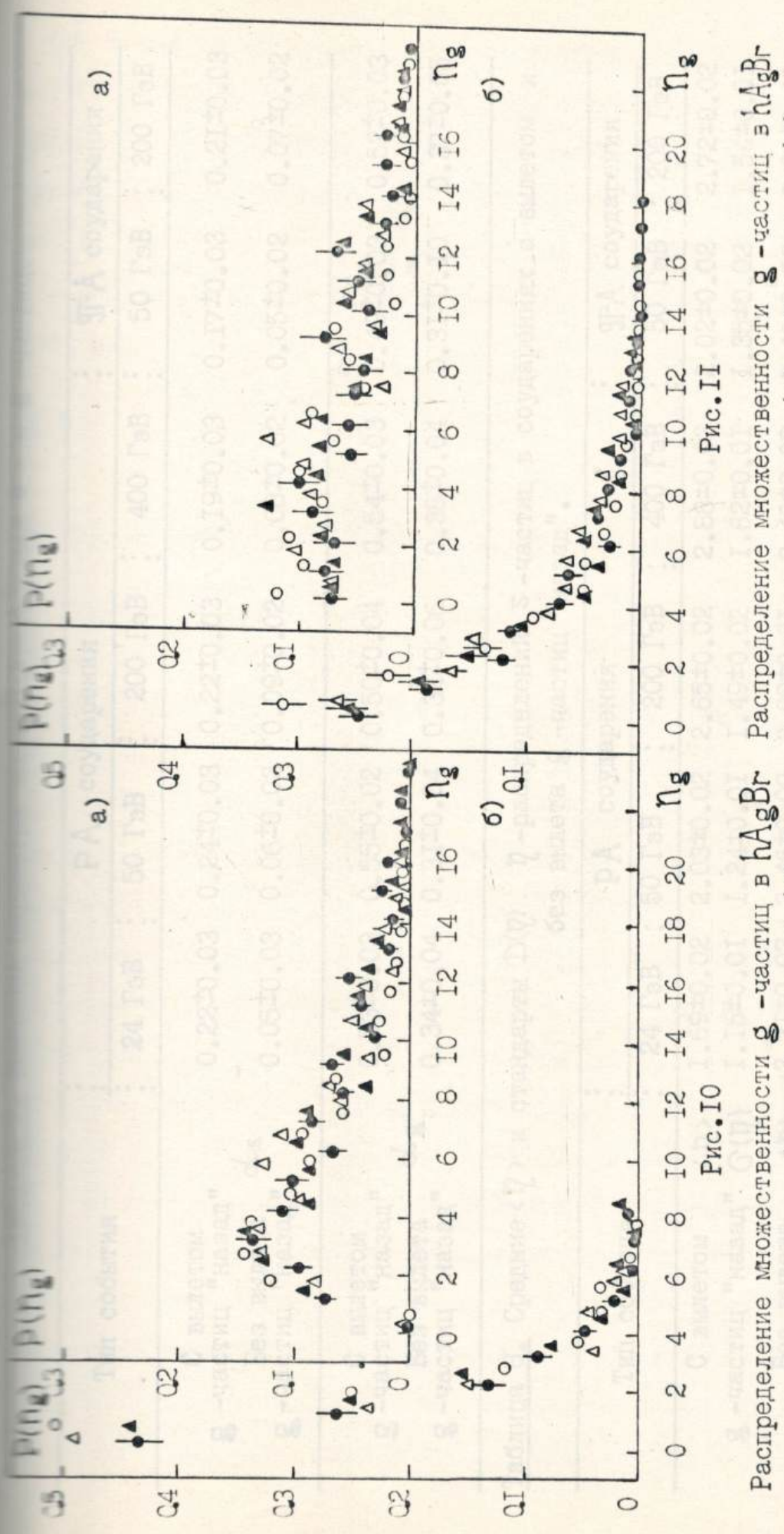
$$D = (0.22 \pm 0.24) + (0.49 \pm 0.02) \langle \eta_s \rangle$$
 (a) (3.7)

$$D = (0.28 \pm 0.10) + (0.55 \pm 0.01) \langle N_s \rangle (6)$$

тответственно.

3.3. Угловые распределения в событиях с вылетом адронов "назад".

Для того, чтобы выяснить, как различаются угловые расределения релятивистских частиц в hA соударениях с вылетом



стиц "назад". Обозначения: • (o) и ▲ (Δ) относятся лятивистских частиц "назад". Обозначения такие к РА (¶-А) соударениям при 50 и 200 ГэВ/с. соударениях с вылетом (а) и без вылета (б) g -ча- соударениях с вылетом (а) и без вылета (б) ре-

	3
	H
	9
	0
	=
	27
	30
	w
	=
	-
7	ø.
	_
	2
	3
	7
L	
-	
G	e
	-
	2
	s
ı	_
я	-
	w.
	-
	π
	5
	×
	-
	₽.
	2
	8
	乬
	9
	重
	-
	-
	Ξ
	=
	=
	-
	-
	Ξ
	IN H
	SHEAM
	OHBH
	E. OHBH
	Ex OHRH
	L'a DHAH
	A ZA OHRH
	UR ZA OHRH
	HIR Z. SHRH
	AHLIA ZA OHRA
	DAHLIA 724, OH
	ACCHURA Z. SHAN
Washington of Barrery	DAHLIA 724, OH
Washington of Barnery	DAHLIA 724, OH

The posternia		РА соударения	дарения		ЭГ-А соударения	царения
тип сообтин	24 F3B	50 L ₃ B	50 LaB : 200 LaB	: 400 LaB	€ 50 LaB	50 LaB : 200 LaB
С вылетом "назад",	0.22±0.03	0.24±0.03	0.24±0.03 0.22±0.03	0.19±0.03	0.19±0.03 0.17±0.03	0.21±0.03
Вез вылета ск	0.05±0.03	0.06±0.02	0.06±0.02 0.09±0.02	0.08±0.02	0.05±0.02	0.07±0.02
С вылетом д-частиц "назад"	0.53±0.03	0.55±0.02	0.55±0.02 0.50±0.04	0.54±0.03	0.49±0.03	0.52±0.03
Вез вылета об в -частиц "назад"	0.34±0.04	0.31±0.04	0.31±0.04 0.32±0.06	0.38±0.04	0.31±0.10	0.37±0.05

Таблица 8. Средние $\langle \gamma \rangle$ и стандарты $D(\eta)$ η -распределений s -частиц в соударениях с вылетом и без вылета g -частиц "назад".

That continue	50 I	B I	рА соударения	царения		. П.А соударения	дарения
THE COOPING		24 L ₃ B	50 LaB	200 LaB	400 LaB	50 PB	50 lab 200 lab
Свылетом	<47	I.69±0.02	2.03±0.02	2.65±0.02	2.88±0.02	2.02±0.02	2.72±0.02
g - पबटमाप "मबउब्रम" (S(n))	0(प)	I.15±0.0I	I.24±0.0I	I.49±0.02	I.62±0.0I	I.35±0.02	I.54±0.0I
Без вылета	(4)	2.21±0.02	2.46±0.02	3.09±0.0I	3.43±0.02	2,46±0,03	3.23±0.02
8-частиц "назад" С(η) I.25±0.02	0(1)0	I.25±0.02	I.32±0.0I	I.52±0.02	I.66±0.0I	I.49±0.02	I.56±0.0I

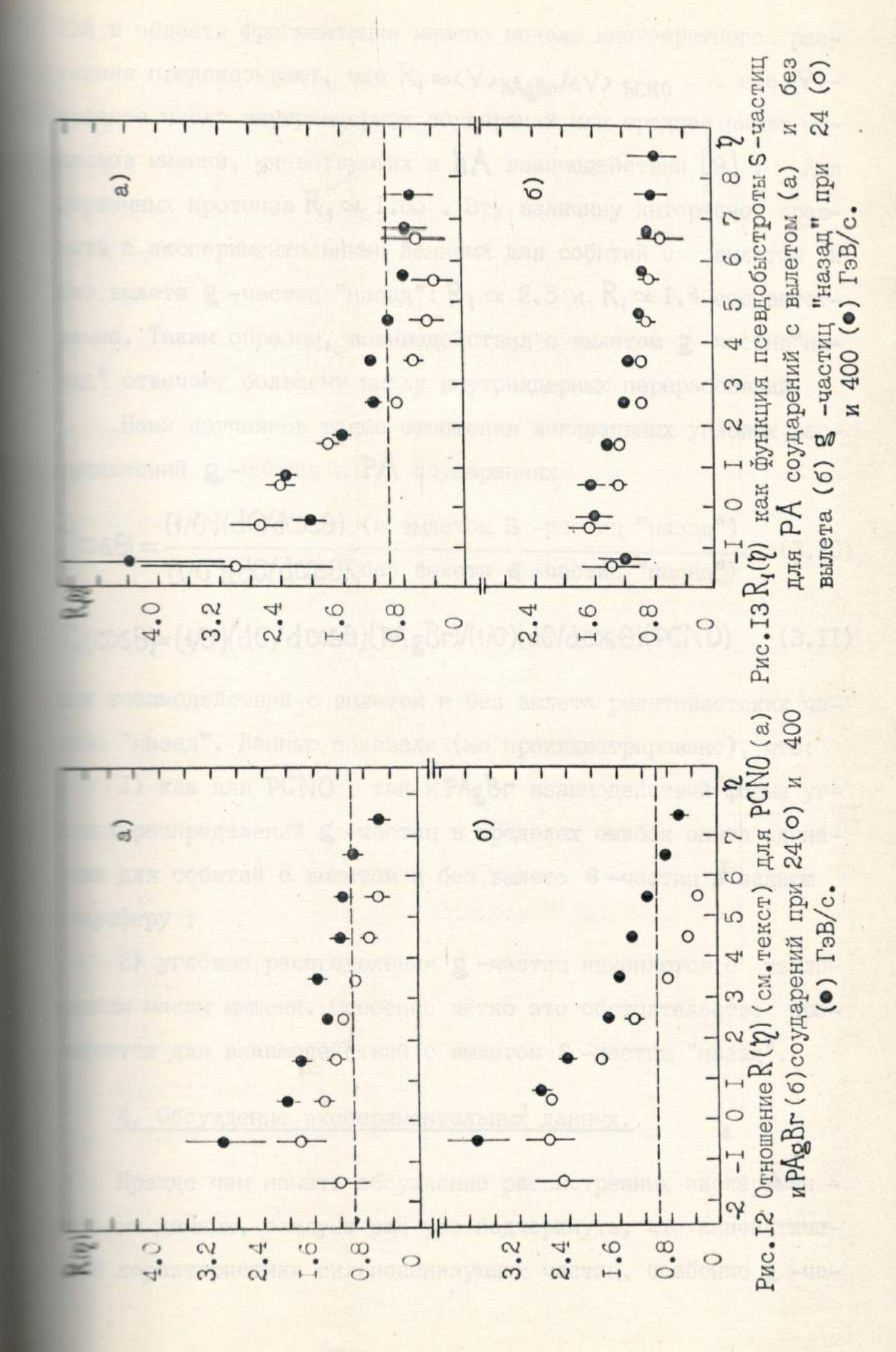
те. 12, 13. В таблице 8 представлены средние значения и станраты распределений по псевдобыстроте релятивистских частица взаимодействий протонов и пионов с ядрами эмульсии, а на грание. 12, 13 в качестве примера показаны отношения инклюзивных граспределений для PCNO и PAgBr соударений при 24 и 400 вида

$$R(\eta) = \frac{(4/0)(d0/d\eta)}{(4/0)(d0/d\eta)}$$
 (c вылетом g -частиц "назад") (3.8)

$$R_{1}(\eta) = (1/0) dG/d\eta (PAgBr)/(1/0) dG/d\eta (PCNO)$$
 (3.9)

событий с вылетом и без вылета g-частиц в заднюю полуверу. Видно, что :

- 1) средние значения γ -распределений в h А соударениях влетом g -частиц "назад" смещены к малым значениям γ по внению с таковыми для событий, не сопровождающихся g -частически в задней полусфере. Дисперсии распределений при этом в задней полусфере. Интересно отметить, что в предесмибок опыта величина сдвига центров γ -спектров γ , завается независящей ни от энергии соударения, ни от типа вычной частицы. Сдвиг γ -распределений ведёт к тому, что чина отношения γ имеет существенную γ -зависимость : в тому фрагментации снаряда γ (см. рис.12) :
- 2) так же как для среднего акта hA взаимодействия, в классах рассматриваемых нами соударений угловые рассмения S -частиц изменяются с ростом массового числа яденени таким образом, что величина $R_1(\gamma)$ увеличивается в области фрагментации мишени и уменьшается в области фрагменсти фрагментации мишени и уменьшается в области фрагменсти снаряда. Известно, что для средних актов hA соударе-



ний в области фрагментации мишени модели многократного рассеяния предсказывают, что $R_1 \approx \langle Y \rangle_h A_g B_r / \langle Y \rangle_h cno$, где $\langle Y \rangle_h cno$, гд

Нами изучались также отношения инклюзивных угловых растеделений g-частиц в PA соударениях

$$(1/C)(dC/dCOS\theta)$$
 (с вылетом **S** -частиц "назад") (3.10)

- взаимодействий с вылетом и без вылета релятивистских ча-"назад". Данные показали (не проиллюстрировано), что:
- I) как для PCNO, так и PAgBr взаимодействий форма уграспределений g -частиц в пределах ошибок опыта одинадля событий с вылетом и без вылета S -частиц в заднюю терру;
- 2) угловые распределения g -частиц изменяются с увелимассы мишени. Особенно чётко это обстоятельство протется для взаимодействий с вылетом S -частиц "назад".

4. Обсуждение экспериментальных данных.

Прежде чем начать обсуждение рассмотренных эксперимен шьек данных, следует ещё раз подчеркнуть, что кинематичежарактеристики сильноионизующих частиц, особенно g -чатиц, оказываются [126] довольно критичными к различным модельдопущениям о механизме их образования. Наиболее интересными чесь представляются вопросы о вкладе и характере развивающетося в результате hA соударения низкоэнергетического каскада вкладе короткодействующих корреляций между внутриядерными

Во многих работах (см., например, [9, 127-129]) для того, побы описать множественности д -частиц и связать их с числами внутриядерных перерассеяний падающей частицы использова то феноменологическая модель, согласно которой g-частицы обтся в результате внутрияцерных перерассеяний нуклонов отвыбитых снарядом; вкладом внутриядерных взаимодействий тенных частиц в этих работах пренебрегалось. Хотя такой попозволяет с помощью небольшого числа параметров описать с точностью Пе -распределения и их А-зависимости, он ваяется не только слишком грубым, но и не отражает действитыных механизмов образования этих частиц в 🗚 взаимодейсттаком убедиться в этом, необходимо рассмотреть в таком таких для проведения д -частиц. Для проведения таких жетов нами использовалась*) хорошо разработанная в количестенном отношении модель внутриядерных каскадов [76] и исслевымось, как ферми-движение внутриядерных нуклонов и процессы ерассеяния нуклонов, выбитых адроном-снарядом, отражаются 🔤 угловых распределениях g -частиц. Результаты расчётов моть суммированы следующим образом:

ферми-движение внутриядерных нуклонов слабо сказыва на угловых распределениях протонов, выбиваемых адроном-

жы благодарны С.М.Елисееву за помощь при проведении этих расчетов.

нарядом, и лишь ~15% таких протонов оказываются испущенными зад в лабораторной системе отсчета (Л.С.) (коэффициент асимтрии углового распределения F/B = 5.75 для PA соударений в.

- 2) учет внутриядерных перерассеяний нуклонов в дополнение тректам ферму-движения приводит к существенному смягчению совтояния, однако, это-смягчения оказывается недостаточно, чтобы описать экспери-смягчения оказывается даёт для g-частиц в PA соударениях змульсии F/B = 3.1, в то время как экспериментальное знашие F/B = 2.3 ± 0.2;
- 3) средняя множественность g -частиц в расчете оказываетравной $\langle n_g \rangle_{\text{MCCL}} \simeq 1.3$, что существенно меньше экспериментального $\langle n_g \rangle_{\text{MCCL}} \simeq \langle n_g \rangle_{$

Таким образом, мы убеждаемся, что для воспроизведения дапростейших характеристик **g**-частиц в **h** взаимодействиях нетодимо учитывать и другие механизмы их образования, в части, внутриядерные взаимодействия рождённых частиц и, верояткороткодействующие эффекты Франкфурта-Стрикмана [II7, II8].

этих механизмов в множественность **g**-частиц, как мы видезыве, должен быть отнюдь не мал и сравним с вкладом перерас-

сеяний нуклонов отдачи.

Обсудим теперь результаты*, полученые в рамках того варианта AQM (см. Главу I), в которой эффективно учитывались все эти механизмы образования g-частиц. Отметим, что из условия описания экспериментальных данных по общим характеристикам hA взаимодействий, авторы модели предполагали [90], что в 40% случаев внутриядерные взаимодействия происходят с коррелированной парой нуклонов. Хотя априори это число представляется чрезмерно большим, надо иметь в виду, что в модели не рассматриванись некоторые известные механизмы (например, поглощение пионов парой нуклонов), вклад которых эффективно отождествлялся с вкладом парных корреляций.

Начнём со средних множественностей **g** -частиц, теоретичесжие значения которых содержатся в таблицах 9,10 (в скобках приредены значения, полученные при пренебрежении вкладом короткодействующих корреляций):

I) видно, что в рассматриваемой модели короткодействующие сорреляции внутриядерных нуклонов играют существенную роль и значительный вклад в ⟨ \(\bar{\mathbb{N}}_{\mathbb{Q}}\)⟩. Они дают также большой вклад \(\alpha \in \text{10 %}\)) и в множественность релятивистских частиц. Эффективный вклад коррелированных пар в модели возрастает с энергисоударения и массой ядра-мишени. Так, вклад малонуклонных кореляций в ⟨ \(\bar{\mathbb{N}}_{\mathbb{Q}}\)⟩ и ⟨ \(\bar{\mathbb{N}}_{\mathbb{Q}}\)⟩ в РСПО (РАврг) соударениях соответственно составляет 20(27)% и 29(45)% для Р₀ = 24 ГэВ/с и 3I(36)%

Мы благодарны одному из авторов этой модели Б.Б.Левченко за предоставление ансамблей h A взаимодействий, разыгранных по модели. При сравнении с данными мы точно учитывали все критерии отбора и ограничения, присущие нашему материалу.

Таблица 9. Средние значения < Пв> и < Пд> в AQM

Dan Cal	. Рсио соударения.	соударения разри соударения	PEMCO	Р ст соударения
2/761 6 0	< ng >	<na>< na><</na>	< ns >	< Dg/>
24	I.2I (0.94)	3,69 (2,50)	7.45 (7.01)	3.09 (2.15)
20	1.01	3.81	9.39	3.16
200	1.24	4.21	I4.I	3.51
400	I.12 (0.78)	4.61 (2.72)	17.2 (15.6)	3.80 (2.26)

B AQM Средние множественности и дисперсии Π_{g-}^F , Π_{g-}^B -распределений Таблица 10.

ГэВ/	raB/c, hA	Y	< n° >	er sc	<u>"</u> Q	~	«NB»	HEOD HEO.	DB
24	,PCN0	0.97	0.97 (0.77)	I.I8	1.18 (1.03)	0.24	0.24 (0.17)	0.63	0.63 (0.42)
400	PCN0	0.84	0.84 (0.58)	1.16	I.I6 (0.94)	0.28	0.28 (0.20)	0.56	0.56 (0.51)
24	, PAgBr	2.58	58 (1.88)	3.19	3.19 (2.51)	I.IO	I.IO (0.6I)	1.76	1.76 (1.17)
400	PAGBr.	3.15	3.15 (2.03)	4.27	4.27 (2.88)	1.46	I.46 (0.69)	2.29	2.29 (1.22

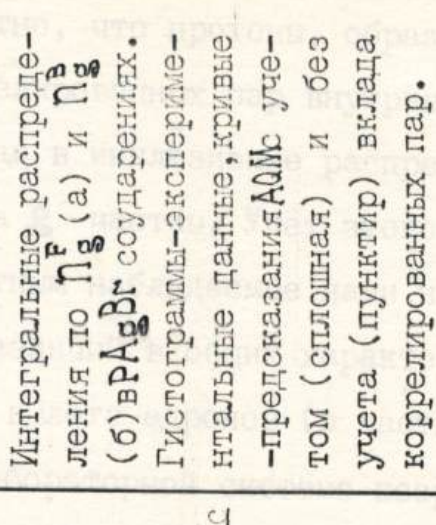
и 29(53)% для Р = 400 ГэВ/с;

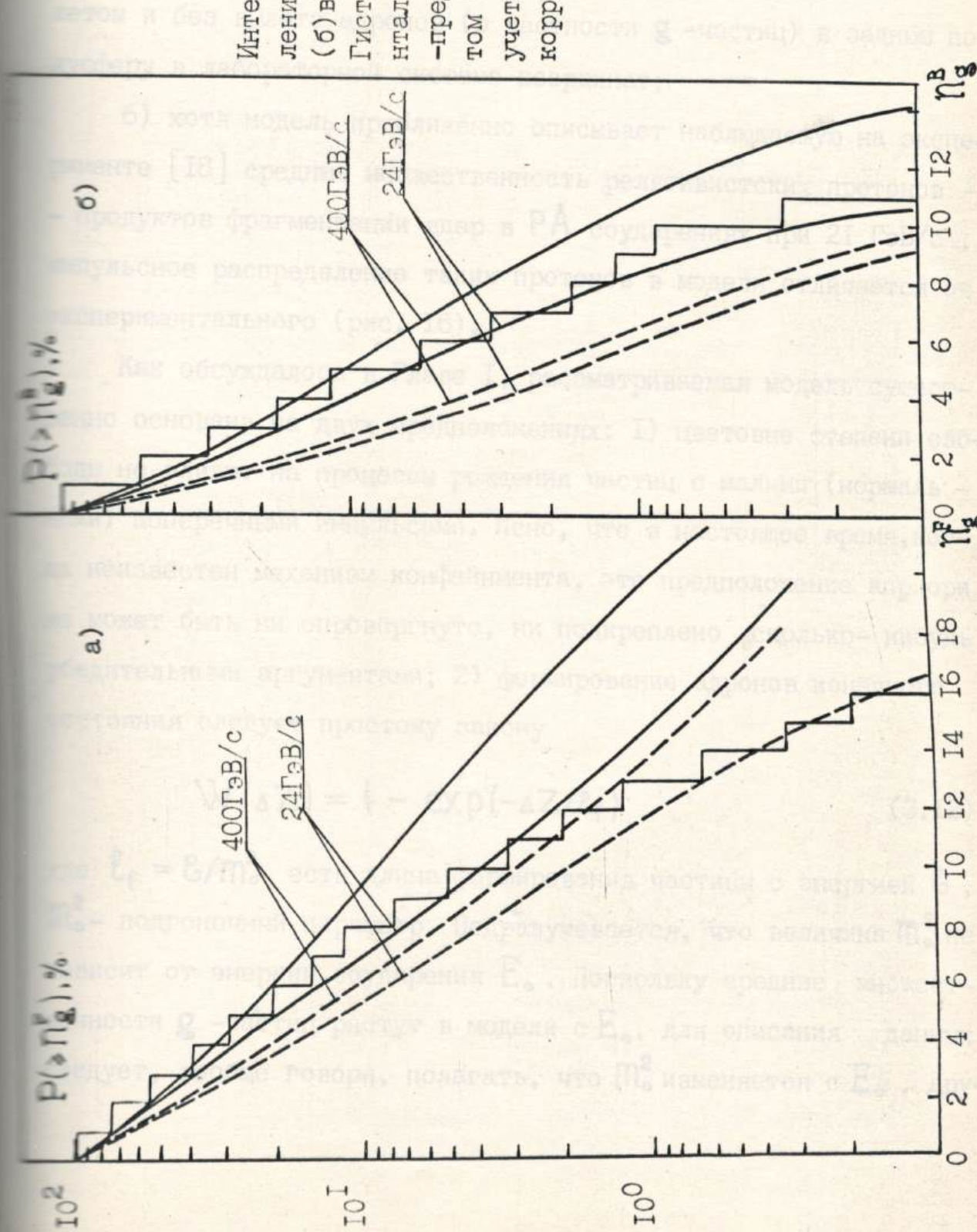
- 2) наиболее примечательной особенностью модели является то, что $\langle n_g \rangle$ существенно возрастает с E_o (на 20% в интервале 24-400 ГэВ), что противоречит экспериментальным данным. Этот рост обусловлен, в основном, событиями на тяжелых ядрах эмульсии;
- 3) рост $\langle n_g \rangle$ примерно в равной степени наблюдается для g частиц, испускаемых как в переднюю, так и в заднюю полусферу в лабораторной системе координат. Надо при этом подчеркнуть, что дисперсии n_g^F и n_g^B -распределений в модели для соударений с тяжёлыми ядрами эмульсии, особенно при достаточно больших E_o , оказываются существенно большими, чем наблюдаются на эксперименте (ср. таблицы 5 и 10).

Из сопоставления данных по распределениям множественности различных типов вторичных частиц и их угловых распределений с предсказаниями модели (см. примеры на рис.4,5,9,14) можно сделать следующие выводы:

- 4) модель правильно отражает основные качественные особенвости распределений по множественности S -частиц (не проиллюстворовано) и корреляции множественностей (Ns(Ng)) (рис. 9), в то время как на характеристиках Ng -распределений существенным обвом сказываются отмеченные выше расхождения между экспериментальными и модельными значениями (Ng);
- 5) "инклюзивные" угловые распределения g -частиц в целом зеплохо описываются моделью. В частности, она качественно востроизводит наблюдаемые на опыте изменения угловых распределений g-частиц при переходе от легких к тяжёлым ядрам эмульсии(рис. 15) земаловажную роль для воспроизведения угловых распределений g-частиц в модели играет вклад протонов из коррелированных пар рис. 5). Кстати, здесь интересно отметить следующее обстоятель-







етво. Известно, что протоны, образованные в результате "разрушения" коррелированных пар внутриядерных нуклонов, дают значительный вклад в инклюзивные распределения при любых значениях углов вылета **g** -частиц. Учёт этого обстоятельства, по-видимому, пелает понятным наблюдаемое нами на опыте отсутствие каких-лироваких различий в общих характеристиках ha соударений с вытетом и без вылета адронов (в частности **g** -частиц) в заднюю потусферу в лабораторной системе координат;

6) хотя модель приближённо описывает наблюдаемую на эксперименте [18] среднюю множественность релятивистских протонов - продуктов фрагментации ядер в РА соударениях при 21 ГэВ/с, импульсное распределение таких протонов в модели отличается от экспериментального (рис. 16).

Как обсуждалось в Главе I, рассматриваемая модель существенно основана на двух предположениях: I) цветовые степени свободы не влияют на процессы рождения частиц с малыми (нормаль – ми) поперечными импульсами. Ясно, что в настоящее время, когнеизвестен механизм конфайнмента, это предположение априори может быть ни опровергнуто, ни подкреплено сколько- нибудь бедительными аргументами; 2) формирование адронов конечного

$$W(\Delta Z) = 1 - \exp(-\Delta Z/\ell_f)$$
 (3.12)

 $\ell_f = \ell_f m_o^2$ есть длина формирования частицы с энергией ℓ_f , подгоночный параметр. Подразумевается, что величина $\ell_f m_o^2$ не висит от энергии соударения $\ell_f m_o^2$. Поскольку средние множестности $\ell_f m_o^2$ частиц растут в модели с $\ell_f m_o^2$ для описания данных влует, вообще говоря, полагать, что $\ell_f m_o^2$ изменяется с $\ell_f m_o^2$ изменяется с $\ell_f m_o^2$ изменяется с $\ell_f m_o^2$ на $\ell_f m_o^2$ изменяется с $\ell_f m_o^2$ измен

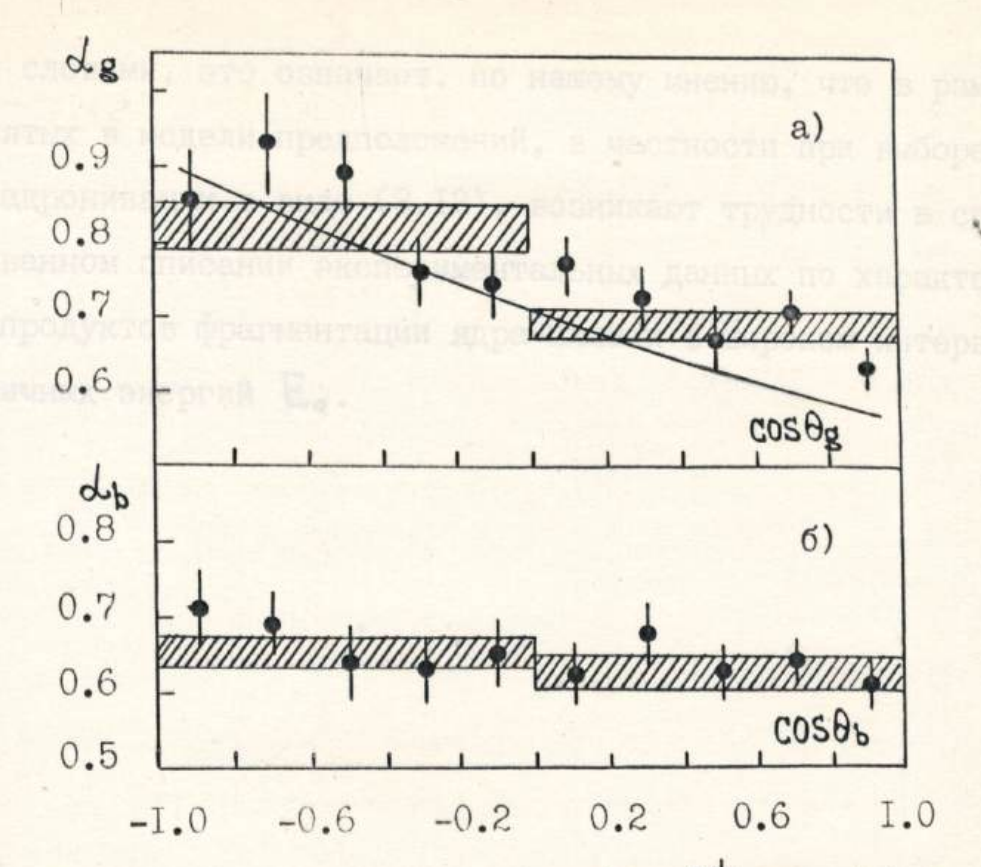


Рис. I5 Значения параметра & в (П) ~ А для (а) g - и (б) b - частиц в зависимости от направления их вылета.

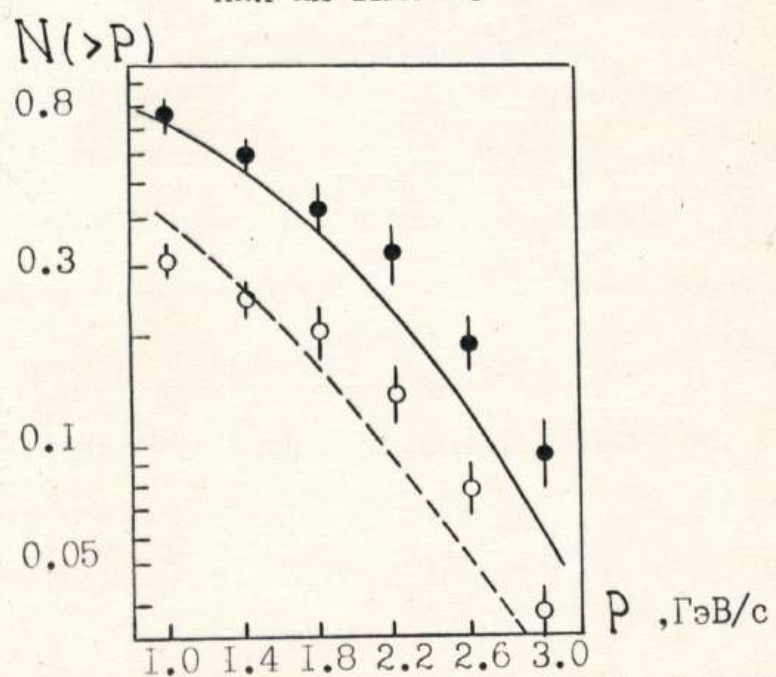


Рис. 16 Интегральные импульсные распределения релятивистских протонов, летящих назад в системе центра масс РN столкновения, для РN (•) и РА (•) взаимодействий при 2I ГэВ/с и предсказания АОМ с учетом (сплошная) и без учета (пунктир) короткодействующих корреляций в ядре.

гими словами, это означает, по нашему мнению, что в рамках принятых в модели предположений, в частности при выборе функции адронизации в виде (3.12), возникают трудности в самосогласованном описании экспериментальных данных по характеристикам продуктов фрагментации ядра-мишени в широком интервале первичных энергий E_{\bullet} .

BERNARD & DEPENDENCE (1) 1 Manual of 10

таку сложного перситностного характере взаимодействий сил-

от с интрои-менения, полненияму процессия финтуации, а во

менять их осредовнется "немосткой" статносиненкой іт.е. не

- применятими зависимостью, напрожен подходении опесобом

PROPERTY TRICKS ROLLES AND HOLLES CONTROL SERVICES ROSECTIONS

тематической статистики метод линейног осероссий.

 $4 \text{ Pe}_{C} = \Omega_{ij} + b_{ij} \Omega_{j}, (e, j = F, B), (4)$

Tropes yourseplantment netteners set their representationed and

зависимоски хатылся козфанией кольенияй; если распре-

прине принему честин вперед и набар представанет дос

egnicially a management a president

со С(Dr. Па)- поперенное сеченое роздения Печастив в пере-

a Transparent a second disavelence is Co. - second version

A STATE OF THE PARTY OF THE PAR

resource production and re catalogue actualist and

R = tcn=ns = <n=xn=xi/denational

пов D'(h), T'(h)- вконерози ссответскиумых разпролеве-

то межественности. Земетны, что переметр неменя в пр

(4.2) просто ставан с колболицион кортилиции

$b_{rs} = d(cn_{r})/dn_{r} = \frac{\Gamma J \Lambda B \Lambda 4}{\kappa (n_{r})} \frac{1}{\rho(n_{r})/\rho(n_{r})}$

ФЛУКТУАЦИИ МНОЖЕСТВЕННОСТЕЙ СИЛЬНОИОНИЗУЮЩИХ И РЕЛЯТИ-ВИСТСКИХ ЧАСТИЦ В ПЕРЕДНЕЙ И ЗАДНЕЙ ПОЛУСФЕРАХ.

І. О методе изучения длиннодействующих корреляций.

Множественности N_s , N_g , N_h , N_h а также соответствующие величины в передней (N_i^F) и задней (N_i^B) полусферах ввиду сложного вероятностного характера взаимодействия снаряда с ядром-мишенью, подвержены процессам флуктуаций, а взамосвязь их определяется "нежёсткой" статистической (т.е. не ункциональной) зависимостью. Наиболее подходящим способом взучения таких корреляционных связей является известный из математической статистики метод линейных регрессий,

$$\langle n_i \rangle = \alpha_{ij} + b_{ij} n_j, (i,j = F,B), (4.1)$$

в котором универсальным показателем силы корреляционной взавнозависимости является коэффициент корреляций: если распределение по числу частиц вперёд и назад представляет собой двумерную дискретную функцию

$$P(n_F, n_B) = O(n_F, n_B)/O_{in}$$
 (4.2)

тде $G(n_F, n_B)$ поперечное сечение рождения n_F частиц в передней и n_B частиц в задней полусферах, а n_B полное неупрусое сечение взаимодействия, то определяемая величина выгляцит следующим образом

$$R = (\langle n_F n_B \rangle - \langle n_F \rangle \langle n_B \rangle) / D(n_F) D(n_B)$$
 (4.3)

адесь $D^2(n_F)$, $D^2(n_B)$ – дисперсии соответствующих распределений по множественности. Заметим, что параметр наклона в выражении (4.2) просто связан с коэффициентом корреляции

$$b_{FB} = d(\langle n_F \rangle)/dn_B = R(n_F, n_B) \cdot D(n_F)/D(n_B)$$
 (4.4)

R может быть интерпретирован на языке корреляционных функций (1.8a):

$$\int_{Y_{min}}^{o} dy_{2} \int_{o}^{Y_{max}} C_{2}(y_{1}, y_{2}) dy_{1} = \langle N_{F} N_{B} \rangle - \langle N_{F} \rangle \langle N_{B} \rangle, \quad (4.5)$$

где Y_{min} , Y_{max} — минимальное и максимальное значения быстроты в системе центра масс. Если корреляции носят чисто короткодействующий характер, то интеграл (4.5) асимптотически стремится к постоянному значению. В совокупности с эмпирическим фактом роста величин $D(N_F)$, $D(N_B)$ с P_0 , последнее означало бы, что P_0 — о при P_0 —

Кроме того, мы будем использовать величины

a)
$$A = \langle n_F n_B \rangle / \langle n_F \rangle \langle n_B \rangle$$
 6) $B = \langle n_F^2 \rangle + \langle n_B^2 \rangle / \langle n_F n_B \rangle$, (4.6)

которые, в случае выполнения гипотезы предельной фрагменташи, предполагающей [II6] отсутствие корреляций между продуктами фрагментации сталкивающихся частиц с ростом P_{o} , должны удовлетворять условиям $A \longrightarrow I$ и B >> I.

2. Корреляции "вперёд-назад" для сильноионизующих частиц.

Динамические длиннодействующие корреляции между множественностями медленных продуктов фрагментации ядра-мишени в hA взаимодействиях в передней и в задней полусферах (FBMC) огут возникнуть, например, в рамках механизма малонуклонных торреляций Франкфурта и Стрикмана [117,118], когда в ядре повъляется заметное число конфигураций с несколькими нуклонами относительно малых расстояниях (\(\bar{N}\) -нуклонные корреляции).

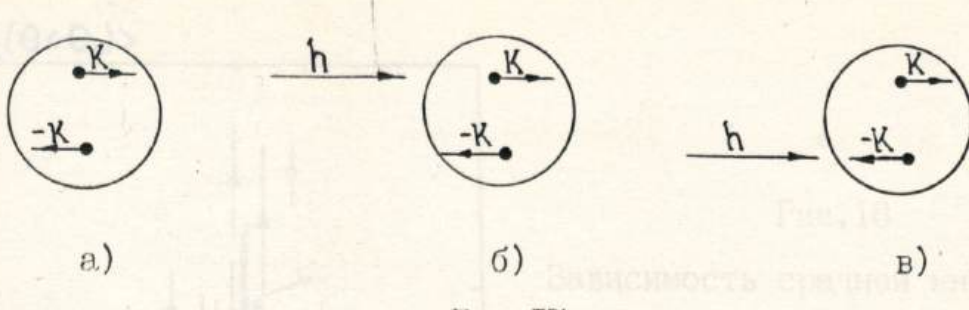
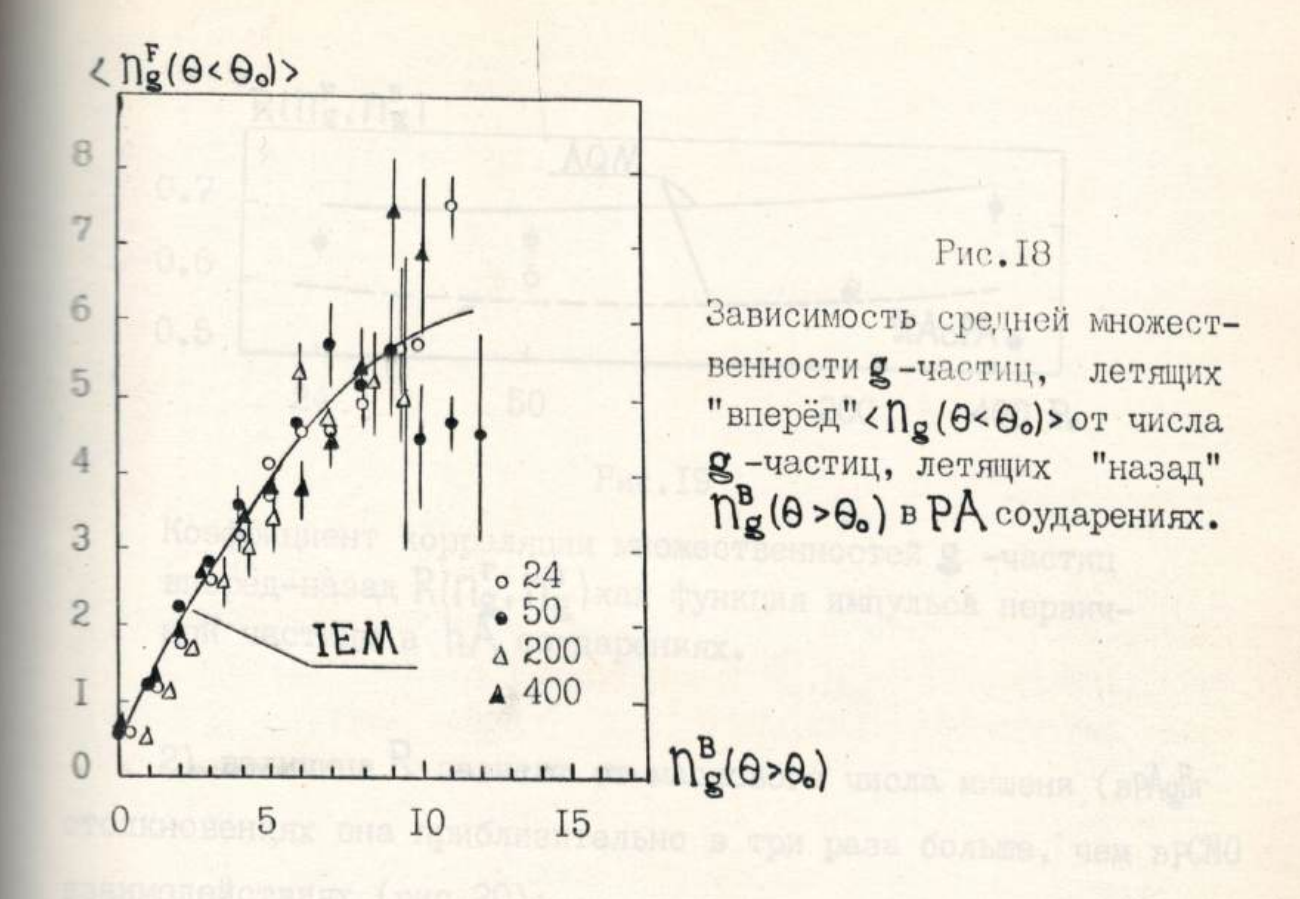


Рис. 17

таторный (в) механизмы образования кумулятивных нуклонов в А взаимодействии.

жено наглядно изобразить следующим образом - см. рис. I7a. Такое графическое представление указывает на сильно коррели рованную пару близкорасположенных нуклонов с большими импульсами. Разрыв этой связи можно произвести двумя различными путями: рассеять первичный адрон на нуклоне с импульсом, параллельным или антипараллельным импульсу снаряда (соответственно, спектаторный (рис. 17б) и неспектаторный (рис. 17в) механизмы). В последнем случае освободившийся нуклон вылетает вперёд, нуклон, испытавший взаимодействие (при условии малости полученной продольной передачи импульса) может вылететь в исслетуемую кумулятивную заднюю область. Интересно отметить, что относительный вклад этих процессов в полном сечении изменяется с ростом энергии: при небольшой энергии доминируют процессы с малыми передачами, поэтому вклады от спектаторного и неспектаторного механизмов сравнимы по величине, а при высоких энергиях, из-за подавленности квазиупругих процессов, вклад последнего уменьшается. Что касается сечения от процесса бивания "вдогонку", то обсуждённые выше подавление и корреляция между импульсами спектатора и полной множественностью процесса отсутствуют.

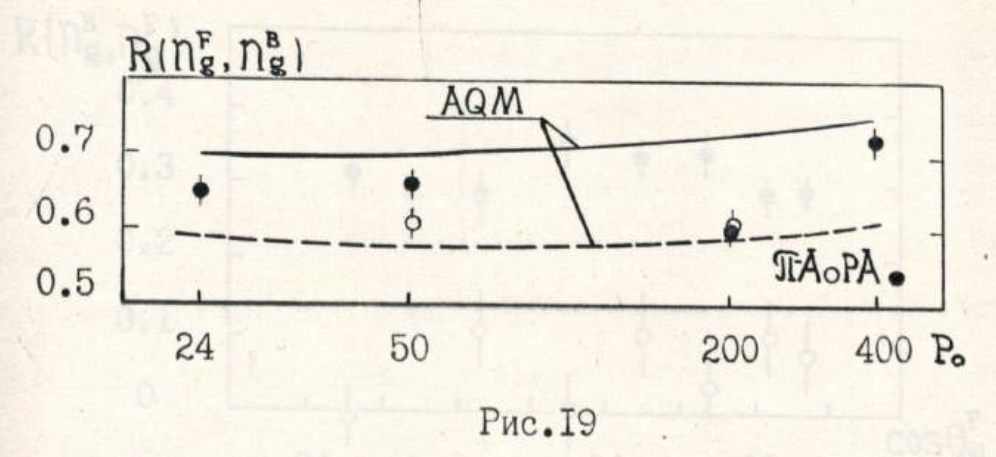


На рис. 18 изображена зависимость средней множественности ((\$\begin{align*} \begin{align*} \be

$$\langle n_F \rangle \Big|_{n_B = \text{const}} = \frac{\sum_{n \ge n_B} P(n) \left(\frac{1}{2}\right)^n \binom{n_B}{n} (n - n_B)}{\sum_{n \ge n_B} P(n) \left(\frac{1}{2}\right)^n \binom{n_B}{n}}$$
(4.7)

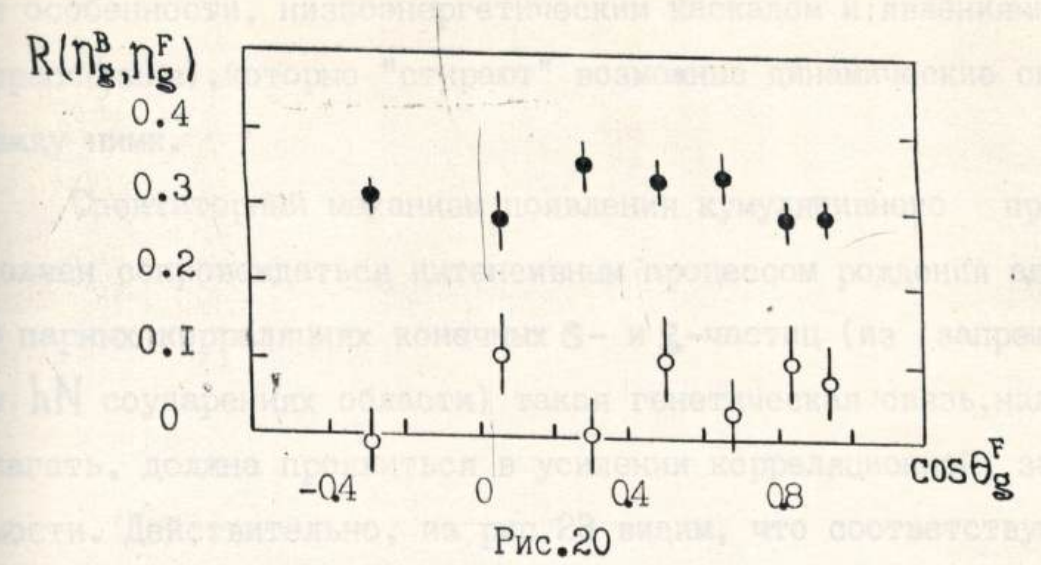
где P(n) – распределение по полной множественности n_g g-частиц, то, оказывается, что IEM прекрасно описывает данные, представленные на рис. 18, которые обнаруживают следующее поведение:

I) FBM корреляции g-частиц в hA соударениях существенно положительны (R > 0) и независимы от первичной энергии(рис. I9);



Коэффициент корреляции множественностей g -частиц вперёд-назад $R(n_g^F, n_g^B)$ как функция импульса первичной частицы в hA соударениях.

- 2) величина R зависит от массового числа мишени (врАдвг столкновениях она приблизительно в три раза больше, чем врСNО взаимодействиях (рис.20);
- 3) если определить < \$\bar{n}\$ \ как среднюю множественность \$\bar{g}\$ протонов, испущенных в кинематически запрещённую в \$\bar{n}\$ \ столнивениях область −1.0 < \$\cos\theta < −0.5\$ и рассматривать её зависиность от числа частиц в различных интервалах \$\alpha_i < \cos\theta_i\$ \, \$\bar{t}\$, оказывается, что "сила" корреляций (величина \$\bar{R}\$) существенно зависит от выбора границ \$\alpha_i\$, \$\bar{b}_i\$, т.е. от размера интервалов по \$\cos\theta\$ (рис.21). Однако, важно, что в случае, если интервалы \$\alpha_i < \cos\theta < \bar{b}_i\$ содержат равные множественности \$\bar{g}\$ застиц, то величина \$\bar{R}\$ перестаёт зависеть от угла испускания (рис.22). Это, по-видимому, означает, что механизм, приводяний к образованию протонов конечного состояния в \$\bar{h}\$ взаимонействиях (даже в задней полусфере!) не может быть сведён тонько к тем малонуклонным (парным) корреляциям, которые расстривались в работах [117,118] , т.е. появление \$\bar{g}\$ —частиц обътловлено как прямым выбиванием, так и вторичными процессами



Зависимость коэффициента корреляции множественности g-частиц "назад" (-I.0 \leq COS $\theta_g^B \leq$ -0.5) $R(n_g^B, n_g^F)$ от направления вылета g-частиц "вперед" $cos\theta_g^F$ в $PCNO(\circ)$ и в PAgBr (•) соударениях при энергии 24 ГэВ.

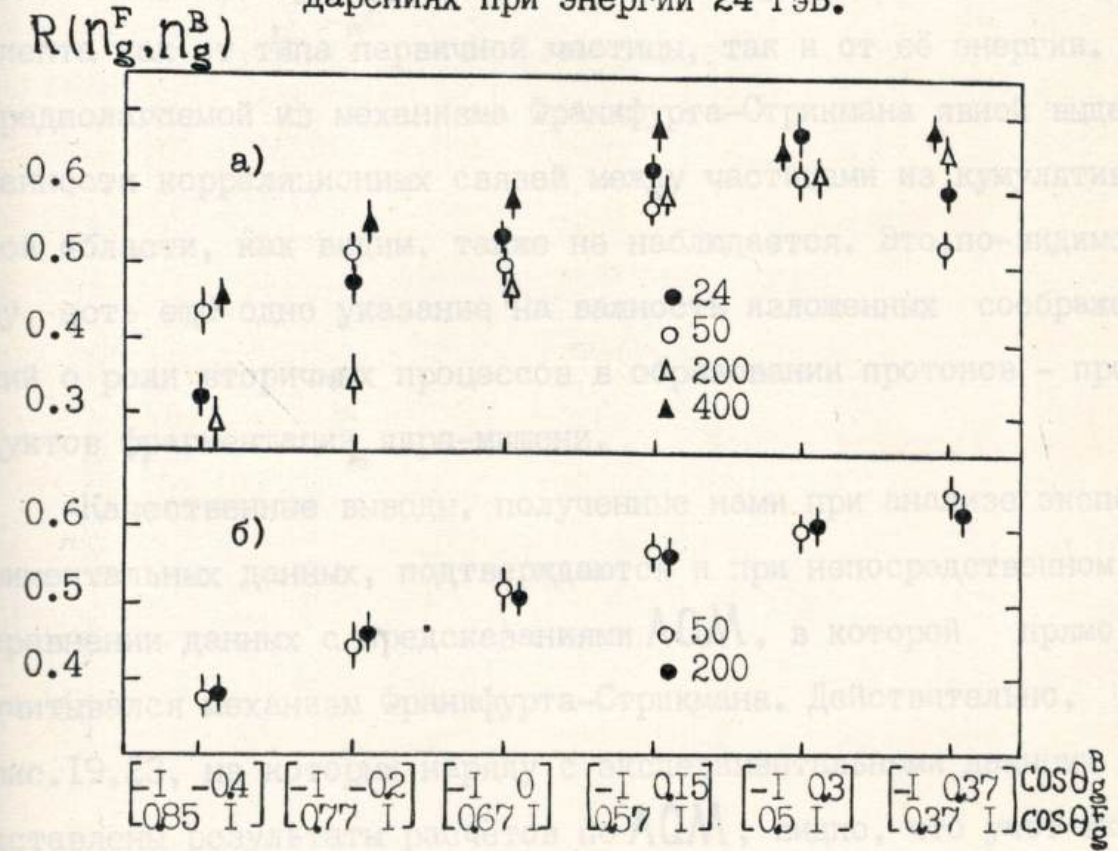
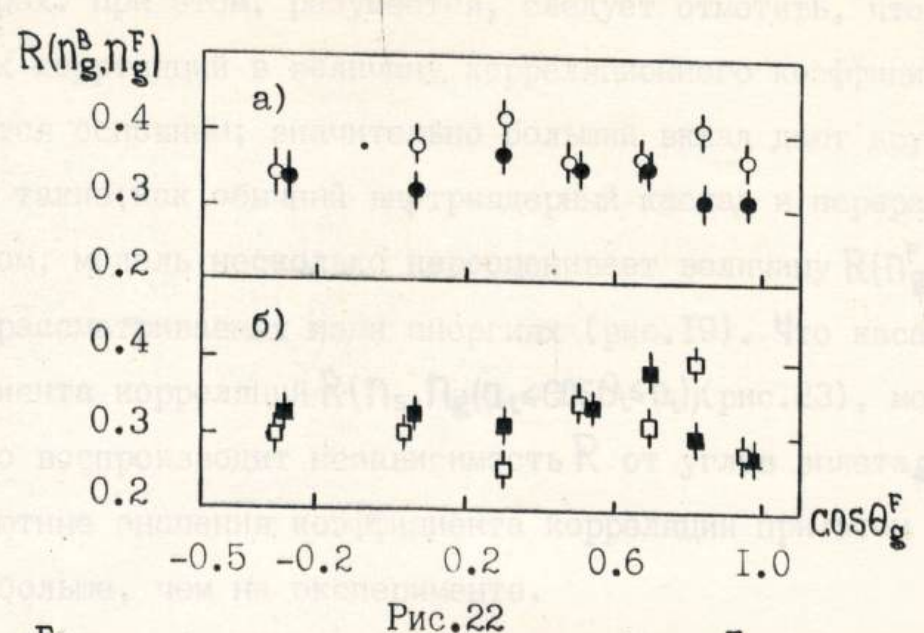


Рис.2І Коэффициент корреляции $R(N_g^F, N_g^B)$ в зависимости от выбора границ $[Q_i, b_i]$ (см. текст) для g –частиц, летящих "вперед" и "назад" в PA (а) и TA (б) взаимодействиях.

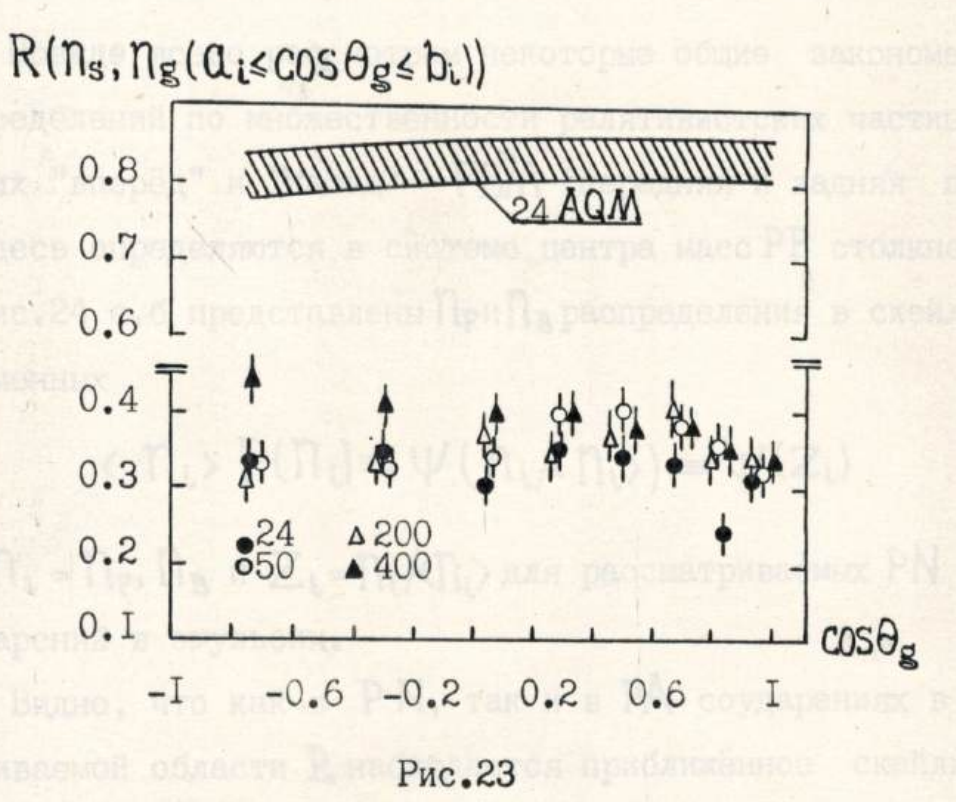
(в особенности, низкоэнергетическим каскадом и явлениями перерассеяния), которые "стирают" возможные динамические связи между ними.

Спектаторный механизм появления кумулятивного должен сопровождаться интенсивным процессом рождения адронов. В парных корреляциях конечных 5- и д-частиц (из запрещённой в hN соударениях области) такая генетическая связь, надо подагать, должна проявиться в усилении корреляционной мости. Действительно, из рис. 23 видим, что соответствующий корреляционный коэффициент при всех значениях первичной энергии существенно положителен. Кроме того, видно, что в пределах ошибок опыта отсутствует зависимость корреляционного коэффипиента как от типа первичной частицы, так и от её энергии. Предполагаемой из механизма Франкфурта-Стрикмана явной выдеденности корреляционных связей между частицами из кумулятивной области, как видим, также не наблюдается. Это, по-видимому, есть ещё одно указание на важность изложенных соображений о роли вторичных процессов в образовании протонов - продуктов фрагментации ядра-мишени.

Качественные выводы, полученные нами при анализе экспериментальных данных, подтверждаются и при непосредственном сравнении данных с предсказаниями AQM, в которой прямо учитывался механизм Франкфурта-Стрикмана. Действительно, из рис. 19,23, на которых наряду с экспериментальными данными представлены результаты расчётов по AQM, видно, что учет вклада парных корреляций в механизм фрагментации ядра-мишени в AQC соударениях большой энергии приводит к увеличению корреляционного коэффициента, характеризующего корреляции между мномественностями g-частиц, образованных в передней и задней по-



 $R(n_g^B, n_g^F)$ для g –частиц "назад" ($-1.0 \le COS\theta_g^F \le -0.5$) как функция направления вылета g –частиц вперед $C_i \le COS\theta_g^F \le b_i$, когда интервалы [-1.0, -0.5] и $[C_i, b_i]$ содержат равные множественности g –частиц (в PA (а) и TA(б) соударениях).



R(n_s, n_g(q_i < cosθ_g < b_i) как функция со sθ_g в PA соударениях. Интервалы [α_i, b_i] содержат равные множественности g-частиц.

треферах. При этом, разумеется, следует отметить, что вклад гарных корреляций в величину корреляционного коэффициента не вляется основным; значительно больший вклад дают другие прины, такие, как обычный внутриядерный каскад и перерассеяния. В целом, модель несколько переоценивает величину $R(N_g^F, N_g^B)$ при всех рассматриваемых нами энергиях (рис.19). Что касается коеффициента корреляций $R(N_s,N_g(\alpha_i \leq \cos\theta_i \leq b_i))$ (рис.23), модель правильно воспроизводит независимость R от углов вылета величи; вбсолютные значения коэффициента корреляции при этом оказыватся больше, чем на эксперименте.

3.I. Распределения по множественности в передней и задней полусферах.

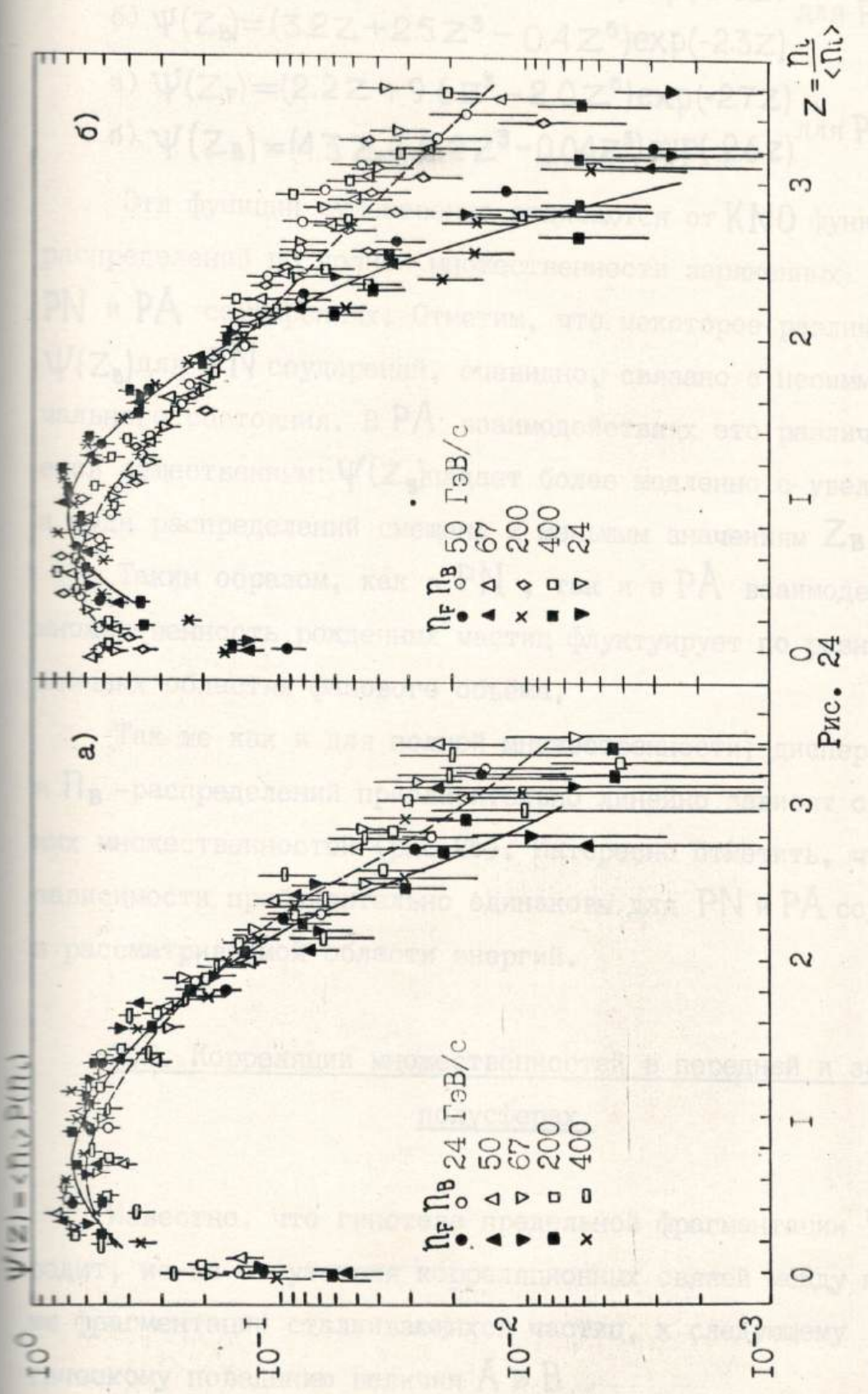
Прежде всего рассмотрим некоторые общие закономерности распределений по множественности релятивистских частиц, вылетающих "вперёд" и "назад" - FBM (передняя и задняя полусферы здесь определяются в системе центра масс PP столкновения). На рис.24 а, б представлены \bigcap_{F} и \bigcap_{B} распределения в скейлинговых переменных

$$\langle n_i \rangle P(n_i) \equiv \psi(n_i/\langle n_i \rangle) \equiv \psi(Z_i)$$
 (4.8)

где $N_i = N_F$, N_B и $Z_i = N_i / N_i >$ для рассматриваемых РИ и РА соударений в эмульсии.

Видно, что как в Р N, так и в РА соударениях в рассматриваемой области Р наблюдается приближённое скейлинговое поведение для распределений по множественности частиц, рождённых в передней и задней полусферах.

Аппроксимация данных К N О функцией в предложенном Слете-



Распределение по множественности заряженных частиц, рожденных в передней и задней в и РА (6) взаимодействий. Кривые представляют собой функции (4.9) и (4.10)текста для системе центра масс РР соударения полусферах, в скейлинговых переменных для РМ (а) $\Pi_{\mathbf{F}}$ (сплошные кривые) и $\Pi_{\mathbf{B}}$ (пунктирные кривые) распределений.

ри [40] виде даёт

a) $\Psi(Z_{A}) = (3.1Z + 3.9Z^{3} - 0.9Z^{5}) \exp(-2.3Z)$ f) $\Psi(Z_{B}) = (3.2Z + 2.5Z^{3} - 0.4Z^{5}) \exp(-2.3Z)$ $\mu_{AAA} PN$, (4.9)

a) $\Psi(Z_F) = (2.2Z + 9.6Z^3 - 2.0Z^5) \exp(-2.7Z)$ 6) $\Psi(Z_B) = (4.3 Z + 2.2 Z^3 - 0.04 Z^5) \exp(-2.6 Z)^{3.119} PA, (4.10)$

Эти функции существенно отличаются от К NO функций для распределений по полной множественности заряженных частиц в PN и PA соударениях. Отметим, что некоторое различие $\psi(Z_r)$ и √(Z_в)для PN соударений, очевидно, связано с несимметрией назального состояния. В РА взаимодействиях это различие является существенным: $\Psi(Z_{\mathtt{B}})$ падает более медленно с увеличением $Z_{\mathtt{B}}$ мода распределений смещена к меньшим значениям Z_в.

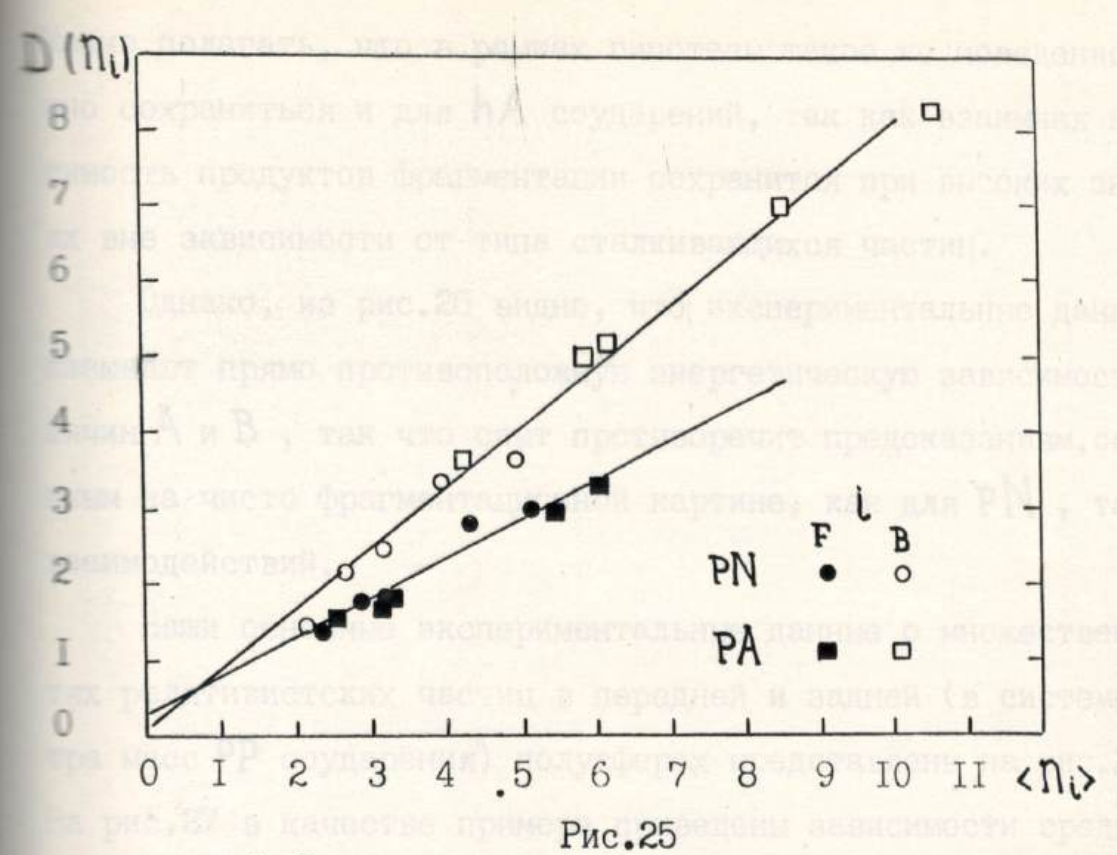
Таким образом, как в РМ, так и в РА взаимодействиях множественность рожденных частиц флуктуирует по разному в различных областях фазового объёма.

Так же как и для полной множественности, дисперсии Пр- Пв -распределений приблизительно линейно зависят от средмножественностей (рис.25). Интересно отметить, что эти зависимости приблизительно одинаковы для PN и PA соударений в рассматриваемой области энергий.

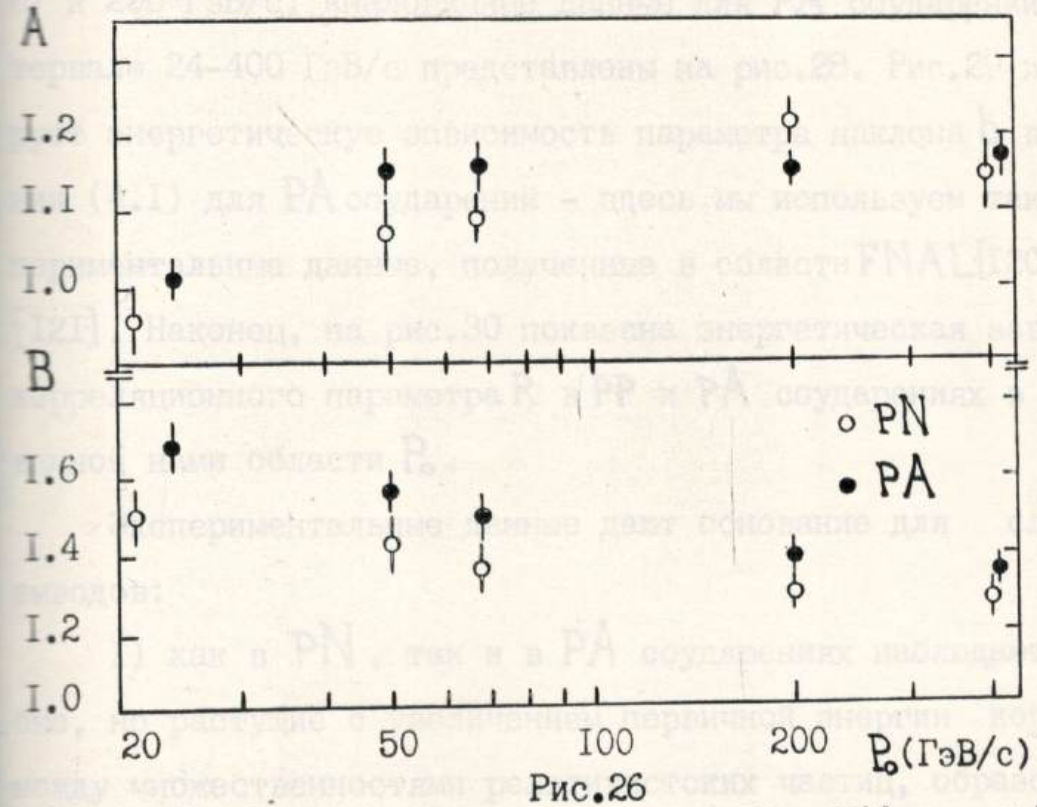
3.2. Корреляции множественностей в передней и задней полусферах.

Известно, что гипотеза предельной фрагментации [II6] приводит, из-за отсутствия корреляционных связей между продукта-💌 фрагментации сталкивающихся частиц, к следующему асимптотическому поведению величин А и В

> A-1. В» і при Р. -- ∞ (4.II)



тандарты $D(N^F)$, $D(N^B)$ N^F , N^B -распределений как тункции средних значений $\langle N^F \rangle$, $\langle N^B \rangle$ в PN и PA соударениях. Прямые линии проведены "на глаз".



Величины А и В (см. текст) как функции Р, в РN (о) и РА (•) соударениях.

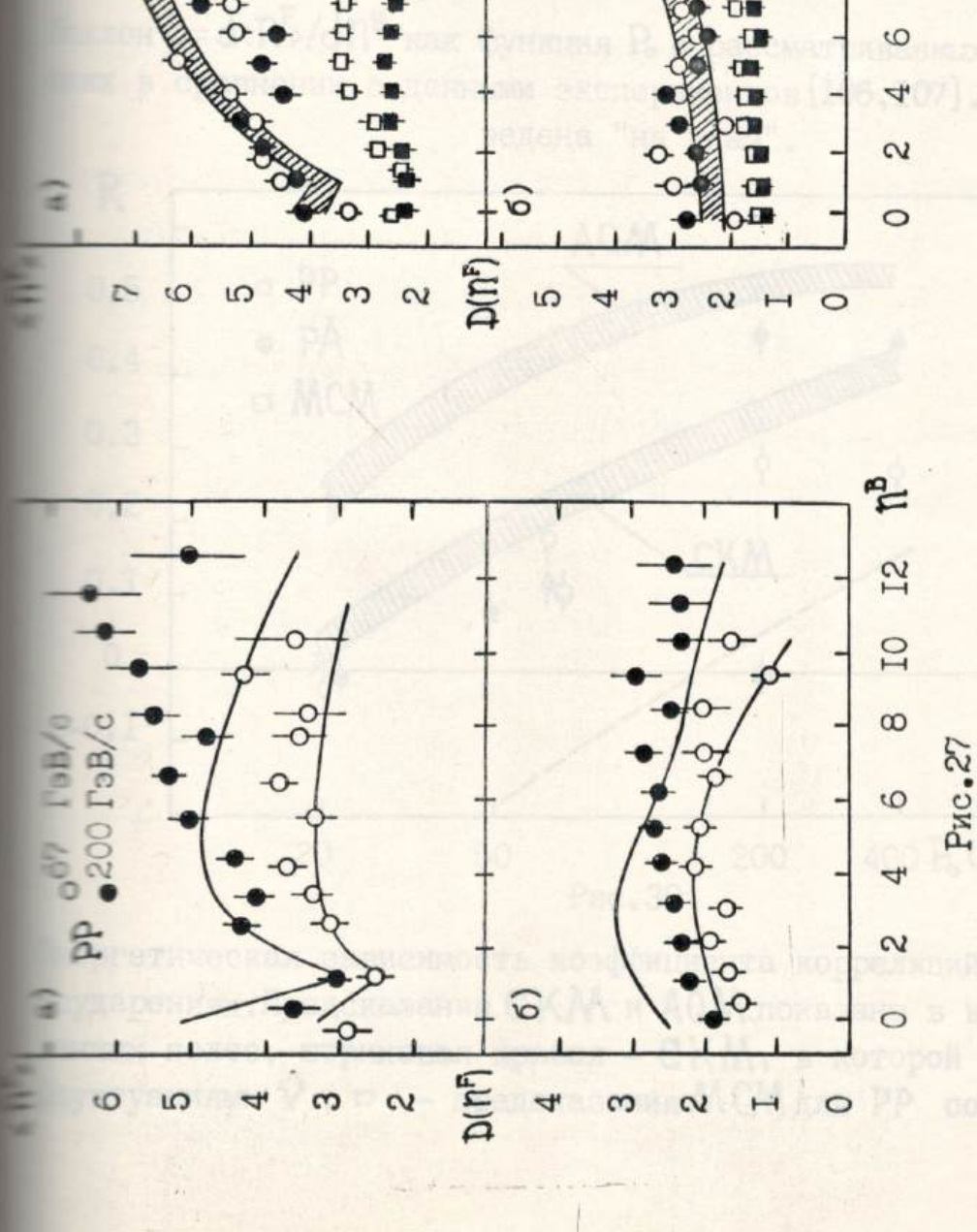
то сохраниться и для hA соударений, так как взаимная незавитимость продуктов фрагментации сохранится при высоких энергитимость зависимости от типа сталкивающихся частиц.

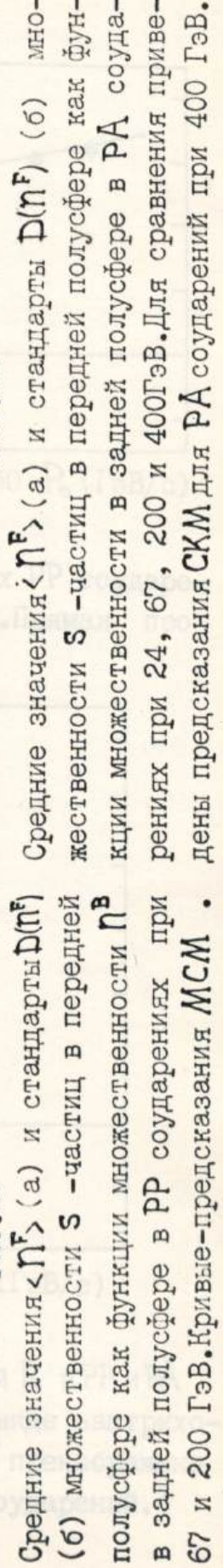
Однако, из рис. 26 видно, что экспериментальные данные повазывают прямо противоположную энергетическую зависимость вешчин A и B, так что опыт противоречит предсказаниям, основаным на чисто фрагментационной картине, как для PN, так и PA взаимодействий.

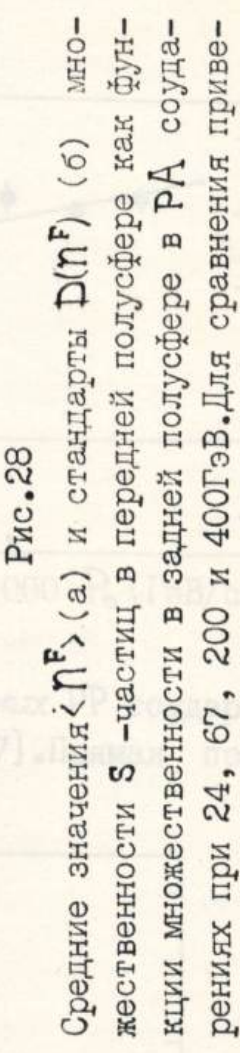
Наши основные экспериментальные данные о множественнос—
тях релятивистских частиц в передней и задней (в системе центра масс PP соударения) полусферах представлены на рис.27-30.
На рис.27 в качестве примера приведены зависимости среднего
значения (< N_F>) и стандарта (D(N_F)) N_F-распределения от
множественности (N_B) в задней полусфере для PP соударений при
67 и 200 ГэВ/с. Аналогичные данные для PA соударений в интервале 24-400 ГэВ/с представлены на рис.28. Рис.29 иллюстрирует энергетическую зависимость параметра наклона b выражении (4.1) для PA соударений - здесь мы используем также экспериментальные данные, полученные в области FNAL[120] и ISR
[121]. Наконец, на рис.30 показана энергетическая зависимость
корреляционного параметра R в PP и PA соударениях в исследованной нами области Р₆.

Экспериментальные данные дают основание для следующих выводов:

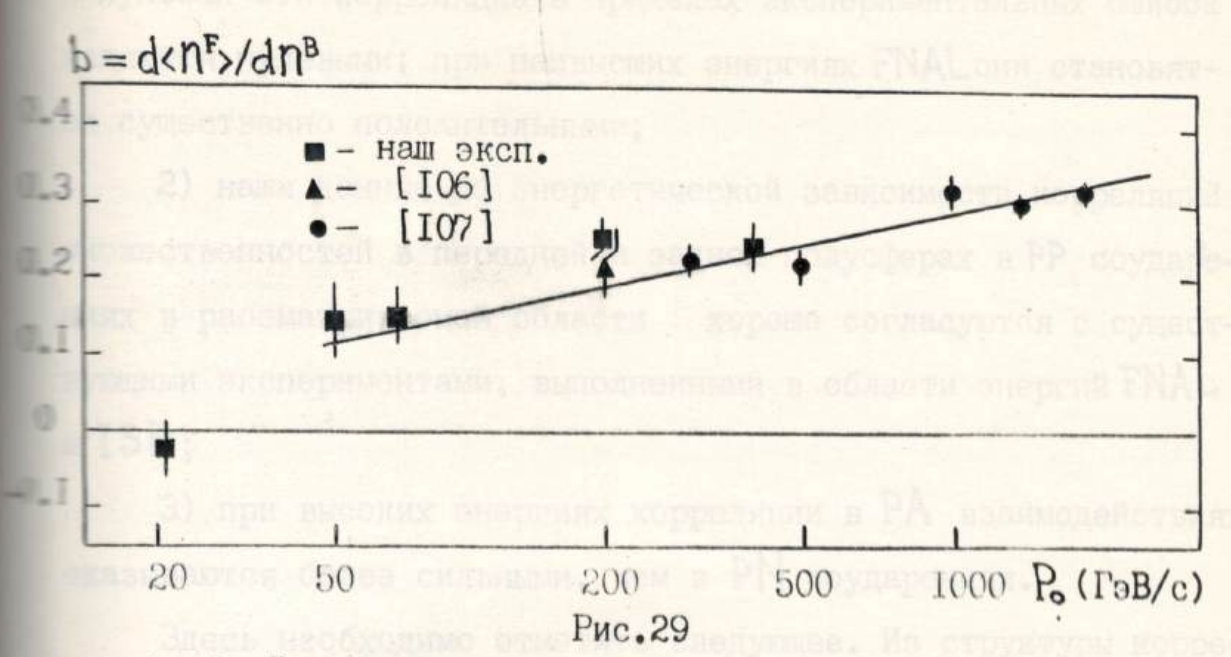
I) как в PN, так и в PA соударениях наблюдаются слабые, но растущие с увеличением первичной энергии корреляции между множественностями релятивистских частиц, образованных в передней и задней полусферах. При наименьших рассматриваемых



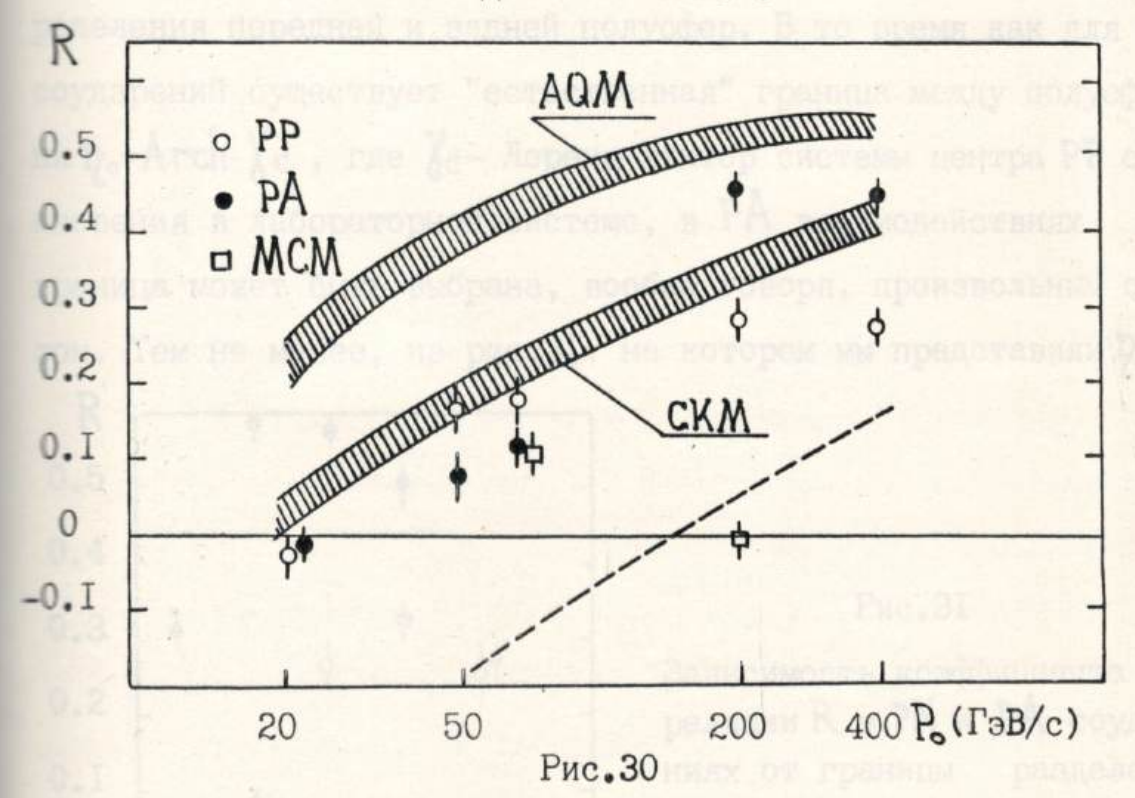




8 IO I2 I4 I6 I8 20 22



ведена "на глаз".



тударениях.Предсказания СКМ и AQM показаны в виде заштриховыных полос, штриховая кривая - СКМ, в которой пренебрежено шуктуациями У, □ - предсказания МСМ для РР соударений. импульсах эти корреляции в пределах экспериментальных ошибок являются нулевыми; при наивысших энергиях FNAL они становятся существенно положительными;

- 2) наши данные по энергетической зависимости корреляций множественностей в передней и задней полусферах в РР соударениях в рассматриваемой области хорошо согласуются с существующими экспериментами, выполненными в области энергий FNAL ISR;
- 3) при высоких энергиях корреляции в PA взаимодействиях оказываются более сильными, чем в PN соударениях.

Здесь необходимо отметить следующее. Из структуры корреляционного коэффициента R (4.3) очевидно, что его величина молет существенно зависеть от конкретного экспериментального определения передней и задней полусфер. В то время как для PPсоударений существует "естественная" граница между полусферали p_0 =Arch y_0 , где y_0 -Лоренц-фактор системы центра y_0 - столкновения в лабораторной системе, в y_0 - взаимодействиях эта
граница может быть выбрана, вообще говоря, произвольным образом. Тем не менее, из рис. 31, на котором мы представили y_0 -за-

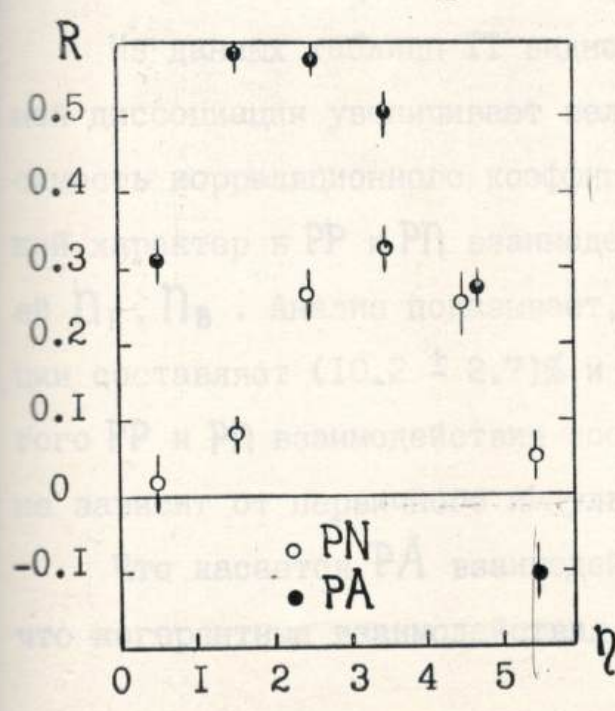


Рис.31

Зависимость коэффициента корреляции R в PN и PA соударениях от границы разделения передней и задней полусфер при 400 ГэВ/с. висимость R в PN и PA взаимодействиях при 400 ГэВ/с, видно, что при любом разумном выборе η_o , R_{PA} оказывается существенно больше, чем R_{PN} . В частности, если выбрать в качестве η_o , разграничивающего полусферы, медианное значение распределения по псевдобыстротам в PA соударениях при 400 ГэВ/с, тогда получим $R = 0.51 \pm 0.02$, $b_{FB} = 0.31 \pm 0.01$; для обратной зависимости параметр наклона, разумеется, существенно больше $b_{BF} = 0.84 \pm 0.04$. Таким образом, заключаем, что в PA взаимодействиях наблюдаются сильные корреляции множественностей в передней и задней полусферах;

4) в PN соударениях наблюдаемые корреляции не могут быть сведены к дифракционной компоненте множественного рождения частиц. Для доказательства этого утверждения рассмотрим данные таблицы II, в которой представлены экспериментальные значения корреляционного коэффициента R для PP и PN взаимодействий различной топологии, когда N_F и N_B принимают чётные и нечётные значения. Очевидно, что неупругая дифракция дает вклад в события с нечётными N_F , N_B в PP соударениях и в события с нечётными N_F и чётными N_B в PN взаимодействиях.

Из данных таблицы II видно, что хотя наличие дифракционной диссоциации увеличивает величину R, энергетическая зависимость корреляционного коэффициента имеет одинаковый растущий характер в PP и PN взаимодействиях с различной топологией N_F , N_B . Анализ показывает, что вклад неупругой дифракции составляет (10.2 \pm 2.7)% и (15.2 \pm 2.5)% сечения неупругого PP и PN взаимодействия соответственно и приблизительно не зависит от первичного импульса в рассматриваемой области P.

что когерентные взаимодействия исключались из рассматриваемых

contrast Lines, xora ula sexorepentario PA ca-

Таблица II.

Коэффициенты корреляций R в PP и PN взаимодействиях с разной топологией NF и Nв.

09	 РР – соударения 	рения	Рп – соударения	дарения
r∍B/c	R (Heuer-	К (чет-чет)	К (нечет-чет)	Heyer) R (uer-uer) R (Heyer-uer) R (uer-heyer)
21	-0.02 ± 0.06	-0.02 ± 0.06 ± 0.07 -0.38 ± 0.07	-0.38 ± 0.07	-0.18 ± 0.08
20	0.24 ± 0.05	0.04 ± 0.05	0.04 ± 0.05 0.14 ± 0.06	0.09 ± 0.07
49	0.34 ± 0.05	0.15 ± 0.06	0.35 ± 0.05	0.08 ± 0.07
200	0.32 ± 0.04	0.2I ± 0.04	0.57 ± 0.02	0.29 ± 0.04
400	0.30 ± 0.05	0.23 ± 0.05	0.40 ± 0.05	0.24 ± 0.06

ансамблей событий. Далее, хотя для некогерентных РА сопарений такой анализ невозможно провести*, можно предполатъ, по аналогии с РN взаимодействиями, что при множественрождении на ядрах наблюдаемые длиннодействующие коррелятакже нельзя свести к неупругой дифракции.

Качественно такие же эффекты наблюдались нами для TN и ТА соударений при 50 и 200 ГэВ/с.

3.3. Обсуждение экспериментальных результатов.

Мы видим, что экспериментальные данные по hN и hA соузарениям при высоких энергиях обнаруживают существование знаительных корреляций между множественностями релятивистских астиц, рождённых в различных полусферах, т.е. на больших расстояниях по шкале быстрот. Величина этих корреляций возрас тает с увеличением энергии столкновения, указывая, что они не могут быть сведены к короткодействующим эффектам при множественном рождении частиц; они не могут быть объяснены и вкладом неупругой дифракции.

Очевидно, что величина корреляционного коэффициента, будучи связанной с соответствующими корреляционными функциями (выражение (4.5)), подвержена действию различных псевдокорреляционных и кинематических факторов [61,119]. Это обстоятельство, по нашему мнению, препятствует модельно-независимому ан-

^{*)} Из-за возможных внутриядерных перерассеяний некогерентная дифракция может давть вклад в РА соударения с любой топо-логией N_F , N_B . Следует заметить, что выделение некогерентной дифракционной компоненты множественного рождения частиц на ядрах и изучение её основных свойств представляет самостоятельную и очень интересную задачу.

ализу рассматриваемых корреляций, особенно в **h**A взаимодействиях и, в частности, не позволяет выделить вклады короткодействующих и длиннодействующих по быстроте эффектов в величину при рассматриваемых нами неасимптотических энергиях.

При обсуждении экспериментальных данных по корреляциям множественности в передней и задней полусферах в области энергий ISR обсуждались три динамические модели [121-123].

В рамках кластерной модели существование длиннодействующих FBM корреляций было интерпретировано [I21] как проявление
корреляционных связей между кластерами. Для анализа наших данных в PP соударениях мы воспользовались одной из наиболее
разработанных кластерных моделей – мультипериферической кластерной моделью (МКМ [I24]), основанной на уравнении Бете-Солпитера и позволяющей единообразно описывать как упругие, так
и неупругие взаимодействия адронов высоких энергий. Надо отметить, что модель успешно описывает экспериментальные данные об общих характеристиках h N соударений в широкой области энергий. Более 6000 неупругих PP взаимодействий при 70 и
200 ГэВ/с, разыгранных в соответствии с МКМ были получены нами от авторов модели.

В рамках реджионной теории рассмотрение корреляций FBM в N соударениях было выполнено в работе [122] – длиннодействующие динамические корреляции возникают в этом подходе за счёт того, что N соударения при высоких энергиях представляют собой существенно полипериферические процессы, обусловленные многопомеронными обменами. Инклюзивная двухчастичная корреляционная функция для полипериферического рождения имеет, по сравнению с процессом, обусловленным однореджионным обменом, дополнительный вклад, имеющий дальнодействующий ха-

рактер по быстротам и обусловленный флуктуациями числа обменж реджеонов (подробности см. в [122]). Строгий теоретический
знализ данных о PN соударениях в области энергий FNAL в этом
одходе затруднён из-за неопределённостей, связанных с эффектами конечных энергий. Тем не менее, реджеонный подход имеет
очевидное преимущество перед другими подходами, т.к. он мотет быть прямо использован для интерпретации даннях по hA взажодействиям. Для сравнения с нашими данными по hA соударенимы использовали модель Капеллы и Крживицкого [96], при моделировании в рамках которой использовались эмпирические одночастичные и двухчастичные распределения из hN соударений при
соответствующих E_o(см. подробности в Главе 2). Кроме этого ,
использовались также расчёты, выполненные Б.Б.Левченко для PA
взаимодействий в рамках ацдитивной кварковой модели с учётом
внутриядерного каскада [90].

Наконец, в рамках так называемой "двухцепочной" дуальной модели (см., например, обзор[125]), корреляции FBM рассматривались в [123]; было показано, что для описания экспериментальных данных по hN соударениям достаточно учесть флуктуации энергии каждой из двух "цепочек", без введения каких-либо динамических корреляций внутри "цепочек". В связи с этой рабо - той возникает интересный вопрос о возможности описания данных по hA соударениям при фиксированном числе внутривдерных соударений V, за счёт одних лишь флуктуаций энергии в перерассениях. Чтобы прояснить этот вопрос, мы провели расчёт корре - пяций множественности в передней и задней полусферах в рамках водели, в которой V было фиксировано (V =3) и пренебрегалось всеми динамическими корреляциями частиц внутри каждого из перерассеяний.

Основные результаты этих расчётов приведены на рис. 27-30. Сравнение экспериментальных данных с предсказаниями рассмот ренных моделей позволяет сделать следующие выводы:

1) мультикластерная модель удовлетворительно описывает данные о корреляциях FBM в PP соударениях при 67 ГэВ/с и не воспроизводит экспериментальные результаты при 200 ГэВ/с(рис. 27,29). Важно подчеркнуть, что модель качественно противоречит экспериментальным данным по энергетической зависимости корреляционного коэффициента: величина R в модели уменьшается с ростом первичного импульса.

Вероятно, что это обстоятельство связано в модели с недооценкой роли тяжёлых кластеров с увеличением Р. . Действительно, анализ показал, что при 200 ГэВ/с в МКМ событиях с
тяжёлыми промежуточными кластерами величина R значительно бовыше, чем для полного ансамбля искусственных взаимодействий.
Разумеется, здесь необходима осторожность, так как такой отбор МКМ событий автоматически увеличивает средние множественности и, кроме этого, ведёт к большому перекрытию продуктов
распадов кластеров вдоль оси быстрот; последнее обстоятельство, очевидно, увеличит вклад короткодействующих корреляций
в величину корреляционного коэффициента.

Так как в мультикластерной модели [124] кластеры не являэтся взаимно независимыми, можно заключить, что обсужцаемая версия кластерной модели существенно недооценивает "силу" корреляционных связей между кластерами при высоких энергиях;

2) хотя флуктуации энергии в перерассеяниях сами по себе и приводят к появлению растущих с Р длиннодействующих корреляций FBM, они не достаточно велики, чтобы описать экспериментальные данные (рис.30). Таким образом, в отличие от hN со-

ударений, в hA взаимодействиях корреляции множественности в передней и задней полуеферах не удаётся описать без учёта флуктуаций в числе перерассеяний V и корреляций между релятивие-текими частицами, рождёнными в каждом из перерассеяний;

- 3) модель многократного рассеяния Капеллы-Крживицкого обеспечивает вполне разумное описание экспериментальных данных по корреляциям FBM в hA взаимодействиях при высоких энергиях. Важно отметить, что модель описывает величину корреляций не только для всего интервала γ , но и более диййеренци рованные данные. Так, например, если рассмотреть регрессию множественности релятивистских частиц, образованных в области фрагментации снаряда с γ > 6 на множественность частиц с γ < 2 (т.е. в области фрагментации мишени), то эксперимент дает для γ соударений при 400 ГэВ/с γ = -(0.18 γ 0.03), что качественно согласуется с теоретическим значением γ = -(0.09 γ 0.04);
- 4) аддитивная кварковая модель хорошо воспроизводит экспериментальные данные по корреляциям FBM при больших значения пиях первичного импульса (P₀≥100 ГэВ/с) и завышает значения R для hA соударений при P₀≤100 ГэВ/с. Следует заметить, что, хотя в AQM величина ⟨V⟩меньше, чем в модели Капеллы-Крживиц-кого, эффективное значение среднего числа перерассеяний ⟨⟨V₂φφ⟩⟩, оказывается, увеличивается за счет внутриядерных взаимодействий быстрых рождённых частиц, которые допускаются в рамках рассматриваемой нами версии AQM. Другими словами, внутриядерный каскад рождённых частиц в рамках AQM существенно сказывается на флуктуациях распределений по быстротам в hA взаимодействиях, что отражается и на величине коэффициента корреляций R.

ударений, в hA взаимодействиях корреляции множественности в передней и задней полуеферах не удаётся описать без учёта флуктуаций в числе перерассеяний V и корреляций между релятивистикими частицами, рождёнными в каждом из перерассеяний;

- 3) модель многократного рассеяния Капеллы-Крживицкого обеспечивает вполне разумное описание экспериментальных данных по корреляциям FBM в hA взаимодействиях при высоких энергиях. Важно отметить, что модель описывает величину корреляций не только для всего интервала γ , но и более диййеренци рованные данные. Так, например, если рассмотреть регрессию множественности релятивистских частиц, образованных в области фрагментации снаряда с γ > 6 на множественность частиц с γ < 2 (т.е. в области фрагментации мишени), то эксперимент дает для γ соударений при 400 ГэВ/с γ = -(0.18 γ 0.03), что качественно согласуется с теоретическим значением γ = -(0.09 γ 0.04);
- 4) аддитивная кварковая модель хорошо воспроизводит экспериментальные данные по корреляциям FBM при больших значения R для hA соударений при Po≤100 ГэВ/с) и завышает значения R для hA соударений при Po≤100 ГэВ/с. Следует заметить, что, котя в AQM величина ⟨V⟩меньше, чем в модели Капеллы-Крживиц-кого, эффективное значение среднего числа перерасселний ⟨⟨V₃oo⟩⟩, оказывается, увеличивается за счет внутриядерных взаимодействий быстрых рождённых частиц, которые допускаются в рамках рассматриваемой нами версии AQM. Другими словами, внутриядерный каскад рождённых частиц в рамках AQM существенно сказывается на флуктуациях распределений по быстротам в hA взаимодействиях, что отражается и на величине коэффициента корреляций R.

ГЛАВА5.

корреляционные явления между различными типами заряженных частиц \(\hat{A} \) взаимодействия.

В этом разделе мы обсудим вопрос о корреляциях между углами вылета заряженных частиц в hA соударениях. Изучение корреляционных явлений, как нам кажется, может весьма эффективно ограничить круг моделей, претендующих на описание множественного рождения в адрон-ядерных соударениях. Действительно, в коллективных механизмах АА взаимодействия, к примеру, корреляционные связи между азимутальными углами заряженных частиц должны быть близки к наблюдаемым в элементарном акте при близких множественностях, тогда как механизмы независимых перерассеяний приводят к значительно более слабым азимутальным корреляциям. Таким образом, корреляционный анализ способен сделать выбор между этими двумя классами теоретических подходов. Количественное сопоставление экспериментальных данных с моделями многократного рассеяния, по-видимому, могло бы уточнить характер энергораспределения между последовательными субсоударениями, степень чувствительности к виду V - распределения, значение роли каскадного процесса при соударении адрона с ядром и позволило бы прояснить актуальный вопрос о вкладе локально-коллективных эффектов в А взаимодействия при высоких энергиях [130-133].

І. Используемые характеристики и их общие свойства.

Для комплексного исследования корреляций между заряженными частицами нами использовались:

I) В дважды инклюзивных адрон-ядерных реакциях

$$h + A - I + 2 + \chi$$
 (5.1)

где I - инклюзивная (триггерная) S - или g -частица, - множественности и дисперсии частиц-партнеров типа 2 (также S - или g -частицы) в зависимости от угловых характеристик триггерных частиц;

2) для изучения двухчастичных корреляций между полярными углами вылета частиц – аппарат корреляционных функций

$$R_{2}(Z_{1},Z_{2}) = \frac{1}{G} \frac{dG}{dZ_{1}dZ_{2}} / \frac{1}{G^{2}} \frac{dG}{dZ_{1}} \frac{dG}{dZ_{2}} - I$$
 (5.2)

где в качестве аргументов выбирались $Z = \cos\theta$ для сильноионизующих и $Z = \gamma = -\ln i g(\theta/2)$ для рожденных релятивистских частиц. Поскольку, как отмечалось в Главе I, значения двухчастичных корреляционных функций оказываются весьма чувствительными к различным псевдокорреляционным факторам, наряду с экспериментальными данными о $R_2(Z_1,Z_2)$, были рассмотрены значения корреляторов, полученные в рамках модели независимого испускания частиц (IEM);

- 3) для исследования корреляций между азимутальными углами вылета вторичных заряженных частиц функции азимутальных углов инклюзивного \mathcal{E}_{ij} —распределения (определение см. в Главе I, разделе I.3) по углу между векторами поперечных импульсов двух частиц типа i,j=s,g,b,h
 - а) коэффициент азимутальной асимметрии

$$A = \left(\int_{\pi/2}^{\pi} f(\mathcal{E}_{ij}) d\mathcal{E}_{ij} - \int_{\sigma}^{\pi/2} f(\mathcal{E}_{ij}) d\mathcal{E}_{ij}\right) / \int_{\sigma}^{\pi} f(\mathcal{E}_{ij}) d\mathcal{E}_{ij}, \qquad (5.3)$$

б) средние значения коэффициентов азимутальной асимметрии< d>> в индивидуальных актах взаимодействия

$$\langle d \rangle_{ij} = \sum_{K=1}^{N} d_{ij}^{(K)} / N$$
, $d_{ij}^{(K)} = \sum_{\ell \neq m}^{n_K} \cos \epsilon_{ij}^{(\ell,m)} / \sqrt{n_K(n_K-1)}$ (5.4)

где N — число событий в рассматриваемом ансамбле взаимодействий, $n_{K} \ge 2(n_{K} \ge 1)$ — множественность частиц рассматривае — мого типа в K —ом событии в случае i=j ($i\neq j$). По определению, имеем

$$\sqrt{n_{\kappa}/(n_{\kappa}-1)} \leq \mathcal{L}^{(\kappa)} \leq \sqrt{n_{\kappa}(n_{\kappa}-1)}$$
 (5.5)

в) распределение и среднее значение угла Ф между направлениями преимущественного испускания двух групп частиц из одного акта соударения в азимутальной плоскости (определение см. в Главе I, разделе I.9) (угол между суммарными векторами, составленными из единичных векторов, направленных вдоль поперечных импульсов частиц каждой группы).

Отметим следующие, важные для нашего обсуждения, особенности этих величин (подробные сведения об их свойствах и о оригинальных работах содержатся в [133]). При статистической независимости углов вылета вторичных частиц (азимутальной изотропии) и любом числе ненаблюдаемых нейтральных частиц, математические ожидания величин A, A_K , A_K ,

Если частицы і и і принадлежат группе частиц, рождение которых управляется свойствами интеграла состояний с поперечной частью вида

$$dG^{(n)}/d\overline{P}_{1},...d\overline{P}_{ln} = \bigcap_{\ell \in I} \Phi(\overline{P}_{L}) \delta(\sum_{\ell \in I}^{n} P_{L\ell})$$
 (5.6)

где N – полное число частиц в группе, $\Phi(\vec{P_1})$ – "обрезающая" фу-

нкция, учитывающая известное свойство ограниченности поперечных импульсов при множественном рождении, то математические ожидания величин (5.3), (5.4) равны:

$$M(A) = (8/3\pi) \langle n_{\kappa}(n_{\kappa-1})/(n-1) \rangle \langle n_{\kappa}(n_{\kappa-1}) \rangle,$$

$$M(\langle d \rangle) = -(2/3) \langle [n_{\kappa}(n_{\kappa-1})]^{4/2}/(n-1)$$
(5.7)

где усреднение производится по событиям с Пк ≥ 2.

Модель с матричным элементом вида (5.6) называется моделью цилиндрического фазового объема (СРЅ). Коэффициенты в формулах (5.7) соответствуют выбору $\Phi(\vec{P}_1)$, отвечающему наблюдаемой плотности распределения поперечных импульсов частиц вида $P(\vec{P}_1) \sim \exp(0.\vec{P}_1)$, для других видов $P(\vec{P}_1)$ отклонения от (5.7) не превышают 10%. Из (5.7) видно, что сохранение энергии—импульса приводит к появлению азимутальных корреляций, исчезающих при $n \to \infty$. Формулы дают возможность оценки кинематических корреляций при любом распределении по множественностям в рассматриваемых ансамблях соударений.

2. Ассоциированные множественности в hA взаимодействиях.

На рис. 32, 33 в качестве примера представлены экспериментальные данные о средних значениях и стандартах распределений по множественности S-, g- и b-частиц в PA соударениях при 24 и 400 ГэВ в зависимости от псевдобыстроты γ и угла вылета COS θ инклюзивных S- и g-частиц соответственно. Здесь же показаны предсказания модели многократного рассеяния Капеллы и Крживицкого (СКМ) [96] и аддитивной кварковой модели (AQM); причем для последней расчеты были выполнены как с учетом, так и без учета вклада коррелированных пар внутри-

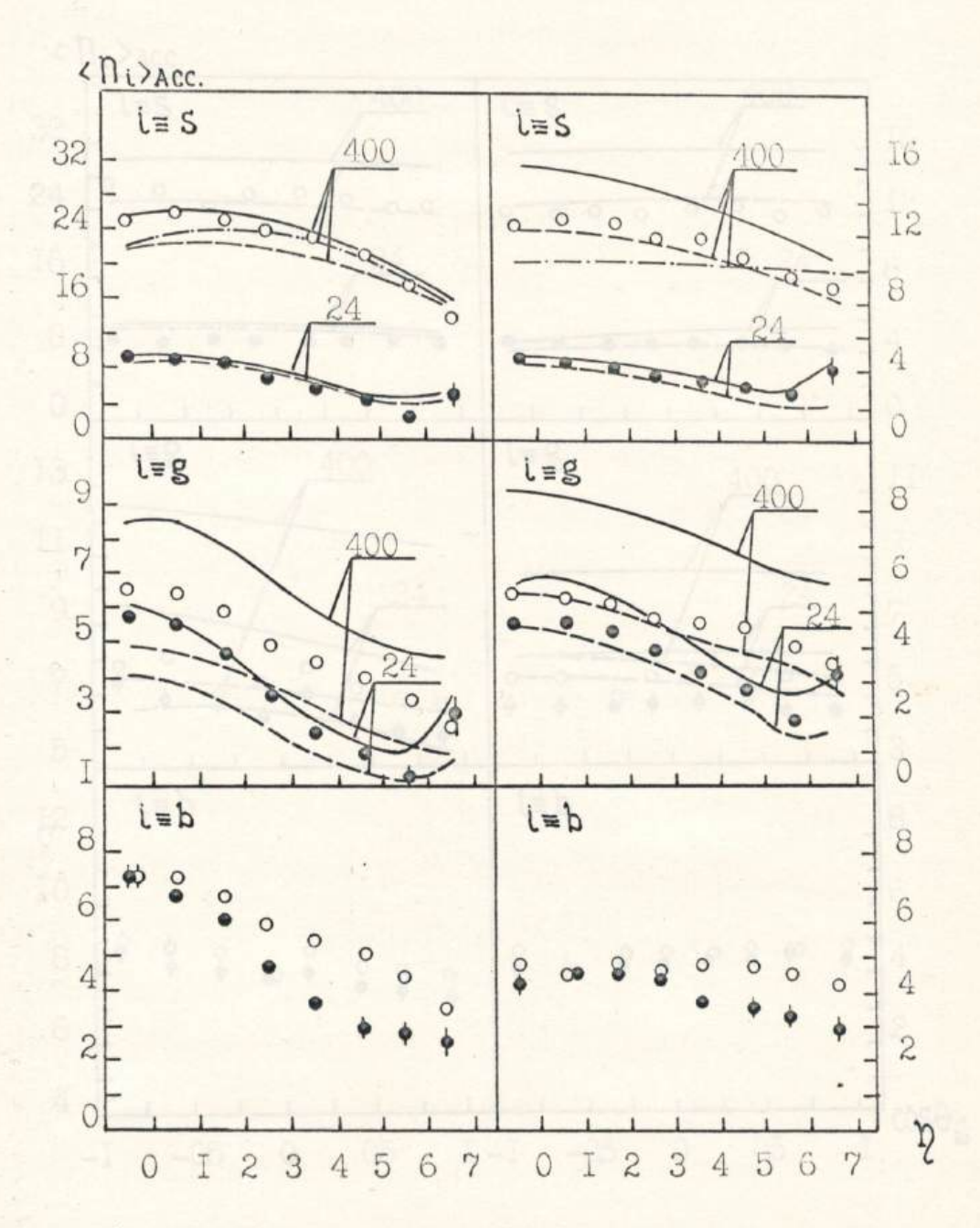


Рис.32 (Ni) и D(Ni) ассоциированных множественностей разных типов заряженных частиц из РА соударений при 24 (•) и 400 (о) ГэВ в зависимости от псевдобыстроты S -частиц. Предсказания СКМ - штрих-пунктирная кривая, AQM с учетом и без учета парных корреляций - сплошная и штриховая кривые соответственно.

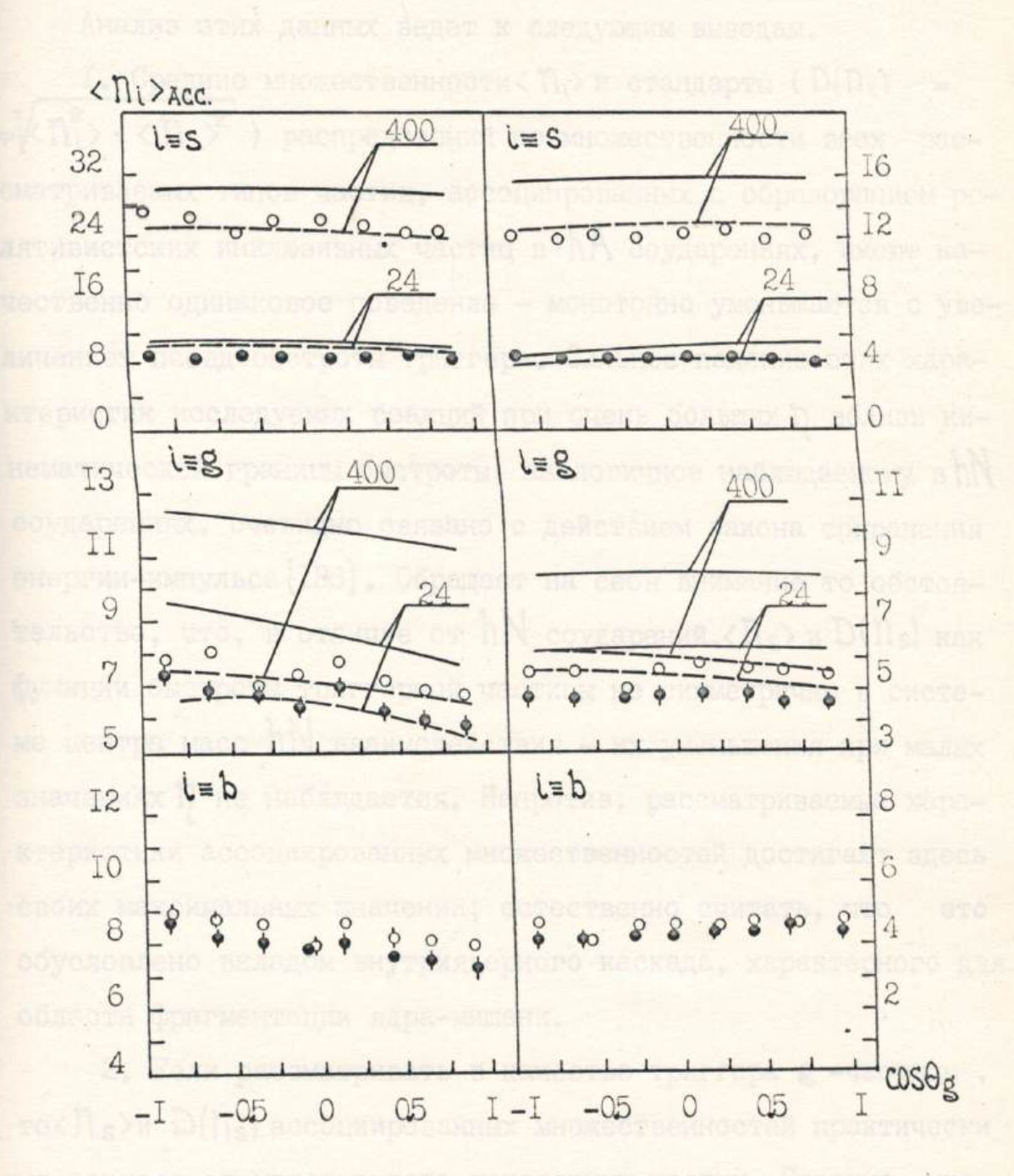


Рис. 33
То же, что на рис.32, но в зависимости от состов в состиц.

ядерных нуклонов.

Анализ этих данных ведет к следующим выводам.

- I. Средние множественности $\langle N_i \rangle$ и стандарты $(D(N_i))$ = $=\sqrt{n_i^2}$ - $<n_i>^2$) распределений по множественности всех рассматриваемых типов частиц, ассоциированных с образованием релятивистских инклюзивных частиц в АА соударениях, имеют качественно одинаковое поведение - монотонно уменьшаются с увеличением псевдобыстроты триггера. Сильное падение этих характеристик исследуемых реакций при очень больших η вблизи кинематической границы быстроты, аналогичное наблюдаемому в hN соударениях, очевидно связано с действием закона сохранения энергии-импульса [136]. Обращает на себя внимание то обстоятельство, что, в отличие от hN соударений, < ns> и D(ns) как функции быстроты триггерной частицы не симметричны в системе центра масс hN взаимодействия - их уменьшения при малых значениях η не наблюдается. Напротив, рассматриваемые характеристики ассоциированных множественностей достигают здесь своих максимальных значений; естественно считать, что это обусловлено вкладом внутриядерного каскада, характерного для области фрагментации ядра-мишени.
- 2. Если рассматривать в качестве триггера g -частицы, то $\langle N_s \rangle$ и $D(N_s)$ ассоциированных множественностей практически не зависят от углов вылета триггерных частиц. Средние множественности сильноионизующих частиц, ассоциированных с образованием g -частиц, слабо уменьшаются с увеличением $\cos\theta_g$, а стандарты распределений при этом не изменяются в пределах экспериментальных ошибок.
- 3. СКМ вполне удовлетворительно описывает зависимость < ns>от псевдобыстроты триггера в центральной области и об-

ласти фрагментации снаряда в РА соударениях при 400 ГэВ. При γ < 1.5 модель недооценивает средние ассоциированные множественности. Кроме этого, предсказания СКМ для стандартов ассоциированных множественностей $D(n_s)$ оказываются меньше экспериментальных практически во всей области изменения быстроты инклюзивных s —частиц. Наблюдаемые отличия между предсказаниями СКМ и опытными данными можно качественно объяс — нить, по—видимому, тем, что в модели не учитывается вклад внутриядерного каскада; действительно, дополнительное рождение частиц в результате внутриядерного каскада рожденных частиц приведет не только к росту средних ассоциированных множественностей, но и к увеличению дисперсий распределения из—за появления дополнительных источников флуктуаций множественности.

4. AQM описывает качественное поведение ассоциированных множественностей; что касается количественного описания данных, ситуация сложнее. Из рис.32 видно, что модель удовлетворительно описывает зависимость (Ns) от псевдобыстроты инклюзивных частиц в PA взаимодействиях в интервале 24 - 400 ГэВ; разумеется, следует отметить, что теоретические кривые лежат систематически выше, чем экспериментальные данные. Стандарты распределений по ассоциированным множественностям в PA соударениях при 400 ГэВ моделью не воспроизводятся; интересно, что разногласие между расчетом и данными тем сильнее, чем меньше псевдобыстрота инклюзивных S —частиц. Последнее обстоятельство представляет очевидный интерес и проявляется особенно четко при рассмотрении ассоциированных множественностей g —частиц, а при 400 ГэВ модель расходится с опытом как для «Ng», так и D(Ng).

На первый взгляд кажется, что все разногласия обусловлены переоценкой в модели эффективного вклада коррелированных пар внутриядерных нуклонов, тем более, что расчеты, выполненные без учета вклада в некоторых случаях (см. рис.33) дают очень близкие к эксперименту значения (n_i) и $D(n_i)$ (и даже переоценивают рассматриваемые характеристики hA соударений). Однако, расхождение между экспериментом и теорией нельзя свести к простой переоценке вклада парных корреляций по следующим причинам:

- а) расчеты показывают, что вклад парных корреляций в рассматриваемые величины возрастает с увеличением энергии соударения;
- б) при выбранном в модели законе адронизации (3.12) и значении параметра №, определяющем общий масштаб длин формирования адронов, АОМ допускает с заметной вероятностью внутриядерные перерассеяния даже очень быстрых рожденных частиц [134]. Например, в РА соударениях при 400 ГэВ во внутриядерном каскаде участвуют рожденные частицы с импульсами Р≈ 30 ГэВ/с, которые вообще отсутствуют при наименьшей рассматриваемой нами первичной энергии;
- в) следует также учитывать, что в рамках модели вклады внутриядерного каскада и парных корреляций связаны таким образом, что чем более развит внутриядерный каскад рожденных частиц, тем большую роль играют парные корреляции внутриядерных нуклонов.

Эти обстоятельства, наряду с отмечавшимся выше усилением расхождения между экспериментальными данными и предсказаниями модели при выборе инклюзивных S -частиц в области фрагментации ядра-мишени, где сосредоточен вклад внутриядерного каскада, по нашему мнению ясно показывают, что подлинная причина расхождений – в переоценке вклада внутриядерных каскадов в обсуждаемой версии аддитивной модели кварков для hA взаимодействий.

3. Корреляции между полярными углами вылета частиц.

Некоторые данные о величине двухчастичного коррелятора R_2 для g -частиц из PA соударений мы представили на рис.34. Анализ экспериментальных данных позволяет сделать следующие выводы.

- I) В hA взаимодействиях величина двухчастичного коррелятора R_2 для g -частиц в пределах ошибок настоящего эксперимента, оказывается, не зависит от энергии соударения (см. рис. 34а для значений $R_2(Z_1=Z_2=0)^{\frac{1}{2}}$.
- 2) Модель независимого испускания (IEM) воспроизводит эту особенность R_2 для g -частиц из hA соударений. Количественное сравнение предсказаний IEM с данными (рис. 34а) показывает, что, хотя величина R_2 определяется, в основном, псевдокорреляционными факторами, возможен небольшой вклад динамических корреляций между g -частицами в двухчастичный коррелятор.
- 3) Так же как для релятивистских частиц[61], двухчастичный коррелятор для g -частиц очень слабо зависит (уменьшается) от массового числа ядра-мишени. Наряду с этим, опять
 же в полной аналогии с корреляционной функцией для S -частиц,
 R2 для серых частиц заметно уменьшается при увеличении множественности b и/или S -частиц, т.е. с увеличением числа

^{*)} Это обстоятельство позволило нам рассмотреть R_2 для g-частиц из объединенного ансамбля PA соударений в интервале энергий 20 – 400 ГэВ на рис. 34б.

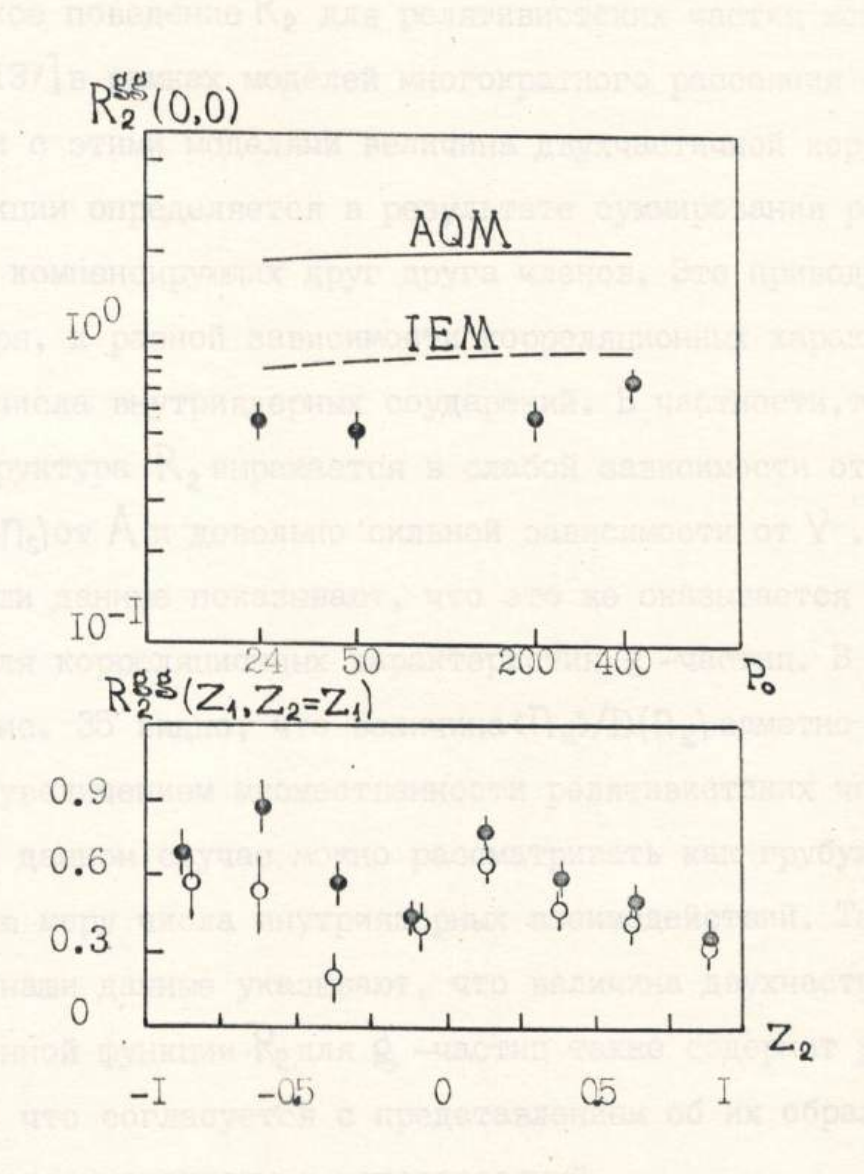


Рис.34

а) E_o -зависимость $R_2(0,0)$ для g-частиц из PA соударений в эмульсии. Кривые -расчет по AQM (сплошная)и модели независимого испускания (пунктир);

б) $R_2(Z_1, Z_2 = Z_1)$ для g – частиц из PA соударений в эмульсии (\bullet) и pAgBr соударений (\circ).

внутриядерных соударений V или прицельного параметра hA взаимодействий^{ж)}.

Такое поведение R_2 для релятивистских частиц может быть понято [137] в рамках моделей многократного рассеяния – в соответствии с этими моделями величина двухчастичной корреляционной функции определяется в результате суммирования различных, взаимно компенсирующих друг друга членов. Это приводит, вообще говоря, к разной зависимости корреляционных характеристик от A и числа внутриящерных соударений. В частности, такая сложная структура R_2 выражается в слабой зависимости отношения $R_3 > D(N_3)$ от A и довольно сильной зависимости от A .

Наши данные показывают, что это же оказывается справедливым для корреляционных характеристик g -частиц. В частности, из рис. 35 видно, что величина (ng) (ng) заметно возрастает с увеличением множественности релятивистских частиц, которую в данном случае можно рассматривать как грубую статистическую меру числа внутриядерных взаимодействий. Таким образом, наши данные указывают, что величина двухчастичной корреляционной функции R2 для g -частиц также содержит различные
вклады, что согласуется с представлением об их образовании в
результате многократных перерассеяний.

4) Сравнение корреляционных функций R_2 для g —частиц из РА и π соударений в интервале 20 — 400 ГэВ показывает, что они слабо зависят от типа налетающей частицы (не проиллюстрировано).

Рассмотрим теперь данные о корреляциях между углами вылета разных типов частиц. На рис. 36а, б представлены, как приж) Хотя наиболее адекватной статистической мерой прицельного
параметра hA соударения принято считать Ng, очевидно, что
для качественных выводов могут также использоваться Nb и Ns.

мер, корреляционные функции R_2 для пар частиц (s,g) и (s,b) соответственно из PA соударений в интервале 20 – 400 ГэВ. Из данных видно, что:

I) корреляционная функция R_2 для рассматриваемых пар частиц имеет весьма характерную зависимость от псевдобыстроты R_2 релятивистской частицы, свойственную также корреляторам R_2 для (S,S) пар (см., например, [46,47]) — она максимальна при малых R_2 в области фрагментации ядра—мишени и принимает отрицательные значения в области фрагментации снаряда.

Из сравнения экспериментальных данных с предсказаниями модели независимого испускания можно заключить, что поведе — ние рассматриваемых корреляторов обусловлено, в основном, действием псевдокорреляционных факторов. В частности, наблюдаемая асимметрия R_2 для (S,g) и (S,b) частиц по аргументу N_2 может быть объяснена, так же как и в случае (S,S) частиц, большими значениями и флуктуациями множественностей и одночастичных распределений в области фрагментации ядра-мишени;

2) во всей рассмотренной области первичных энергий 20 - 400 ГэВ значения корреляционных функций существенно более зависят от кинематических характеристик релятивистских, чем сильноионизующих частиц. Более того, было обнаружено, что величина R_2 для комбинации (S,b) частиц в пределах ошибок настоящего эксперимента не зависит от углов вылета b -частиц.

4. Азимутальные корреляции.

Экспериментальные данные о коэффициентах азимутальной асимметрии A и « » для сильноионизующих частиц из РА соударений в интервале 20 – 400 ГэВ представлены в таблице I2. В скобках представлены соответствующие значения, подсчитанные по модели цилиндрического фазового объема (СРЅ). Из данных

Таблица I2. Коэффициенты азимутальной асимметрии сильноионизующих частиц в РА соударениях*).

					THE REAL PROPERTY.
Частицы	Величина	24 FaB	50 FeB	200 LaB	400 LaB
ep E	۸ ۲۹,	0.021 ± 0.004 -0.16 ± 0.03	0.015 ± 0.004 -0.13 ± 0.03	0.017 ± 0.006 0.020 ± 0.00	0.020 ± 0.004
- a0	¥ ^6>	0.0II ± 0.009 (0.049) -0.15 ± 0.04 (-0.293)	0.019 ± 0.009 (0.047) -0.12 ± 0.04 (-0.293)	0.034 ± 0.014 (0.051) -0.14 ± 0.05 (-0.292)	0.034 ± 0.009 (0.045) -0.15 ± 0.04 (-0.293)
_a	4 ^9>	0.017 ± 0.007 (0.06) -0.06 ± 0.03 (-0.34)	-0.001 ± 0.007 -0.01 ± 0.04	0.009 ± 0.0II -0.04 ± 0.05	0.028 ± 0.008
LESS LESS	*)В скобках	H	едставлены предсказания СРЅ (см. текст)	S (cm. Texcr)	

можно заключить, что:

- в hA соударениях высокой энергии для h и g -частиц наблюдаются статистически обеспеченные азимутальные корреляции. При этом, в отличие от данных, полученных при более низких энергиях [133], азимутальная асимметрия g -частиц проявляется только в индивидуальных актах;
- 2) величина наблюдаемых на опыте азимутальных корреля—
 ций существенно меньше, чем предсказываемая в моделях стати—
 стического типа; это, в частности, противоречит моделям, в
 которых сильноионизующие частицы образуются в результате распада некоего "файербола" или "трубки", выбиваемых в результате h соударения. С другой стороны, как уже ранее отмечалось [133], наличие азимутальных корреляций (хотя и слабых)
 для h и g -частиц вообще говоря противоречит представлению
 о полной независимости образования сильноионизующих частиц продуктов фрагментации ядра-мишени;
 - 3) сравнение данных по РА и ПА соударениям при рассматриваемых энергиях показывает, что значения коэффициентов азимутальной асимметрии сильноионизующих частиц слабо зависят от типа налетающей частицы (не проиллюстрировано).

Перейдем теперь к обсуждению междугрупповых азимутальных корреляций. В таблицах I3, I4 представлены экспериментальные данные о таких корреляциях для разных групп частиц, а на рис. 37 показана зависимость $\langle \Phi_{sg} \rangle - \pi/2$ от угла вылета релятивистских частиц в hA взаимодействиях.

Данные позволяют сделать следующие выводы.

Обеспеченные азимутальные корреляции наблюдаются
между серыми и черными частицами – продуктами фрагментации
ядра-мишени в hA соударениях. Ранее такие корреляции экспериментально наблюдались при энергиях в несколько ГэВ/нуклон

Таблица 13. Средние углы преимущественного испускания между направлениями (S,b),(S,h) и (b,g) частиц в азимутальной плоскости.

AND ROD	24	ГэВ	50	ГэВ	200	ГэВ	: 400	ГэВ
< \$\pi_<\d2\$\pi_\\\ 2\pi_\\\\\ 2\pi_\\\\\\\\\\\\\\\\\\\\\\\\\\\\\\\\\\\	0.02	± 0.03	0.03	± 0.03	0.02	± 0.04	0.04	0.04
< \$\Psh>-\Ti/2								
<中bg>-川2								

Таблица I4. Коэффициенты азимутальной асимметрии и средние углы преимущественного испускания между направлениями S - и g -частиц из разных кинематических областей.

Частица:	Частица	Е,,Гэв	Aų	<\$\Pi_{ij}>-\$\T\2\$
s s s	00 00 00 00	24 50 200 400	0.032 ± 0.006 0.013 ± 0.005 0.008 ± 0.006 0.003 ± 0.003	0.20 ± 0.03 0.15 ± 0.03 0.10 ± 0.04 0.03 ± 0.03
S S S	g(0 <t 2)<br="">g(0<t 2)<br="">g(0<t 2)<br="">g(0<t 2)<="" td=""><td>24 50 200 400</td><td>0.035 ± 0.007 0.015 ± 0.006 0.008 ± 0.007 0.007 ± 0.004</td><td>0.20 ± 0.03 0.15 ± 0.03 0.10 ± 0.05 0.10 ± 0.05</td></t></t></t></t>	24 50 200 400	0.035 ± 0.007 0.015 ± 0.006 0.008 ± 0.007 0.007 ± 0.004	0.20 ± 0.03 0.15 ± 0.03 0.10 ± 0.05 0.10 ± 0.05
S S S	\$ (0 > T/2) \$ (0 > T/2) \$ (0 > T/2) \$ (0 > T/2)	24 50 200 400	0.025 ± 0.010 0.008 ± 0.009 0.009 ± 0.010 0.006 ± 0.006	0.12 ± 0.04 0.05 ± 0.04 0.06 ± 0.06 0.05 ± 0.04

релитивне селине планицаног и просожени на кори-инасени не ис-

[133,138]. A second in reserve sompony area has be list appen

2) Азимутальные корреляции между релятивистскими и всеми сильноионизующими (ħ) частицами обусловлены существованием корреляций между S - и g -частицами, в то время как азимутальные корреляции между S - и b -частицами отсутствуют.

Азимутальные корреляции между релятивистскими и серыми частицами — тенденция к противоиспусканию этих групп частиц в азимутальной плоскости hA взаимодействия — уменьшаются с увеличением E_o: они существенны при наименьших рассматрива— емых нами E_o и исчезают в пределах ошибок опыта при максимальных E_o.

Отметим, что в PN соударениях величина Ф\$2>-П/2 уменьшается с энергией соударения (от 0.47 при 24 ГэВ до 0.14 при 400 ГэВ); вклад в это уменьшение дает, в частности, известный рост с энергией соударения полной множественности рожденных частиц — заряженных и нейтральных пионов. В адрон-ядерных взаимодействиях также часть наблюдаемого уменьшения Ф\$2--П/2 с Е₀может быть очевидно отнесена к действию этого кинематического эффекта. Заметим также, что азимутальные корреляции между S — и g —частицами, в частности выраженные в терминах угла Ф\$2> — П/2, существенно ослабляются при переходе от PN к PA взаимодействиям, что очевидно связано с эффектами внутриядерных перерассеяний.

3) Данные при 24 ГэВ показывают, что рассматриваемые характеристики азимутальных корреляций (A_{sg} , Φ_{sg}) слабо зависят от полярных углов вылета g –частиц; в частности, так же, как и при более низких E_o [133] корреляционные связи между релятивистскими частицами и протонами из ядра-мишени не исчезают при отборе последних из области, кинематически запрещенной для свободных PN соударений (с $\theta_{\Lambda c} > \pi/2$). Для

уверенных выводов по этому вопросу при $E_{\circ} > 50$ ГэВ требуются, однако, более точные данные.

4) В РА соударениях при низких (3:4 ГэВ) энергиях было найдено, что азимутальные корреляции между S — и g —частицами существенно усиливаются с увеличением псевдобыстроты релятивистских частиц. При высоких же энергиях, как видно из рис. 37, сколько-нибудь значительной зависимости не обнаруживается.

5. Обсуждение результатов по угловым корреляциям.

Полученные данные по угловым корреляциям противоречат коллективным моделям hA соударений и определенно указывают на значительную роль эффектов перерассеяний. В частности, в рамках моделей многократного рассеяния могут быть качественно поняты данные об азимутальных корреляциях между S - и g частицами; такие корреляции должны возникать "естественным" образом за счет того, что во внутриядерных взаимодействиях противоиспускание рожденных частиц и протонов отдачи в ази мутальной плоскости обеспечивается законом сохранения попе речного импульса, а суммирование независимых внутриядерных столкновений приводит лишь к усреднению соответствующих средних углов Ф>, характерных для элементарных актов. Поэтому разумно ожидать, что величины характеристик азимутальных корреляций между разными типами частиц будут чувствительны как к числу, так и характеру внутриядерных перерассеяний, в частности, к вкладу каскада.

Для количественной интерпретации экспериментальных результатов по угловым корреляциям частиц в hA соударениях мы используем описанную выше аддитивную кварковую модель с учетом внутриядерных каскадов. Некоторые результаты расче-

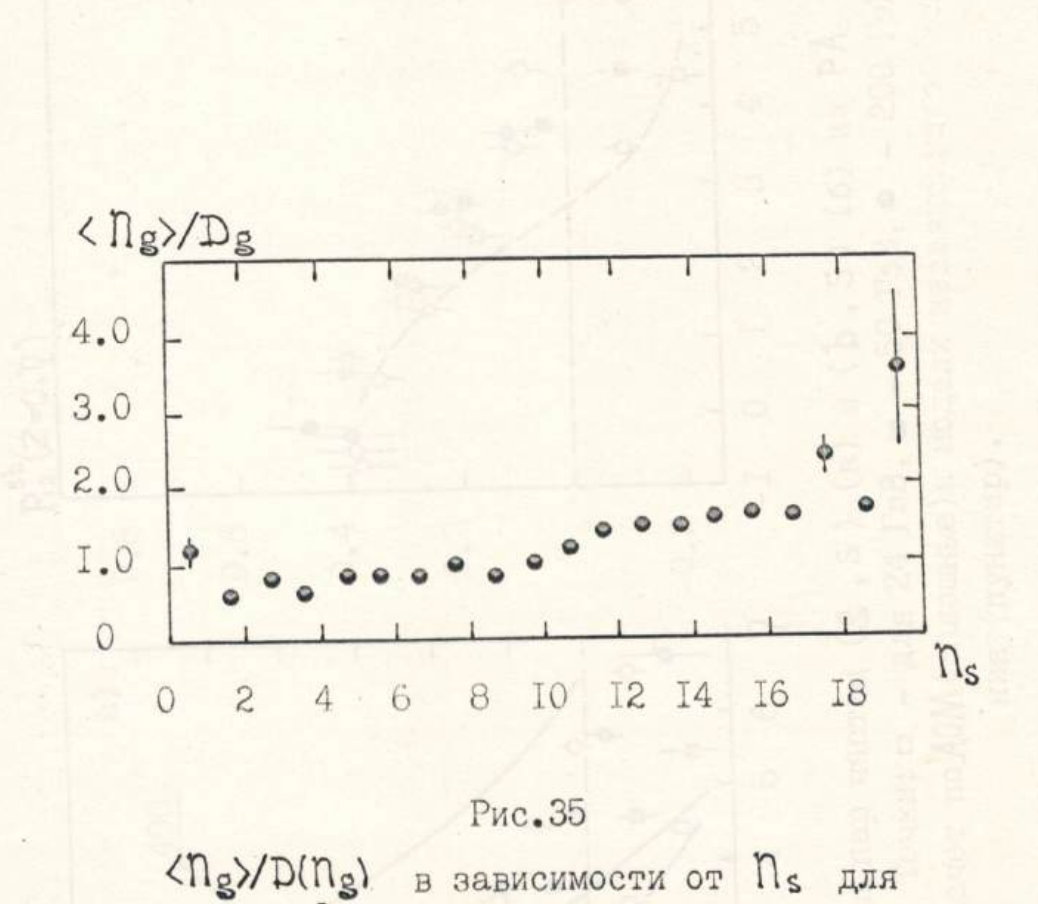
тов по AQM сравниваются с экспериментальными данными на рис.34, 36, 37 (отметим, что статистические ошибки расчетов по AQM, выполненных по методу Монте-Карло, примерно такие же, что и на эксперименте). Это сравнение приводит к следующим выводам.

- I) Аддитивная кварковая модель, хотя и воспроизводит экспериментально наблюдаемую независимость коррелятора R_2 (0.0) для g -частиц от энергии PA соударения, существенно переоценивает его величину (рис.34a).
- 2) Хотя модель правильно описывает основные качественные особенности γ -зависимости двухчастичного коррелятора $R_2^{sg}(Z=0,\gamma)$ и величины $\Phi_{sg}-\pi/2$ (рис.36,37), она не воспроизводит энергетическую зависимость этих характеристик угловых корреляций между S-u g-частицами из h A взаимодействий большой энергии.

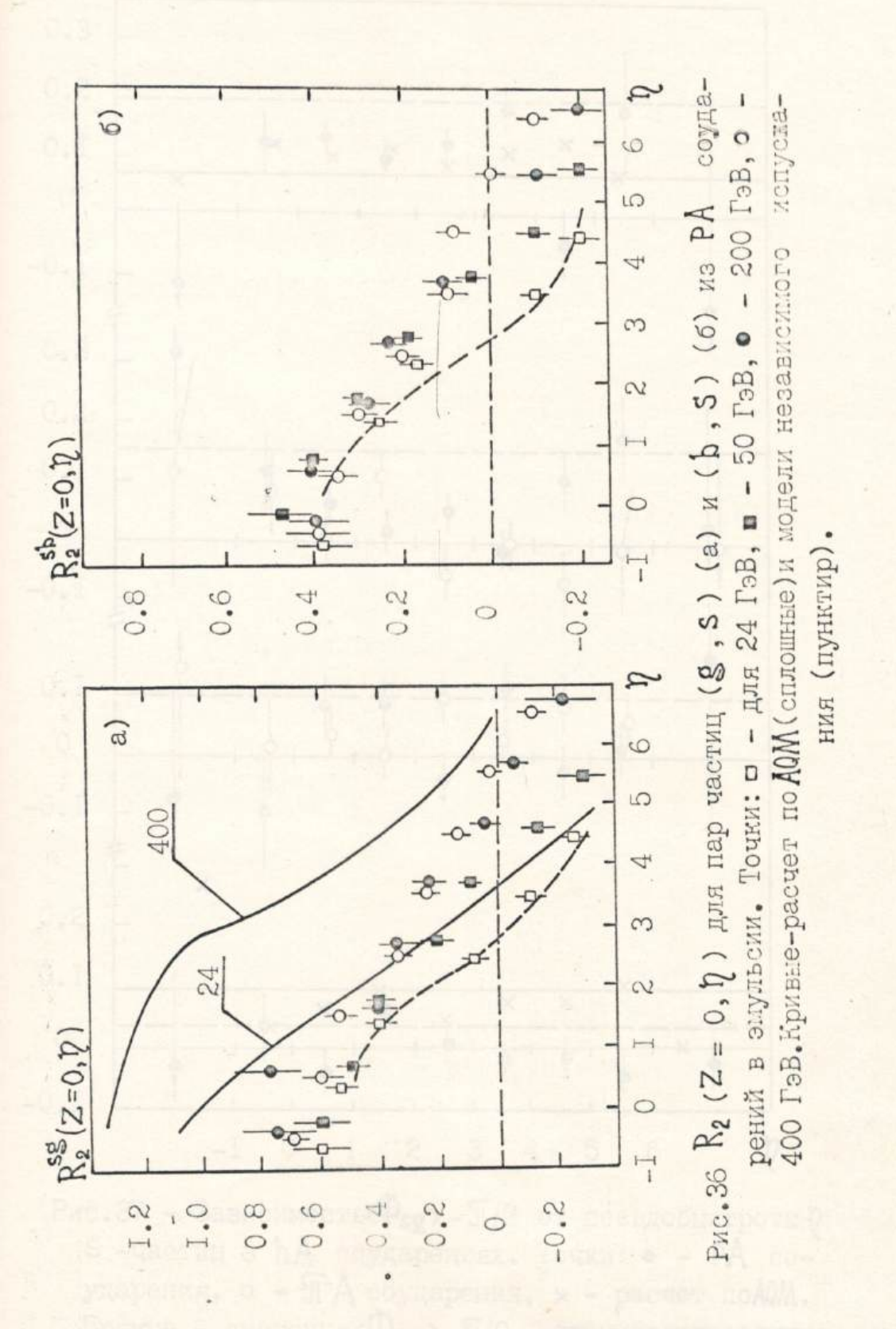
Эти расхождения расчетов с экспериментальными данными обусловлены, вероятно, отмечавшейся уже ранее переоценкой роли внутриядерных каскадов в рассматриваемой версии аддитивной кварковой модели.

Действительно, в рамках этой модели при известной (убывающей) E_{o} -зависимости углов Φ_{sg} в hN соударениях и независящем от E_{o} числе внутриядерных соударений снаряда (или кварков снаряда), величина Φ_{sg} для hA взаимодействия будет убывать с E_{o} , если вклад внутриядерных каскадов не изменяется с E_{o} . Поэтому, тот факт, что в модели величина Φ_{sg} для PA соударений, в противоречии с экспериментальными данными, не меняется (или меняется очень слабо) в интервале 20 – 400 ГэВ, указывает на растущий с энергией вклад внутриядерных каска – дов. Эти дополнительные, по сравнению с осуществляющимися при более низких первичных энергиях, каскадные перерассеяния

происходят при меньших энергиях, чем E_o , и поэтому имеют большие Φ_{sg} , что и может в конечном итоге привести к приблизительному постоянству Φ_{sg} модели.



РА соударений при 200 ГэВ.



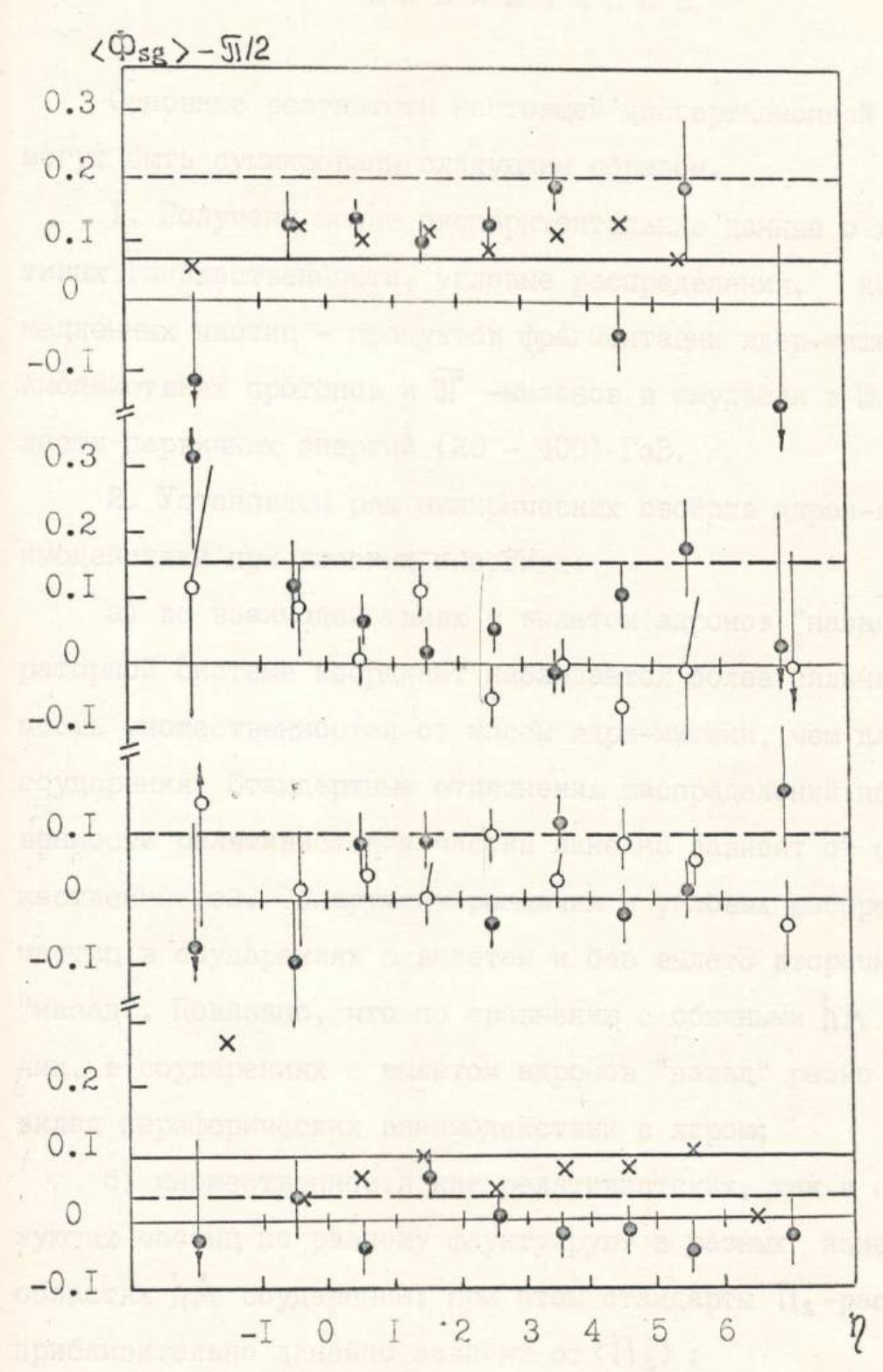


Рис. 37 — Зависимость (Φ_{sg}) — $\pi/2$ от псевдобыстроты η S — частиц в η соударениях. Точки: • — η соударения, о — η соударения, х — расчет по η для η соударения (η соударения органиве по η для η соударений (пунктир) и полученные по η для η соударений (пунктир) и полученные по η для η соударений (пунктир) и полученные по η соударений (пунктир) и получений (пунктир) и пунктир (пунктир) и получений (пунктир) и пунктир (пунктир) и пунктир (пунктир) и

заключение

Основные результаты настоящей диссертационной работы могут быть суммированы следующим образом.

- І. Получены новые экспериментальные данные о характеристиках (множественности, угловые распределения, корреляции)

 медленных частиц продуктов фрагментации ядер-мишеней во взаимодействиях протонов и \mathcal{T} -мезонов в эмульсии в широкой области первичных энергий (20 400) ГэВ.
 - 2. Установлен ряд эмпирических свойств адрон-ядерных взаимодействий при высоких энергиях:
 - а) во взаимодействиях с вылетом адронов "назад" в лабораторной системе координат наблюдается более сильная зависимость множественностей от массы ядра-мишени, чем для среднего
 соударения. Стандартные отклонения распределений по множест венности релятивистских частиц линейно зависят от средних множественностей. Обнаружены различия в угловых распределениях
 частиц в соударениях с вылетом и без вылета вторичных адронов
 "назад". Показано, что по сравнению с обычными h соударениями, в соударениях с вылетом адронов "назад" резко подавлен
 вклад периферических взаимодействий с ядром;
 - б) множественности как релятивистских, так и сильноионизующих частиц по разному флуктуируют в разных кинематических областях hA соударений; при этом стандарты N_s -распределений приблизительно линейно зависят от $\langle N_s \rangle$;
 - в) обнаружены независящие от E_o и растущие с A корреляции между множественностями сильноионизующих частиц в передней и задней полусферах; показано, что вклад динамических эффектов в величину этих корреляций мал;

- г) обнаружены слабые, но растущие с E_{\bullet} корреляции между множественностями релятивистских частиц, образованных в передней и задней полусферах hA соударения. При высоких энергиях величина этих корреляций в соударениях с ядрами больше, чем в hN взаимодействиях;
 - д) так же как для s -частиц, двухчастичная корреляционная функция R_2 для g -частиц слабо зависит от массы ядра-мишени. Показано, что основной вклад в величину R_2 для g -частиц дают псевдокорреляционные факторы;
 - е) в индивидуальных актах hA соударений наблюдаются статистически обеспеченные азимутальные корреляции между g частицами, величина которых существенно меньше, чем в моделях статистического типа;
- ж) релятивистские и сильноионизующие частицы из hA соударений высоких энергий коррелированы – наблюдается противо – испускание S – и g -частиц в азимутальной плоскости. Величина этих корреляций уменьшается с энергией соударения, слабо зависит от типа снаряда (.Р или ¶) и полярных углов вылета релятивистских частиц.
- 3. Проведено детальное сопоставление полученных экспериментальных данных с предсказаниями моделей многократного рассеяния на ядрах. Продемонстрирована высокая чувствительность данных о характеристиках продуктов фрагментации ядра-мишени и корреляциях к основным допущениям таких моделей.

Показано, что аддитивная кварковая модель, развитая Н.Н. Николаевым и Б.Б.Левченко, переоценивает роль внутриядерных каскадов в hA соударениях.

Основные результаты настоящей работы докладывались на Международном совещании "Взаимодействия ядер и ядерные возбужде-

ния" (Дубна, 1982 г.), Всесоюзных проблемных семинарах "Взаимодействия частиц и ядер высоких энергий с ядрами"(Ташкент, 1978, 1981 гг.), научных сессиях ОЯФ АН СССР (Москва, 1980 – 1982 г.г. Республиканской конференции молодых ученых (Таш – кент, 1981 г.) и опубликованы в научных статьях[115,139-146].

В заключение автор пользуется случаем выразить глубокую признательность моим научным руководителям академику АН УзССР С.Л.Азимову и доктору физ.-мат. наук К.Г.Гуламову. Диссертант сердечно благодарен сотрудникам ЛВЭ ФТИ АН УзССР Скрипник Н.С. за большую помощь во время выполнения экспериментальной части работы, а также Петрову В.И. и Навотному В.Ш. за полезные советы, высказанные при обсуждении полученных результатов. Мне приятно отметить немалый труд Мамаджанова А., который в равной со мной мере разделил работу по оформлению диссертации. Автор благодарит также всех лаборантов ЛВЭ ФТИ АН УзССР, принимавших участие на разных этапах выполнения этого эксперимента.

8957. 1979. py465

ЛИТЕРАТУРА

- I. K.Gottfried, Proc. of the Y Intern.Conf. on High Energy Phys. and Nucl. Structure, Upsala, Sweden, 1973, Editor G.Tibell, Noth-Holland Publ. Co., AMSTERDAM and NEW YORK, 1974, p.79.
- 2. С.Ф.Пауэлл, П.Фаулер, Д.Перкинс, Исследование элементарных частиц фотографическим методом, Издательство иностранной литературы, Москва, 1962.
- 3. W.Busza, Proc. of the VII Intern. Coll. on Multipart.Production, "Review of Experimental Date on Hadron-Nucleus Collisions at High Energies", Tutzing 21.6 25.6, 1976,545
- 4. S.A.Azimov, K.G.Gulamov, U.G.Gulamov, L.P.Chernova, G.M. Chernov, V.Sh. Navotny, V.I.Petrov, N.S.Scripnik, T.P.Trofimova, "Multiparticle production on nuclei at very high energies", IAEA-SMR-21, ed.G.Bellini et al., ICTP, Trieste, 1977, p. 83 131.
- 5. К.Г.Гуламов, У.Г.Гулямов, Г.М.Чернов, "Экспериментальные данные по множественному рождению на ядрах", ЭЧАЯ, 1978, т.9, 554 602.
- 6. Ю.П. Никитин, И.Л. Розенталь, Ядерная физика высоких энергий, Москва, Атомиздат, 1980.
- 7. B.Andersson, Proc. of the YII Intern.Coll. on Multipart.
 Production, "Phenomenological Models in Hadron-Nucleus
 Collisions", Tutzing 21.6-25.6, 1976, p.109.
- 8. S.A.Azimov, K.G.Gulamov, G.M.Chernov, U.G.Gulyamov, Proc. of the First Workshop on ultrarelativistic nuclear collisions, eds. L.Schroeder and M.Gyulassy, Berkeley, LBL 8957, 1979, p.465.
- 9. Ю.М. Шабельский, "Процессы множественного рождения в ад-

- рон-ядерных соударениях при высоких энергиях", ЭЧАЯ, 1981, т.12, вып. 5, 1070 III5.
- 10. Н.Н.Николаев, "Взаимодействия адронов, фотонов и лептонов высокой энергии с ядрами", ЭЧАЯ, 1981, т.12, №1,162-216.
- Н.Н.Николаев, "Кварки во взаимодействиях лептонов, фотонов и адронов высокой энергии с ядрами", УФН, 1981, т. 134, вып. 3, стр. 370 430.
- I2. H.Winzeler, "Proton-nucleus collisions in the multi-GeV region", Nucl. Phys., 1965, v.69, 661-694.
- I3. K.Garbowska, T.Saniewska, E.Skrzypczak, P.Zielinski, "The interaction of 24 GeV/c protons with heavy nuclei of nuclear emulsion exposed in a strong magnetic field", Nucl. Phys., 1964, v. 60, 654 665.
- I4. L.Hoffman, N.K.Rao, M.A.Shaukat, E.Villar, P.Zielinski, E. Cieslak, P.Ciok, T.Saniewska, E.Skrzypczak, Nucl. Phys., 1965, v.66, 657 668.
- I5. D.Gil, J.L.Gomez, P.Tarrega, E.Villar, "Interactions of 13.8 GeV/c protons with heavy nuclei in emulsion exposed in strong mugnetic field", Nucl. Phys., 1966, v.82,662-672.
- I6. W.Yeager et al., "Investigations of The Neand The interactions at 10.5 GeV/c", Phys. Rev., 1977, D16, 1294 1317.
- 17. T.Burnett et al., "Production of hadrons in The interactions", prepr. VTL-PUB-66(1980), Seattle, 1980.
- I8. S.A.Azimov, L.P.Chernova, G.M.Chernov, K.G.Gulamov, L.N.Svechnikova, T.P.Trofimova, "Nuclear interactions of 21 GeV/c protons and 50 GeV/c negative pions in emulsions in a strong magnetic field", Z.Phys., 1981, A300, 47 - 62.
- 19. Г. Бом, Р. Беттхер, И. Гальм и др., Сотрудничество РИСК, Берлин-Будапешт-Варшава-Дубна-Прага-София-Тбилиси, "Множественность заряженных частиц, рожденных в соударениях

- Л- и К-мезонов с ядрами в стриммерной камере при 40 ГэВ/с", ЯФ, 1982, т.35, вып.3, 700 705.
- 20. В.Г.Гришин, Т.Канарек, Л.Силич, "Оценка среднего числа релятивистских протонов, образованных в \mathfrak{T}^{12} С и многонук-лонных взаимодействиях при P=40 ГэВ/с", $\mathfrak{F}\mathfrak{D}$, 1982, т. 36, вып. 2(8), 426 430.
- 2I. S.A.Azimov, Sh.V.Inogamov, E.A.Kosanowski, S.L.Lutpullaev, K.Olimov, K.T.Turdaliev, T.M.Usmanov, A.A.Yuldashev, B.S. Yuldashev, U.Camerini, A.R.Erwin et al., "Multiplicity of secondary particles on inelastic proton-neon interaction at 300 GeV/c", Phys.Rev., 1981, D23,11, 2512 2521.
- 22. A.R.Khan, M.Irfan, M.Zafar, S.Ahmad, I.Ahmad, Z.Ahmad, M.Shafi, "Some characteristics of high energy proton nucleus collisions", Can.J.Phys., 1978, 56, 226 234.
- 23. J.Babecki, G.Nowak, "On the multiplicity of secondary particles in the interactions of high-energy protos and pions with nuclei", Acta Phys.Pol.,1979,B10,8,705-713.
- 24. М.М.Атанелишвили, О.Л.Бердзенишвили, Ю.Г.Вербецкий и др. "Зависимость множественности вторичных частиц от атомного веса ядра мишени и сечение неупругих взаимодействий", Письма в ЖЭТФ, 1974, т.19, вып.6, 405 409.
- 25. A.Jurak, A. Linscheid, "Some characteristics of compound shower and grey tracks distributions produced in proton emulsion interactions", Report 933/PH, Krakow, 1976.
- 26. P.R. Viswanath, "Multiparticle production in the interactions of charged cosmic ray hadrons with nuclear targets,"

 UM HE 74 35, Ann Arbor, 1974.
- 27. I.Otterlund, E.Stenlund, B.Andersson et al., "Nuclear interactions of 400 GeV protons in emulsion", Nucl.Phys., 1978, B142, 445 462.

- 28. W.Busza, J. Elias, D. Jacobs et al., "Charged-particle multiplicity in T-nucleus interactions at 100 and 175 GeV/c", Phys. Rev. Lett., 1975, v. 34, 13, 836-839.
- 29. J.Whitmore, "Multiparticle production in Fermilab bubble chambers", Phys.Reports, 1976, 270, 5, 187 273.
- 30. В.Г.Гришин, "Инклюзивные процессы в адронных взаимодействиях при высоких энергиях", УФН, 1979, т. 127, вып. 1,51-98.
- 3I. A.Dinnocenzo, G.Ingrosso, R.Rotelli, "The D/<n> for hadron-nucleus interactions and nuclear models", Lett. Nuovo Cim., 1981, 31, 555 564.
- 32. J.Babecki, Z.Czachowska, B.Furmanska et al., "Multiplicity distributions an proton-nucleus collisions at 67 and 200 GeV", Phys. Lett., 1973, 47B, 3, 268 270.
- 33. J.Hebert, C.J.D.Hebert, H.Areti et al., Barcelona Batavia Belgrad Bucharest Lund Lyons Montreal Nancy Ottawa Paris Rome Strasbourg Valencia
 Collaboration, "Nuclear interactions of 200 GeV protons
 in emulsion", Phys.Lett., 1974, 48B, 5, 467 470.
- 34. J.Hebert, C.J.D.Hebert, H.Areti et al., "Nuclear interactions of 300 GeV protons in emulsion," Phys. Rev. 1977, D15, 2 1867-1873.
- 35. А.В.Арефьев, Письма в ЖЭТФ, 1977, 26, 414.
- 36. B.S. Yuldashev, T.H. Burnett, H.J. Lubatti et al., "Multiplicity of charged particles in neon interactions at 25 and 50 GeV/c", Acta Phys. Pol., 1978, B9, 6, 513 524.
- 37. M.Lee, J.Lord, R.Wilkes, "Interactions of 200-GeV pions in nuclei", Phys.Rev., 1979, D19, 1, 55 64.
- 38. Z.Koba, H.B.Nielsen, P.Olesen, "Scaling of multiplicity distributions in high energy hadron collisions", Nucl. Phys., 1972, B40, 317 334.
- 39. P.Slattary, "Evidence for the onset of semi-inclusive

- scaling in proton-proton collisions in the 50-300 GeV/c momentum range", Phys.Rev.Lett., 1972, 29, 24, 1624-1630.
- 40. P.Slattary, "Evidence for the systematic behavior of charged prong multiplicity distributions in high-energy proton-proton collisions," Phys.Rev., 1973, D7, 2073-2079.
- 4I. J.Chincheza, J.Cohen, A.Marin et al., "Proton-tungsten reactions at 400 GeV", Nucl. Phys., 1979, B158, 280-294.
- 42. С.А.Азимов, К.Г.Гуламов, А.И.Бондаренко и др., "Множественность релятивистских заряженных частиц в адрон- ядерных взаимодействиях большой энергии", ЯФ, 1979, 30, 1033-1040.
- 43. B. Andersson, G. Nilsson, I. Otterlund, "The energy independence of proton-emulsion collisions", Nucl. Phys., 1979, B 153, 493 504.
- 44. J.Babeski, Z.Czachowska, B.Furmanska et al., "Angular distributions in proton-nucleus collisions at 67 and 200 GeV", Acta Phys. Pol., 1974, B5, 315 320.
- 45. B. Furmanska, R. Holynski, S. Krzywdzinski, W. Wolter, "On the possibility of universal description of angular distribution in interactions of hadrons with nuclei", Acta Phys. Pol., 1977, B8, 11, 973 983.
- 46. Z.V.Anzon,...,Kh.D.Kabulniyazov et al.,AGMT-collaboration,"A study of inelastic pion-nucleus interactions at 200 GeV/c in an emulsion", Nucl. Phys., 1977, B129, 205.
- 47. E.G.Boos,...,Kh.D.Kabulniyazov et al.,AGMT-collaboration,
 "Investigation of inelastic interactions of 400 GeV protons with emulsion nuclei", Nucl. Phys., 1978, B143, 232-262.
- 48. N.N.Nikolaev, A.Ya.Ostapchuck, V.R.Zoller, "Inelastic particle-nucleus interactions at high energies", Ref. TH2541--CERN, September, 1978.
- 49. Н.Н.Николаев, "Взаимодействия частиц высоких энергий с

- ядрами", Элементарные частицы, Седьмая школа ИТЭФ, вып. 2, Москва 1980, Атомиздат, стр. 5 37.
- 50. C.Bromberg, G.Fox, R.Gomez et al., "Structure of events in 200 GeV interactions on hydrogen and aluminum targets in both soft and hard collisions; Nucl. Phys., 1980, B171, 38-58.
- 5I. P.L.Jain, G.Das, "Correlations in multiparticle production;" Phys.Rev., 1981, 11, 2506 2511.
- 52. С.А.Азимов, А.И.Бондаренко, К.Г.Гуламов и др., "Исследование корреляций при множественном рождении частиц", Сборник "Множественные процессы при высоких энергиях", Ташкент, ФАН, 1976, 120 164.
- 53. К.Г.Гуламов, Докторская диссертация, Ташкент, 1980.
- 54. С.А.Азимов, К.Г.Гуламов, В.И.Петров, Н.С.Скрипник, Т.П. Трофимова, Л.П.Чернова, Г.М.Чернов, "О длине корреляций между рожденными частицами при множественном рождении", Письма в ЖЭТФ, 1976, т.24, вып.5, 316 319.
- 55. С.А.Азимов, А.И.Бондаренко, К.Г.Гуламов, В.И.Петров, Г.М.Чернов, "Об одном методе исследования многочастичных корреляций", ДАН УзССР, 1977, №2, 26 29.
- 56. G.Baroni, S.Di Liberto, F. Meddi et al., "Two particle correlations in proton-nucleus interactions at 300 GeV",
 Nucl. Phys., 1976, B102, 213.
- 57. А.И. Бондаренко, К.Г. Гуламов, В.И. Петров, Г.М. Чернов, "Ассоциированные множественности вторичных частиц в статистической модели множественного рождения", ДАН УзССР, 1978, №6, 39 41.
- 58. С.А.Азимов, К.Г.Гуламов, В.И.Петров, Г.М.Чернов, "Об энергетической зависимости и структуре азимутальных корреляций в адрон-нуклонных взаимодействиях при высоких энергиях",Препринт ФТИ АН УзССР 2-80-ФВЭ, Ташкент.

- 59. С.А.Азимов, К.Г.Гуламов, В.Ш.Навотный, В.И.Петров, Л.П.Чернова, Г.М.Чернов, "Азимутальные корреляции между ливневыми частицами из протон-ядерных взаимодействий в области энергий 20 400 ГэВ", Препринт ФТИ АН УзССР, 5-8І-ФВЭ, Ташкент, 1981.
- 60. В.И.Петров, Кандинатская диссертация, Ташкент, 1980.
- 6I. S.A.Azimov, G.M.Chernov, K.G.Gulamov, V.Sh.Navotny, V.I.Petrov, "Inclusive two-and-three -particle rapidity correlation in high-energy hadron-nucleus collisions", Nucl. Phys., 1981, B178, 457 - 479.
- 62. T.Saniewska, E.Skrzypczak, P.Zielinski, "Emission of fast deuterons in interactions of 24 GeV/c with heavy nuclei in emulsion", Nucl. Phys., 1965, 70, 567 573.
- 63. R.K.Shivpuri, B.Bhowmik, "Deuteron production in inter actions of 22.8 GeV/c protons with Ag and Br nuclei," Phys.Rev., 1969, v. 186, 4, 1200 1204.
- 64. A.A.Kamal, G.K.Rao, L.S.Rao, Y.V.Rao, B.K.Rukmini, "Production of deuterons and tritons in high-energy proton and pion interactions with emulsion nuclei", Nuovo Cim., 1966, 43A, 1, 91 99.
- 65. M.M. Aggarwal, I.S. Mittra, J.B. Singh, P.M. Sood, "Characteristics of slow protons and deutrons in proton-nucleus interactions at 400 GeV/c", Jornal of Physical Society of Japan, 1980, v. 48, 361-366.
- 66. J.Babecki, G.Nowak, "On the differences between some characteristics of slow particles productd in interactions of pions and protons with nuclei at high energies", Report, 1050/PH, Krakow, 1979.
- 67. Г.А.Лексин, Труды У Международного Семинара по проблемам физики высоких энергий, "Множественное рождение частиц и

- предельная фрагментация ядер", ОИЯИ, Дубна, 1978.
- 68. J.Babecki, B.Furmanska, "On low-energy protons generated in interactions at primary energy 60 GeV and 1000 GeV", Report INP 754/PL, Krakow, 1971.
- 69. J.Babecki, G.Nowak, "Characteristics of slow particles in hadron-nucleus interactions and their relation to the models of high-energy interactions", Acta Phys.Pol., 1978, B9, 5, 401 417.
- 70. J.R.Florian, M.Y.Lee, J.J.Lord et al., "Interactions of 300-GeV protons with tungsten and chromium", Phys. Rev., 1976, D13, 3, 558 565.
- 7I. E.M.Friedlander, A.Friedman, "Frequency distribution of heavy prongs from high-energy stars in nuclear emulsions", Nuov. Cim., 1967, 52A, 3, 912 917.
- 72. К.Г.Гуламов, В.Ш.Навотный, Н.С.Скрипник, Л.П.Чернова,Г.М. Чернов, "Множественное рождение частиц в протон-ядерных со-ударениях при высоких энергиях", Сб. "Множественные процессы при высоких энергиях", Ташкент, ФАН, 78-II9; I976.
- 73. Э.В.Анзон, Э.Г.Боос, Э.К.Каныгина и др., АГМТ сотруд ничество, "Взаимодействия протонов с энергией 200 ГэВ/с с ядрами эмульсии. Множественности заряженных частиц", ЯФ, 1975, т.22, вып.4, 736-749.
- 74. B.P.Bannik, A.El-Naghy, R.Ibatov et al., "Central collitions of fast particles with heavy nuclei", Z.Physik, 1978, A284, 283 286.
- 75. T.Jacobsen, F.O.Breivik, S.O.Sorensen, "Some remarks on the desinegration of highly excited Ag and Br nuclei observed in photographic emulsion in view of the quark model", Acta Phys.Pol., B11, 5, 379-386.
- 76. В.С.Барашенков, В.Д.Тонеев, "Взаимодействия высокоэнерге-

- тических частиц и ядер с ядрами", Москва, Атомиздат, 1972.
- 77. Tsai-Chü, C.O.Kim, J.Lory et al., "Emulsion stars of 200, 300 and 400 GeV protons", Lett. al Nuovo Cimento, 1977, v.20, 8, 257 262.
- 78. I.K.Daftari, D.K.Bhattacharjee, S.C.Naha, D.C.Ghosh, T.
 Roy, "On the systematics of the number of heavy prongs
 in proton-nucleus interactions in emulsion", Fortshritte
 der Physik, 1978, 26, 501 508.
- 79. M.A.Faessler, U.Lynen, J.Niewisch et al., "Inelastic hadron-nucleus interactions at 20 and 37 GeV/c", Nucl. Phys., 1979, B157, 1 22.
- 80. В.И.Богатин, Е.Л.Григорьев, О.В.Ложкин, А.А.Носов, Ю.П. Яковлев, "Об угловых корреляциях медленных заряженных частиц в расщеплениях ядер протонами высокой энергии", Препринт ОИЯИ, I-8830, Дубна, 1975.
- 8I. S.T.Butler, C.A.Pearson, "Deuterons from high-energy proton bombardment of matter", Phys. Rev. Lett., 1961, v.7, 2, 69 71.
- 82 В.Г.Богданов, В.Л.Плющев, З.И.Соловьева, "Об угловых корреляциях медленных частиц в ядерных расщеплениях при высоких энергиях", Препринт РИ-IOI (Радиевый ин-т им. В.Г. Хлопина), Ленинград, 1979.
- 83. Yu.A.Budagov, A.Bayaramov, V.P.Dzhelepov et al., "Investigation of P, T charged particle correlations in TC interactions at 5 GeV/c with emission of a particle in the barkward direction", Prepr.JINR, E1-9878, Dubna, 1976.
- 84. С.А.Азимов, М.С.Расулкулов, В.М.Чудаков, "Азимутальное угловое распределение ливневых частиц и серых следов, образованных частицами космического излучения в фотоэмульсии", ЯФ, 1966, т.3, вып.1, 112-115.

- 85. Е.Басова, Кандидатская диссертация, Ташкент, 1979.
- 86. Ш. Насыров, Кандидатская диссертация, Ташкент, 1979.
- 87. Ф.Г.Лепехин, Б.Б.Симонов, "Корреляции вторичных частиц и эффекты кластеризации в протон- и пион-ядерных взаимодей- ствиях при импульсе 200 ГэВ/с", ЯФ, 1978, т. 27, вып. 1, 175-183.
- 88. Н.А.Марутян, К.А.Матевосян, В.М.Кришян, Ф.А.Аветян, Л.Г. Саркисова, "Выделение струй методом относительной плот ности", ЯФ, 1979, т.29, вып.6, 1566—1570.
- 89. И.Л.Розенталь, "Гидродинамическая теория множественных процессов", УФН, 1975, т.<u>116</u>, вып. 2, 271-302.
- 90. B.B.Levchenko, N.N.Nikolaev, "Quark-nucleus interactions.

 The exclusive Monte-Karlo description of multiparticle production on nuclei in the quark model", Landau Institute

 Preprint 10, Chernogolovka, 1982.
- 91. Ю.П.Никитин, И.Л.Розенталь, Р.М.Сергеев, "Взаимодействия частиц высоких энергий с ядрами", УФН, 1977, т. 121, 3-54.
- 92. N.Masuda, R.M.Weiner, "Study of proton-nucleus collision at high energies based on the hydrodynamical model", Phys. Rev., 1978, D18, 5, 1515 1541.
- 93. О.В.Жиров, Э.В.Шуряк, "Простая модель коллективных эффектов в адрон-ядерных соударениях высоких энергий", ЯФ, 1978, т. 28, вып. 2(8), 485-494.
- 94. S.Fredriksson, "On large transverse momentum production in high-energy proton-nucleus collisions", Nucl. Phys., 1976, B111, 167 177.
- 95. F.Takagi, "A model for mean multiplicity in hadron-nuc-leus collitions", Lett. al Nuovo Cimento, 1975, v.14, 15, 559 564.
- 96. A.Capella, A.Krzywicki, "Inclusive production off nuclei", Phys.Lett., 1977, 67B, 1, 84 - 88.

- 97. V.V.Anisovich, Yu.M.Shabelsky, V.M.Shekhter, "Yields of projectile fragments in hadron-nucleus interactions and the quark structure of hadrons", Nucl. Phys., 1978, B133, 477 489.
- 98. Б.П.Банник, М.И.Подгорецкий, "Метод ускоренного просмотра фотоэмульсии по следу", ПТЭ, 1960, №3, 36.
- 99. С.А.Азимов, А.И.Бондаренко, К.Г.Гуламов, Р.В.Рузиматов, Н.С.Скрипник, Г.М.Чернов, "Множественность различных типов вторичных частиц из неупругих протон-ядерных соударений при высоких энергиях", ЯФ, 1977, т. 26, вып. 2, 346-354.
- 100. С.А.Азимов, А.И.Бондаренко, К.Г.Гуламов, Н.С.Скрипник, Г.М.Чернов, "Угловые распределения релятивистских частиц в неупругих протон-ядерных взаимодействиях при высоких энергиях", ЯФ, 1978, т.27, вып.4, 1011-1019.
- 101. Э.Г. Боос,..., Х.Д. Кабулниязов и др., "Взаимодействия 400 ГэВ/с протонов с ядрами фотоэмульсии. Множественность заряженных частиц", АГМТ сотрудничество, ЯФ, 1978, т. 28, вып. 3(9), 697 703.
- 102. С.А.Азимов, А.И.Бондаренко, К.Г.Гуламов и др., "Общие характеристики неупругих РN-соударений при энергии 50 ГэВ в фотоэмульсии", Изв. АН УзССР, сер.физ.-мат.наук, 1973, №4, 69 74.
- 103. Т.Т.Рискиев, Кандидатская диссертация, Ташкент, 1975.
- IO4. Y.Afek, G.Berlad, A.Dar, G.Eilam, "Multiparticle production on nuclei at very high energies", IAEA SMR -21, ed. G.Bellini, Trieste, 1977, p.591.
- 105. А.Р.Б.Элтон, Размеры ядер, изд-во ИЛ, Москва, 1962.
- IO6. H. Uberall, Electron scattaring from complex nuclei, part A, N.Y., 1971.
- 107. A.S.Carrol, I.H.Chiang, T.F.Kycia et al., "Absorption

- cross sections of Π^{\pm} ; K^{\pm} , P and \bar{P} on nuclei between 60 and 280 GeV/c", Fermilab-Pub-78/80, Exp., Batavia, 1978.
- IO8. E.Albini, P.Capiluppi, G.Giacomelli, A.M.Rossi, "Mean charged hadron multiplicities in high-energy collisions", Nuovo Cim., 1976, 32A, 1, 101-124.
- IO9. A.J.Buras, J.Dias de Deus, R.Móller, "Multiplicity scaling at low energies, a generalized Wroblewski-formula and the leading particle effect", Phys. Lett., 1973, v.47 B, 251 - 254.
- IIO. С.А.Азимов, В.Ш.Навотный, "Аппроксимация быстротных распределений в адрон-протонных взаимодействиях при высоких энергиях", ДАН УзССР, 1983, МІ, стр. 23 25.
- III. С.А.Азимов, К.Г.Гуламов, В.Ш.Навотный, В.И.Петров, Л.П. Чернова, Г.М.Чернов, "Азимутальные корреляции между ливневыми частицами из протон-ядерных взаимодействий в области энергий 20-400 ГэВ", ЯФ, 1981, т.34, вып. 5(II), 1290 1301.
- II2. Н.Ангелов, А.И.Аношин, В.Г.Гришин, В.Б.Любимов, М.И. Со-ловьев, М.К.Сулейманов, Д.Тувдендорж, "Изучение реакции Т-+ ¹²C--Р+... при Р_Т = 40 ГэВ/с", ЯФ, 1979, т. <u>30</u>, вып. 2(8), 400 406.
- II3. В.С.Асейкин, В.П.Бобова, Н.Х.Георгиев и др., "Поглощение потока энергии в стволах широких атмосферных ливней", Изв. АН СССР, сер.физ., 1974, т.38, №5, 998 1002.
- II4. К.Г.Гуламов, У.Г.Гулямов, Г.М.Чернов, Труды У Международного семинара по проблемам физики высоких энергий: "Множественное рождение частиц и предельная фрагментация ядер", ОИЯИ, ДІ, 2-I2O36, Дубна, I978, стр.4I5-429.
- II5. С.А. Азимов, К.Г. Гуламов, Х.Д. Кабулниязов, Л.П. Чернова,
 "Общие характеристики протон- и пион-ядерных взаимодейст-

- вий при 20-400 ГэВ с вылетом адронов в заднюю полусферу", ЯФ, 1982, т.36, вып. 4(10), 906.
- II6. J.Benecke, T.Chou, C. Yang, "The hypothesis of limitings fragmentation at high energy", Phys. Rev., 1969, 188, 2159-2169.
- II7. L.L.Frankfurt, M.I.Strikman, "How to treat short range nucleon correlations in high energy lepton or hadron scattaring off deuteron (nuclei)", Phys. Lett., 1977, 69 B, 1, 93 96.
- II8. L.L.Frankfurt, M.I.Strikman, "On the role of short range nucleus structure in fast backward particle production in high-energy processes", Phys.Lett., 1979, 83B, 3, 407-412.
- II9. K.G.Gulamov, S.A.Azimov, A.I.Bondarenko et al., "Two particle rapidity correlations among produced particles in proton-nucleus interactions at high energies", Z.Phys., 1977, A280, 107-109.
- I20. T.Kafka, R.Engelmann, M.Pratap et al., "Charge and multiplicity fluctuations in 205 - GeV/c pp interactions", Phys.Rev.Lett., 1975, v.34, 11, 687 - 690.
- IZI. S.Uhlig, I. Derado, R. Meinke, H. Preissner, "Observation of charged particle correlations between the forward and backward hemispheres in pp collisions at ISR energies", Nucl. Phys., 1978, B132, 15 - 28.
- I22. A. Capella, A.Krzywicki, "Unitary corrections to short range order: long range rapidity correlations", Phys. Rev., 1978, D18, 4120 4133.
- I23. K. Fialkowski, A. Kotanski, "Forward backward correlations in pp interactions in a dual model", Phys. Lett., 1982, 115B, 425.
- I24. I.M. Dremin, A.M. Orlov, E.I. Volkov, "Review of the results of the multiperipheral cluster scheme", Prepr. 247, Lebe-

- dev Physical institute, Moscow, 1978.
- I25. A.Capella, "Hadronic interactions at low P.", Preprint LPTHE' 82/29, Orsay, 1982.
- 126. И.Г. Богацкая, С.М. Елисеев, Г.М. Зиновьев, "Кластерная модель адронных взаимодействий и рождение нуклонов средних энергий на ядрах", ЯФ, 1977, т.26, вып.5, 1010
- I27. K.Kinoshita, A.Minaka, H. Sumiyoshi, "Multi-chain model for high energy hadron nucleus collisions", Progr. Theor. Phys., 1979, 61, 165 175.
- I28. M.K.Hegab, J.Hüfner,
 Nucl.Phys., 1982, A384, 353.
- I29. N.Suzuki, "On the production process of gray particles in high energy hadron-nucleus collisions", ICR - Report 106 - 82 - 9, Tokyo, 1982.
- 130. В.Г.Гришин, Л.Йеник, Т.Канарек, "Азимутальные корреляции ПП-пар в пион-ядерных и пион-нуклонных взаимодействиях при 40 ГэВ/с", ЯФ, 1981, т.33, вып.2, 371-377.
- 131. В.Г.Гришин, Л.Йеник, Т.Канарек, "Азимутальные корредяции тождественных пионов в пион-ядерных и в пион-нуклонных взаимодействиях при P = 40 ГэВ/с", 9Φ , 98, 98, 98, 98. 98.
- ІЗ2. С.А.Азимов, К.Г.Гуламов, В.Ш.Навотный, В.И.Петров, Л.П. Чернова, Г.М.Чернов, "Азимутальные корреляции между ливневыми частицами из протон-ядерных взаимодействий в области энергий 20-400 ГэВ", ЯФ, І98І, т.34, вып.5 (ІІ), 1290 ІЗОІ.
- 133. Е.С.Васова, Л.Е.Бенгус, Р.А.Бондаренко, У.Г.Гулямов, Р.М.Ибатов, М.М.Муминов, Ш.З.Насыров, Г.М.Чернов, "Азимутальные корреляции между вторичными частицами из протон-ядерных соударений при З.І и 4.5 ГэВ/с и сравнение

- с ядро-ядерными взаимодействиями", ЯФ, 1983, 37, 123-131.
- 134. Б.Б.Левченко, Н.Н.Николаев, "Множественные характеристики взаимодействия кварков с тяжелыми ядрами", ЯФ, 1983, т. 37, 1016; Препринт ИПФ АН УзССР, Р-7-96, Ташкент, 1982.
- 135. Б.Б.Левченко, Н.Н.Николаев, "Эксклюзивное описание множественного рождения на ядрах. Адрон-нуклонные взаимодействия", ЯФ, 1982, т.36, вып. 2(8), 453 − 464.
- I36. E.L.Berger, B.Y.Oh, G.A.Smith, "Two particle correlations in inclusive pp interactions between 13 and 28 GeV/c", Phys.Rev.Lett., 1972, v.29, 675 678.
- I37. E.M.Levin, M.G.Ryskin, N.N.Nikolaev, "Many particle correlations in multiple production on nuclei", Z.Phys., 1980, C5, 285 290.
- 138. С.А.Азимов, К.Г.Гуламов, Г.М.Чернов, В сб. "Множественное рождение частиц и предельная фрагментация ядер", Тр.У Международного семинара по проблемам физики высоких энергий, ОИЯИ-ДІ, 2-12036, Дубна, 1978, 415-429.
- 139. С.А.Азимов, А.И.Бондаренко, К.Г.Гуламов, Х.Д.Кабулниязов, Н.С.Скрипник, Г.М.Чернов, "Общие характеристики сильноионизующих частиц в адрон-ядерных взаимодействиях при высоких энергиях", Известия АН УзССР, сер. физ.-мат. наук, 1980, №5, 62.
- 140. Х.Д.Кабулниязов, "Угловые распределения сильноионизующих частиц в адрон-ядерных соударениях", Труды УІ Республиканской школы молодых физиков, Ташкент, ФАН, 1981, стр. 6.
- 141. Х.Д.Кабулниязов, "О длиннодействующих быстротных корреляциях при множественном образовании частиц", Труды УІ Республиканской школы молодых физиков, Ташкент, ФАН, 1981, стр. 7
- I42. S.A.Azimov, L.P.Chernova, K.G.Gulamov, Kh.D.Kabulniyazov, V.I.Petrov, N.S.Scripnik, "Forward and backward multipli-

- cities in high-energy proton-nucleus and proton-nucleon collisions", Z.Phys., 1981, C10, 1-7.
- I43. S.A.Azimov, L.P.Chernova, G.M.Chernov, K.G.Gulamov, Kh.D. Kabulniyazov, N.S.Scripnik, "Multiplicity correlations of medium energy protons in hadron-nucleus collisions", Z.Phys., 1981, A299, 367-368.
- 144. К.Г.Гуламов, Х.Д.Кабулниязов, Н.С.Лукичева, Л.Н.Свечникова, "Об угловых распределениях сильноионизующих частиц в адрон-ядерных взаимодействиях", ДАН УзССР, 1982, МІІ, 22-23.
- 145. К.Г.Гуламов, Х.Д.Кабулниязов, Б.Б.Левченко, В.Ш.Навотный, "Ассоциированные множественности в адрон-ядерных взаимодействиях", Препринт ФТИ АН УзССР, 15-83-ФВЭ, Ташкент, 1983.
- 146. С.А.Азимов, К.Г.Гуламов, Х.Д.Кабулниязов, Б.Б.Левченко, В.Ш.Навотный, Г.М.Чернов, "Угловые корреляции между заряженными частицами в адрон-ядерных взаимодействиях в интервале 20-400 ГэВ", Препринт ФТИ АН УзССР, 18-83-ФВЭ, Ташкент, 1983.